

Inhalte.

I Problemstellung

1834

II Ausgangsmaterial

A) Herkunft

B) Eigenschaften

1) Dampfdruck

2) Chem. Zusammensetzung und Analysenmethoden:

a) Absorption in Schwefelsäuren verschiedener Konzentrationen

b) fraktionierte Destillation

c) Litergewicht.

III Darstellung der Alkohole

A) Umsetzung mit Schwefelsäure, maßgebende Faktoren für Reaktionsgeschwindigkeit und Ausbeute:

1) Durch-Mischung: Rührerform und Rührgeschwindigkeit

2) Konzentration der Schwefelsäure und Reaktionstemperatur

a) Gemeinsame Absorption der Olefine

b) Vorabsorption von Isobutylen

3) Konzentration der Olefine

4) Verhältnis von Olefin zu Schwefelsäure  
(Kassenwirkungsgesetz).

5) Rührdauer

6) Versuchsheispiel

7) Kontrolle der Reaktion

a) Gasanalyse (Berechnung der prozentualen Abgasportion)

b) Dichte

c) Schwefelsäurebestimmung

8) Einfluß von Katalysatoren, Absorption in Schwefelsäure-Athermischungen.

c) Aufarbeitung des Reaktionsproduktes  
(Ermittlung der Ausbeute) Zusammensetzung und Aufarbeitungsmethoden.

1) Destillation aus saurer Lösung (Verseifung)

a) Einfluß der Säurekonzentration auf die Olefinabspaltung

b) Einfluß von Beheizungsart und Materialien auf die Olefinabspaltung bei der Verseifung

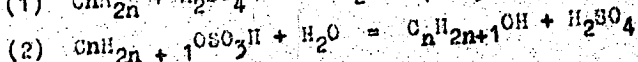
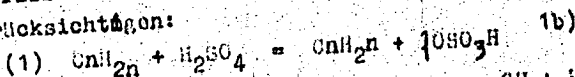
1835

- 2) Destillation aus alkalischer Lösung.  
(Verseifung).
- 3) Aufarbeitung des Rohalkohols
  - a) Schichtbildung bei Gegenwart von Polymerisat, Dreiecksdiagramme.
  - b) Abtrennung der Hauptmenge des Polymerisats durch Verdünnung mit Wasser
  - c) Ausalzen mit Kaliumcarbonat, Aus-salztechnik, Löslichkeit von Alkohol in Kaliumcarbonatlösungen.
  - d) Trennung der Alkohole, Berechnung der Ausbeute an Isopropylalkohol u. sek. Butylalkohol.
  - e) Entwässerung durch azeotrope Destillation mit Benzol
- 4) Analyse des Rohalkohols und seiner Aufarbeitungsprodukte
  - a) Wasserbestimmung durch:
    - a) Dichtebestimmung
    - b) Ausalzen mit Kaliumcarbonat
    - c) Ermittlung der Hydroxylzahl  
(Definition der Hydroxylzahl)
    - d) Titration
    - e) Magnesiumnitrid (nach Dietrich u. Conrad)
  - b) Benzinbestimmung aus:
    - a) Hydroxylzahl
    - b) Löslichkeit in Gegenwart von Wasser
    - c) Brechungsindex
    - d) Gewinnung und Analyse des Polymer-benzins, Bestimmung u. Entfernung des Schwefels.
    - e) Schwefel
  - c) Restsäure (Destillationsrückstand)
    - a) Schwefelsäurebilanz
    - b) Wiederverwendung

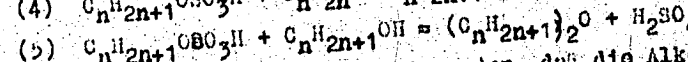
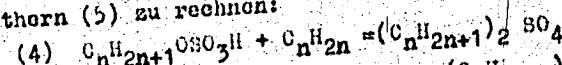
### I. Problemstellung:

Olefine können durch Wasseranlagerung in Alkohole übergeführt werden. Aus den thermodynamischen Daten<sup>21)</sup> für das Gleichgewicht  $C_{nH_2n} + H_2O = C_{nH_2n}OH + H_2SO_4$  geht hervor, daß die direkte Wasseranlagerung nur bei hohen Drücken (300-400 atm) und Temperaturen von 400-500° möglich ist. In Übereinstimmung damit ergaben Versuche von Marek und Plege<sup>24)</sup> zur Hydratation von Butylen als beste Alkoholausbeute 7,6 %.

Als technisch verwendbarer Weg hat sich die Darstellung der Alkohole über die Schwefelsäureester erwiesen. Olefine lagern sich an Schwefelsäure unter Bildung von Estern an, die dann anschließend versetzt werden können. Olefine können aber von Schwefelsäure auch polymerisiert werden<sup>27)</sup>. Man hat daher drei Reaktionsgleichgewichte zu berücksichtigen:



Unter gewissen Bedingungen ist noch mit der Bildung von Di-Estern<sup>4)</sup> und Athern<sup>5)</sup> zu rechnen:



Die Reaktion muß nun so durchgeführt werden, daß die Alkoholbildung (1) (2) gegenüber der Polymerisation (3) vorherrscht. Die Gleichgewichte (4) u. (5) stellen sich nur unter extremen Bedingungen ein, konnten also bei den Versuchen zur Verwirklichung der Alkoholdarstellung vernachlässigt werden.

### II. Ausgangsmaterial

#### A. Herkunft

Für die Ausarbeitung des Alkoholverfahrens war zunächst die genaue Kenntnis des Ausgangsmaterials von Wichtigkeit. Für die vorliegende Untersuchung wurde teils Gasol einer Fischer-Tropschanlage des Treibstoffwerkes Rheinpreußen benutzt das nur aus der Primärproduktion stammte, teils gelangte Gasol der Kuhrcchemie A.G. zur Verwendung, das teilweise aus der Primärproduktion, teilweise aus der Spaltanlage stammte und daher olefinreicher war.

Jane Philbrick born April

1837

LE811420

七

5

1838

### B1 Physikalische Eigenschaften des Gasols.

Das Gasol hatte gewöhnlich ein Litergewicht von 2,25. Die Dampfdruckkurve des Gasols ist in Abbildung 1a angegeben (Kurve 2). Die bei den Absorptionsversuchen gefundene Werte (Probe 1) zeigen starke Streuungen und liegen viel höher als es der in Abbildung 1a wiedergegebene Dampfdruckkurve 2 entsprach, da sich der Gesamt- druck im Autoklaven aus dem Sättigungsdruck des Gasols und dem Partialdruck des Inertgases zusammensetzt.

### B2 Chemische Zusammensetzung und Analysenmethoden.

Der Olefingehalt der Syntheseprodukte schwankte zwischen 30-40 %, bei Spätgaszusatz betrug er bis zu 50 %. Das Verhältnis von Propylen zu Butylen war abhängig von den Verhältnissen des Betriebes. Analysen ergaben zum Beispiel:

Tabelle I

#### Gasolanalysen

Nr.	CO <sub>2</sub>	C <sub>3</sub> H <sub>6</sub>	1-C <sub>4</sub> H <sub>8</sub>	n-C <sub>4</sub> H <sub>8</sub>	C <sub>2</sub> H <sub>6</sub>	C <sub>3</sub> H <sub>8</sub>	C <sub>4</sub> H <sub>10</sub>
1	2,3	14,9	2,8	14,8	1,0	46,9	17,3
2	3,8	13,2	1,7	16,4	0,9	40,7	23,4
3	2,0	17,6	2,3	17,5	0,9	39,4	20,2
4		12,1	2,6	18,6			

Röhresiedende Kohlenwasserstoffe als C<sub>4</sub> sind im Gasol nicht enthalten. Das Gasol ist ferner frei von Schwefelverbindungen.

Die analytische Trennung von Isobutylein und Butylen erfolgte nach der Methode von M.F.Matuszak<sup>13)</sup>: Bericht vom 26.11.38

Das Verhältnis von Propylen zu Butylen läßt sich aus der Gasdichte berechnen. Außerdem kann man es durch fraktionierte Destillation in einer vom Benzolverband angegebenen Kolonne bestimmen.

### III Darstellung der Alkohole

A Absorption in Schwefelsäure, maßgebende Faktoren für Reaktionsgeschwindigkeit und Ausbeute.

#### 1) Durchmischung

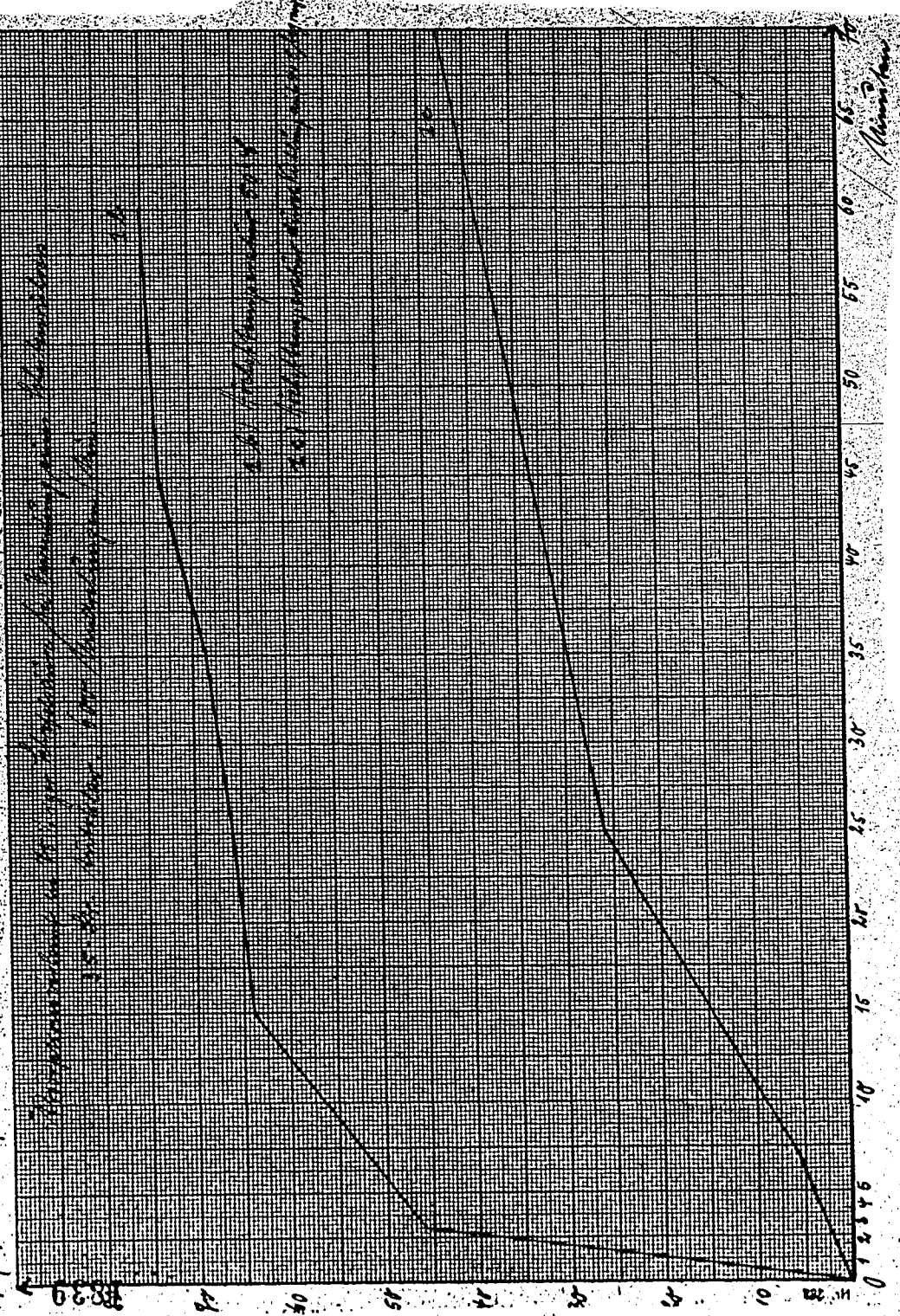
Da das System Olefin-Schwefelsäure aus 2 Phasen besteht, muß der chemischen Reaktion (1) ein rein physikalischer Vorgang vorangehen, der im Transport des Olefins zu den Schwefelsäuremolekülen besteht. Die Reaktionsgeschwindigkeit ist nun, wie bei allen Folgereaktionen, durch den langsamsten Vorgang bestimmt. Im vorliegenden Falle ist das der Transport des Olefins zur Schwefelsäure, das heißt die Reaktionsgeschwindigkeit ist von der Oberflächenentwicklung zwischen Olefinphase und Schwefelsäurephase, also von der Durchmischung<sup>12)</sup> abhängig.

4-hydroxyisophorolim

1839

900

13°C



Diese Tatsache wurde durch Rührversuche mit flüssigem Gasol und Schwefelsäure im Autoklaven festgestellt.

Das Gasol wurde flüssig angewandt, um durch Erhöhung der örtlichen Olefinkonzentration die Reaktionsgeschwindigkeit zu steigern. So nahmen zum Beispiel 100 g 75 %ige Schwefelsäure in 30 min. 3,2 g Olefin aus flüssigem Gasol auf, während die Aufnahme derselben Menge aus gasförmiger Phase in einer Schott'schen Fritten-Waschflasche 7,5 Std., also die 15 fache Zeit benötigte.

Die Rührversuche zeigten, daß durch Erhöhung der Rührgeschwindigkeit und durch fortschreitende konstruktive Verbesserung des Rührers (vgl. Abbildung 26) die Reaktionsgeschwindigkeit wesentlich erhöht werden konnte. Der zu den Versuchen benutzte Rührer war eine einfache Scheibe mit unregelmäßig vorteilten Löchern. Der Rührer rotierte um eine senkrechte Achse. Zur Verstärkung der Wirbelbildung in der Flüssigkeit war in die Wand des Autoklaven ein Blechstreifen als Spülensicherer angeleitet worden. Bei Verwendung von je 10 kg Gasol und 75 %iger Schwefelsäure war dieser 35 Liter fassende Autoklav zu ungefähr zwei Dritteln gefüllt. Abbildung 1b zeigt für Versuch 1 die Abhängigkeit der prozentualen Absorption  $A_t$  (vgl. Nr. III A 7a § 16a) von der Zeit. Bei einem Vergleich mit den nachfolgenden Versuchen ist allerdings zu berücksichtigen, daß für Versuch 1 Salzsäure benutzt wurde, die von einer vorangegangenen Absorption schon 6 Gew.% Olefin enthielt. In allen übrigen Fällen gelangte Frischsäure zur Verwendung.

Wesentlich bessere Mischwirkung als der Scheibenrührer zeigte eine Konstruktion der MAN, die in Abbildung 2 wiedergegeben ist.

An einer senkrechten Welle dreht sich die Schraube S. Auf der Welle sitzt ein mit drei Lochkränzen versehener Mantel. Die auf dem Mantel sitzenden Aufenschaufeln konnten so verstellt werden, daß sie die Flüssigkeit entweder in der gleichen Richtung oder im entgegengesetzten Sinne förderten. Die Förderung der großen Schraube war in allen Fällen von unten nach oben gerichtet. Das Leitblech L und der Spülensicherer W fehlten bei den ersten Versuchen. Bei den Versuchen mit feststehendem Mantel wurde der Abstand zwischen Mantel und Boden des Autoklaven verändert (enger und weiter Spalt).

Die in zahlreichen Versuchen durchprobierten Abänderungen an dem MAN-Rührer sind in Tabelle II zusammengestellt und die gewonnenen Ergebnisse in Abbildung 3 graphisch dargestellt. Die ausgezogenen Kurven beziehen sich auf eine Rührgeschwindigkeit von 970 Umdr/min., die gestrichelten Kurven auf eine Rührgeschwindigkeit von 680 Umdr. pro Minute.

Tabelle II

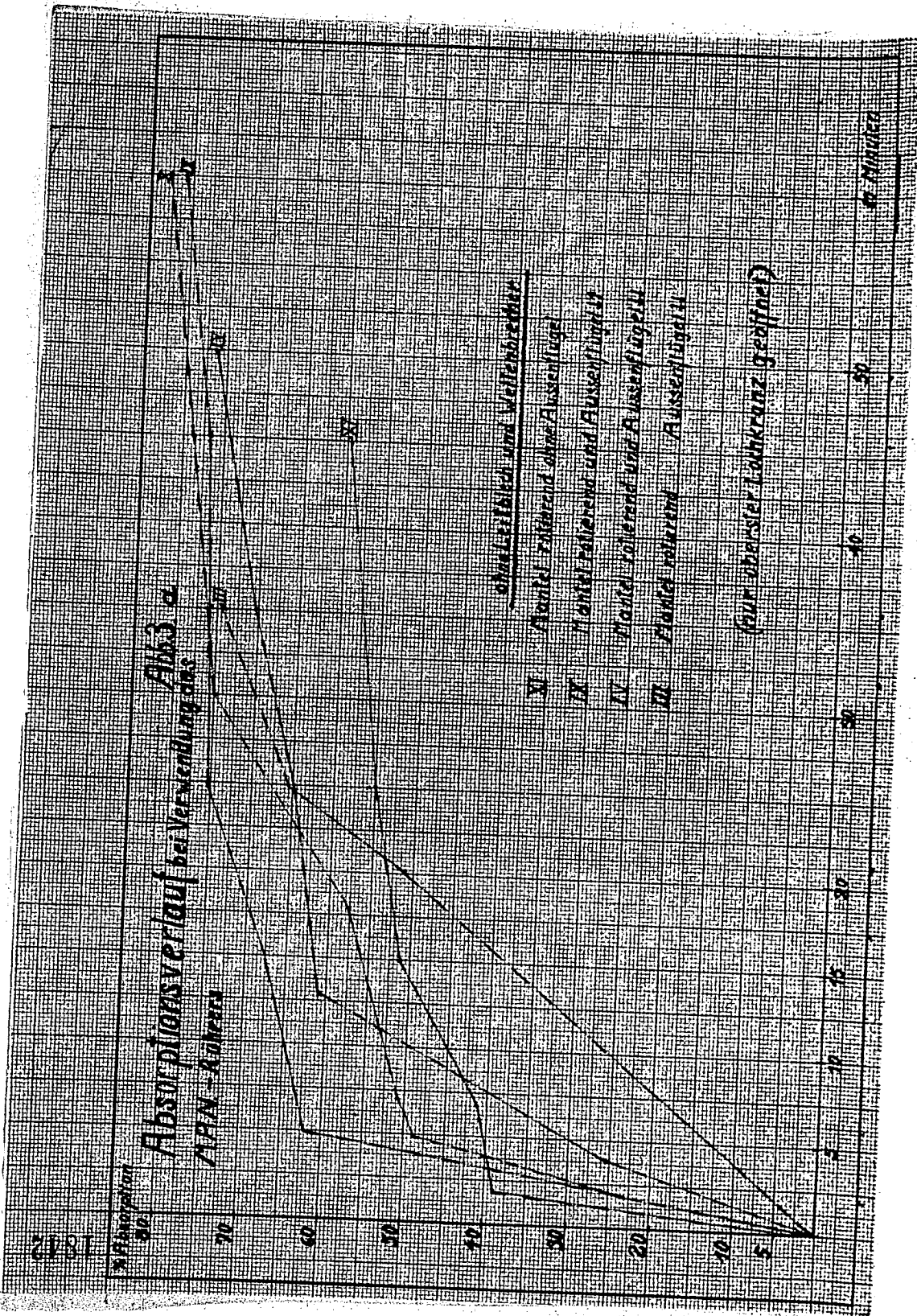
Versuche mit dem ZAR-Rührer.

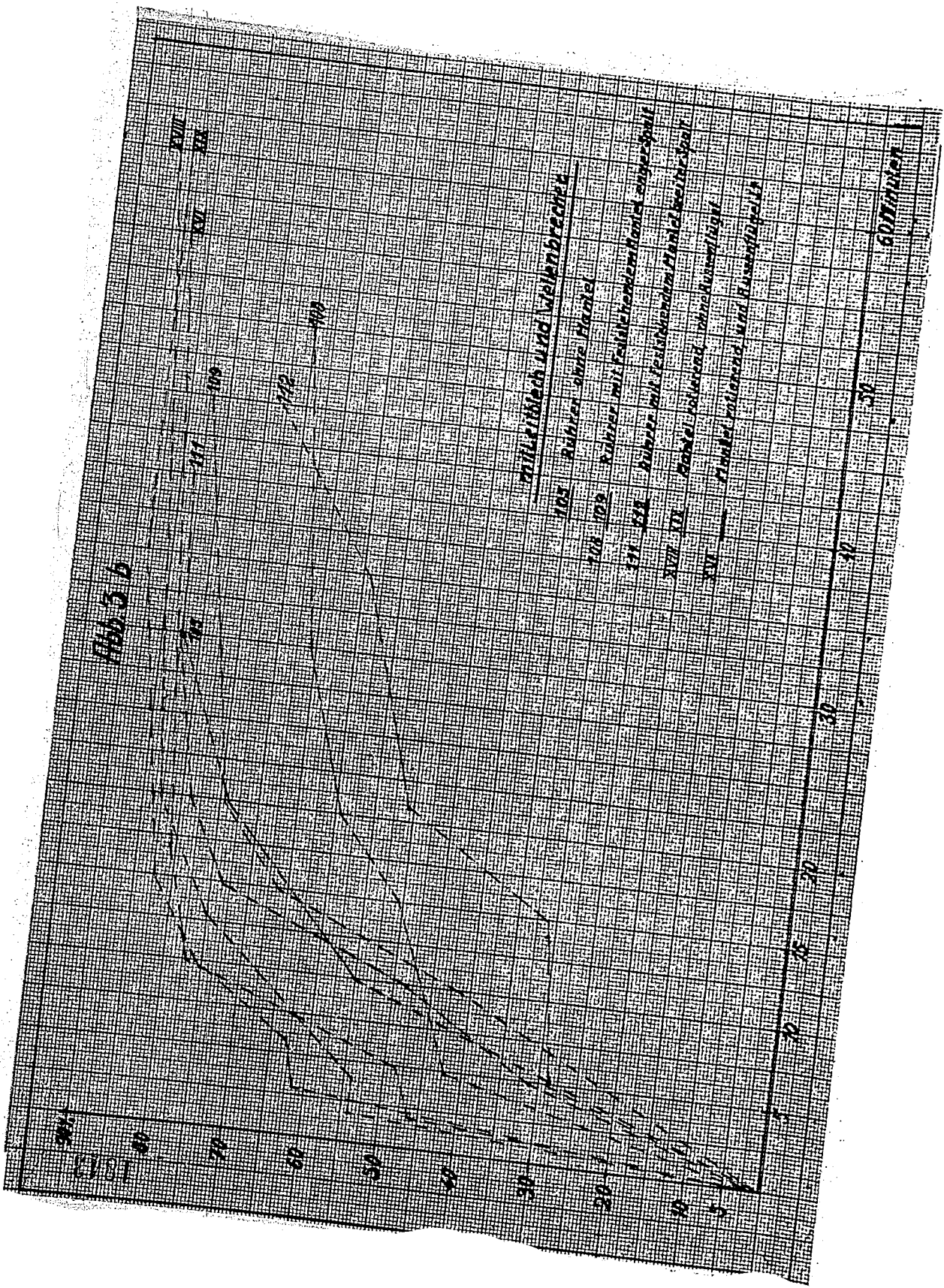
Versuchsnr.

	I	Ohne Leitblech und Wellenbrecher, Mantel rotierend.
	A	Alle drei Lochkränze des Originalmantels geöffnet.
XI	1)	Ohne Außenschaufeln
	2)	mit Außenschaufeln
IX	a)	oberes Schaufelpaar fördert von oben nach unten, unteres Schaufelpaar fördert von unten nach oben.
IV	b)	Beide Schaufelpaare fördern nach unten.
III	B	Nur oberster Lochkranz geöffnet, beide Schaufelpaare fördern nach unten.
	II	Sit Leitblech und Wellenbrecher.
	A	Rotierender Mantel, drei Lochkränze.
XVIII/XIX	1)	Ohne Außenschaufeln
XVI	2)	mit Außenschaufeln, oberen Schaufelpaark fördert von oben nach unten, unteres Schaufelpaar fördert von unten nach oben.
	B	Feststehender Mantel
108/109	1)	Originalmantel mit drei Lochkränzen
	a)	enger Spalt zwischen Mantel und Autoklavenboden
111;112; 114;115	b)	weiter Spalt zwischen Mantel und Autoklavenboden
116;117	2)	Originalmantel + ein neuer Lochkranz(unten)
118;119	3)	" " + zwei " "
120;121	4)	" " + drei " "
105	C	Schraube ohne Mantel

Die größte Absorptionsgeschwindigkeit wurde bei dem Rührer mit rotierendem Mantel und mit Leitblech erreicht (Versuch XVIII u. XIX). Eine Änderung der Tourenzahl von 680 auf 970 Umdr/min. hatte keinen Einfluß, ebenso wenig das Anbringen von Außenschaufeln (Vers. XVI). Die Konstruktion mit feststehendem Mantel ist zwar weniger wirksam, aber wegen der geringeren Anschaffungskosten unter Umständen vorzuziehen.

Die Konstanz der Absorptionsgeschwindigkeit in dem Bereich von 680 bis 970 Umdr/min. könnte zu der Annahme führen, daß von jetzt ab die chemische Reaktion die Geschwindigkeit bestimmt. Es ist aber auch möglich, daß immer noch die Größe der Phasengrenzfläche





400

50

30

20

10

0

10

20

30

40

400.5 b

400

300

200

100

0

100

200

300

400

400

300

200

100

0

100

200

300

400

500

400

300

200

100

0

100

200

300

400

500

400

300

200

100

0

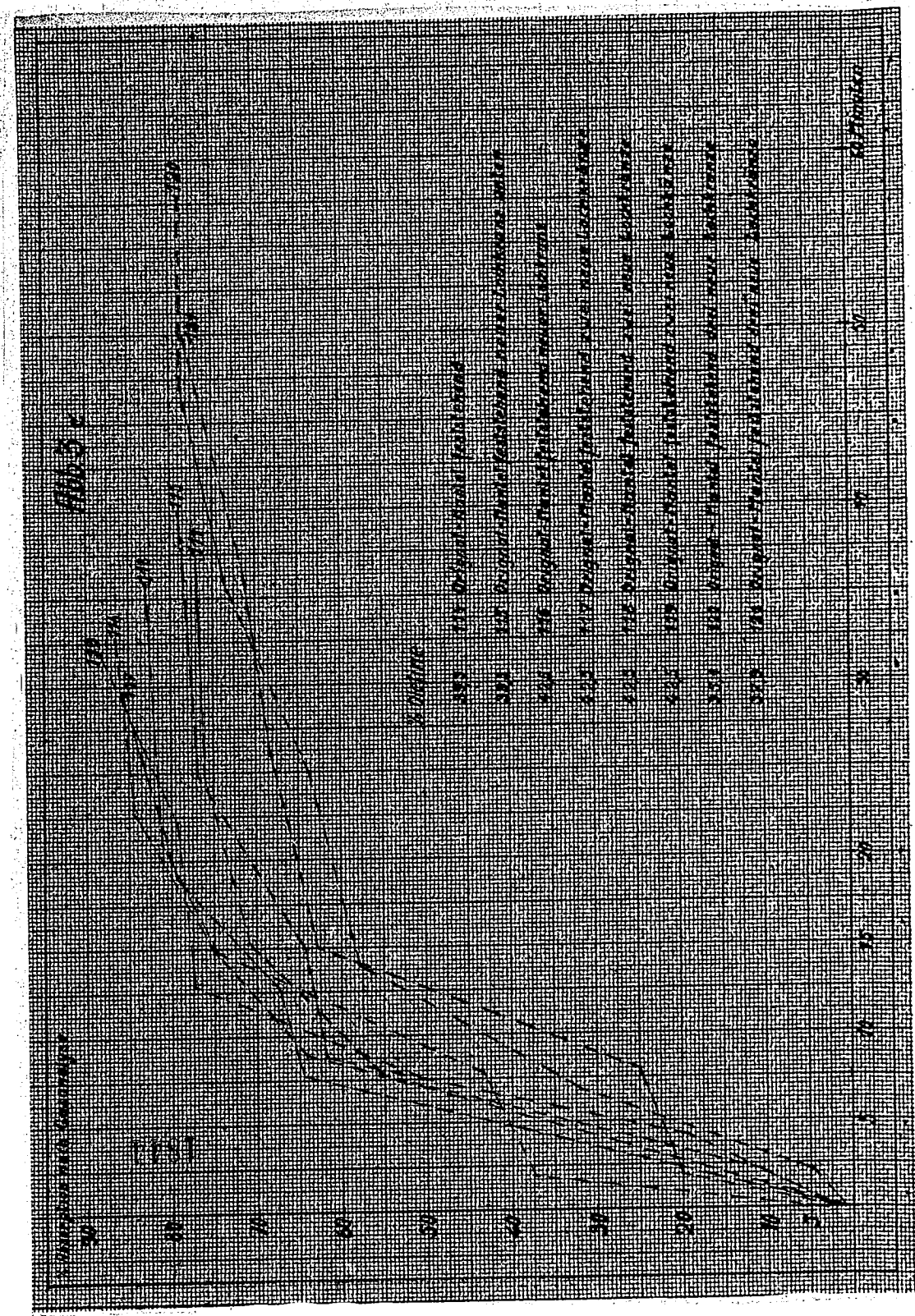
100

200

300

400

500



Brennstoff  
anfangs

Abb. 4. Absorption in Schmelzmassen verschiedener Konzentrationen.  
35 ltr. Petrolbenz.  
M. & P. Reiher  
44.5%  
(XVII)

1845

rotirende Glöcke  
leiblich + hellen  
schnell aufgelöst  
9/10 12 min.

60 min.

50

40

30

20

10

5

0

C<sub>1</sub>

C<sub>2</sub>

C<sub>3</sub>

C<sub>4</sub>

C<sub>5</sub>

C<sub>6</sub>

C<sub>7</sub>

C<sub>8</sub>

C<sub>9</sub>

C<sub>10</sub>

C<sub>11</sub>

C<sub>12</sub>

C<sub>13</sub>

C<sub>14</sub>

C<sub>15</sub>

C<sub>16</sub>

C<sub>17</sub>

C<sub>18</sub>

C<sub>19</sub>

C<sub>20</sub>

C<sub>21</sub>

C<sub>22</sub>

C<sub>23</sub>

C<sub>24</sub>

C<sub>25</sub>

C<sub>26</sub>

C<sub>27</sub>

C<sub>28</sub>

C<sub>29</sub>

C<sub>30</sub>

C<sub>31</sub>

C<sub>32</sub>

C<sub>33</sub>

C<sub>34</sub>

C<sub>35</sub>

C<sub>36</sub>

C<sub>37</sub>

C<sub>38</sub>

C<sub>39</sub>

C<sub>40</sub>

C<sub>41</sub>

C<sub>42</sub>

C<sub>43</sub>

C<sub>44</sub>

C<sub>45</sub>

für die Geschwindigkeit der Absorption maßgebend ist. Eine weitere Vergrößerung dieser Oberfläche ist durch eine bedeutende Erhöhung des Kraftaufwandes zu erzielen. Diese Frage könnte durch weitere Versuche geklärt werden. Versuche mit Lösungen von Äther in Schwefelsäure deuten daraufhin, daß die Reaktionsgeschwindigkeit immer noch von der Durchlässichung abhängt, da sie durch den Ätherzusatz noch gesteigert wird (vgl. Abschnitt III A 8).

III A 2 Einfluß von Schwefelsäurekonzentration und Temperatur auf die Reaktionsgeschwindigkeit und die Ausbeute.

a) Absorption des Olefingemisches.

Bei den Versuchen zur Ermittlung der günstigsten Fließgeschwindigkeit wurde zunächst 75%ige Schwefelsäure genommen. Setzt man die Säurekonzentration herab, so sinkt bei sonst gleichen Bedingungen die Absorptionsgeschwindigkeit. (11 u. 16) Abb. 4 veranschaulicht dieses Verhalten bei Verwendung von 64,7-69,4-71,5 und 75%iger Schwefelsäure. Es wäre also für die Absorptionsgeschwindigkeit zweckmäßig, konzentriertere Säure zu verwenden. Die Konzentration der Schwefelsäure darf aber nicht beliebig gesteigert werden, da sonst die Polymerisation vorherrscht wird (7 u. 8).

Ein weiterer Nachteil ist, daß mit der Schwefelsäurekonzentration auch die mittlere Molekülgröße und damit die Siedelage des Polymerisats ansteigt. Bei tieferer Temperatur kann man zwar konzentriertere Säure verwenden, die Einhaltung der Temperatur ist dann aber schwieriger.

In Tabelle III sind die Siedeanalysen und Siedekennziffern verschiedener Polymerbenzin verzeichnet. Für die Berechnung der Siedekennziffer stand die zu 95% gekennzeichnete Destillat gehörige Siedetemperatur nicht mehr zur Verfügung. Die graphische Darstellung der Siedeanalyse zeigt Abb. 5. Für 75,4%ige Schwefelsäure steigt die Siedelage des Polymerisats an, wenn die bei Beginn der Absorption herrschende Temperatur von 40 über 50 auf 60° erhöht wird. (Kurven 18; 17; 15). Sie sich unter diesen Bedingungen in einem Dreiliter-Autoklavon einstellenden maximalen Temperaturen betrugen 42,5; 52,8 und 60,2°. Mit 90%iger Schwefelsäure erhält man bei 40° ein höher siedendes Polymerisat als mit 75,4%iger Säure bei der gleichen Temperatur. (Kurven 16 u. 18). Die maximalen Temperaturen lagen hierbei 44,8 und 42,5°.

Der Zusammenhang zwischen Säurekonzentration, Temperatur, Absorptionsgeschwindigkeit, Polymerisatanteil, Siedekennziffer und

Tab. 4. Feststellung der günstigsten Absorptionsbedingungen.

Nr.	Säurelösung Mol-H <sub>2</sub> SO <sub>4</sub>	Anf. Kühlst.-temp.	Vorr. temp.	Absorp. nach 1 min.	Olefineinahme & v. Zins. Holzvorkl. nach 1 min.	Vorr. Clorinaufnahme & v. Clorinaufnahme nach 1 min.	Vorr. S-Gehalt & v. S-Gehalt nach 1 min.	Dichte & v. Dichte der Aufnahme durch Zersetzung wie unter diesel. ziffern dargestellt.	1847	
									a) 75,0	b) 35,5, 64,5, 0
1	a) 75,0 b) 35,5, 64,5, 0 c) 1,0, 1,8, 0	-	-	-	52,8 5,4	58,6 2,34	75,6 7,5	18,9 26,4	-	0,752 98
2	a) 75,0 b) 35,5, 64,5, 0 c) 1,0, 1,8, 0	1,25	60	60,2	8,7	48,1 2,60	69,0 4,9	21,7 25,6	118 -	0,755 99,3
3	" " 1,3	40	42,5	3,5	-	-	-	-	115 -	0,745 111
4	" " 1,2	40	43,5	3,7	74,8 1,8	-	86,6 (6,2)	11,6 (17,8)	121 -	0,754 83
5	" " 1,2	40	43,0	4,7	62,4 2,0	-	89,8 -	14,3 -	120 -	0,742 -
6	" " 2,0	40	43,7	7,3	78,7 2,4	-	84,6 -	10,0 14,4	24,4 111	0,742 6,69
7	" " 2,0	40	44,0	6,8	71,4 3,0	-	83,5 -	5,7 14,1	(18,8) 121	0,747 0,741
8	" " 3,0	40	48,1	25,5	76,5 3,9	-	83,0 -	6,0 15,7	21,7 -	0,747 91
9	" " 4,4	40	45,9	24,4	66 6,5	-	79,5 -	0,18 17,1	(18,7) 121	0,739 0,739
10	" " 0,18	40	40,4	-	- 4 -	-	23,4 -	- 14,6 -	-	0,44 0,747
11	a) 80,0 b) 42,4, 57,6, 0 c) 1,0, 1,4, 0	20 0 0	1,45 40	45,0 40,4	8,3 -	62,7 -	78 -	2,4 -	17,7 27,1	0,762 104
12	a) 85,1 b) 51,1, 48,9, 0 c) 1,0, 0,95, 0	14,9 0 0	0 1,1	20 32,0	27 -	71 -	1,6 -	82,5 -	15,5 146	0,766 95
13	" " 1,5	40	62,0	44	69 -	1,7 -	79,6 -	-	-	0,770 84
14	a) 56,9 b) 50,0 c) 1,0	0 50 1	43,1 1,2	32 -	33,8 11,8	47 -	2,6 -	-	-	-
15	a) 68,1 b) 50,0 c) 2,1	6,1 25,7 1	-	-	79,3 -	4,1 -	12,2 -	16,3 -	-	85

15	3,50	2,52	25,7	25,2	20	24,5	27,1	62,8	1,9	72,6	2,9	23,3	26,2
16	0,70	2,8	27,2	1,2	20	34,0	9,6	55,8	2,0	74,3	4,2	19,3	23,5
17	0,57	3,12	6,29	6,1,2	20	34,0	10,7	53,6	2,4	66,4	2,9	27,3	30,2
18	"	"	1,3	20	27,3	26,2	9,7	54,7	3,0	74,6	-	18,5	-
19	"	"	1,1	20	26,9	10,1	67,4	1,8	80,4	-	-	116	-
20	"	"	1,2	20	26,5	10,2	73	2,8	81,8	-	16,2	-	-
21	"	"	1,4	40	52,3	30	53	2,6	71,5	(3,0)	21,1	(24,1)	161
													-
													0,808
													86

125

Polymer and Solid State Seminar No. 2

Tab. III. S.7d. Tabelle III. Siedeanalysen u. Schwefelgehalt von Polymerisaten.

	Vorarach	19	23	26	18	17	43	14	20	28	13	16	45	47
Ausgangsstoff:	75,0	$\text{H}_2\text{C}_6\text{O}_4 + 25$	42,0	—	—	—	70	112	104	27	116	127	161	85 % $\text{H}_2\text{SO}_4$
Anfangs-	—	—	—	—	—	—	3	112	104	27	116	127	161	15 % $\text{H}_2\text{O}$
temperatur-	40	40	40	40	50	60	20	20	20	40	—	—	20	40
Luftschatttemp.	45,7	45,5	45,0	44,0	42,5	52,8	60,2	27,3	26,9	34,0	—	—	32	62
Siedekonstanz	—	—	—	—	—	—	—	—	—	—	—	—	—	—
bei einer	—	—	—	—	—	—	—	—	—	—	—	—	—	—
Dest.-menge	—	—	—	—	—	—	—	—	—	—	—	—	—	—
von	—	—	—	—	—	—	—	—	—	—	—	—	—	—
5 %	76	72	74	74	39	100	91	69	60	68	59	73	110	—
15 %	99	102	102	101	104	106	105	9	91	89	94	114	121	—
25 %	104	105	106	105	107	109	107	90	101	95	133	125	135	—
35 %	106	108	106	105	105	111	111	94	105	109	163	135	153	—
45 %	108	110	111	111	112	123	114	105	105	109	178	145	170	—
55 %	110	112	114	114	115	114	114	116	112	114	124	17	155	186
65 %	111	112	117	117	120	115	117	140	155	153	193	171	196	—
75 %	116	131	120	122	127	120	140	179	157	184	211	193	203	—
85 %	166	165	150	152	125	175	171	195	192	217	223	206	221	—
95 %	25	198	203	206	—	—	—	—	—	—	—	—	—	—
Siedekonst-	—	—	—	—	—	—	—	—	—	—	—	—	—	—
ziffer	111	121	120	121	115	118	118	119	116	127	161	146	176	—
Luftichte	0,7410	0,7540	0,7490	0,7470	0,7450	0,7220	0,7550	0,784	0,7220	0,7650	0,808	0,7666	0,7770	—
% Schwei-	0,69	—	0,87	—	—	—	—	—	—	—	—	2,14	—	—
fel	—	—	—	—	—	—	—	—	—	—	—	0,49	—	—

Schwefelgehalt des Polymerisats ist zusammenfassend in Tabelle IV dargestellt. Hierfür ein Absorptionsgeschwindigkeit ist in Spalte 8 die nach einer Minute erreichte Absorption angegeben. Zur Beurteilung der Versuche ist im Spalte 16 von dem in der Säure aufgenommenen Glycerin derjenige Prozentsatz verzeichnet, der durch die Aufarbeitung (Abschnitt III C) wiedergefunden wurde. Hierbei als unsicher erkannte Werte wurden weggelassen, bzw. in Klammern gesetzt. Der Einfluß des Verhältnisses  $\frac{\text{Glycerin}}{\text{Säure}}$  (Spalte 5) und des Ätherzusatzes (Versuche 14-21)

auf die Reaktionsgeschwindigkeit soll erst in den Abschnitten III A 4 und III A 8 besprochen werden.

Die Gegenüberstellung der Versuche 4 und 11, bei denen das Verhältnis von Glycerin zu Schwefelsäure gleich war, zeigt, daß die Anfangsabsorption von 80 %iger Schwefelsäure reichlich doppelt so groß ist, wie die von 75 %iger Schwefelsäure. Das mit der 80 %igen Säure erhaltenen Polymerisat hat über eine höhere Siedekennziffer (130) als das der 75 %igen Säure (121). Die Polymerisationsmenge im Copol ist zuerden bei der 80 %igen Säure um rund 50 % größer. Die Unterschiede in den Polymerisatmengen sind jedoch nicht genau zu erfassen, da sich bei den kleinen Mengen unvermeidliche Differenzen bei der Aufarbeitung stark auswirken. Bei Verwendung von 85 %iger Säure ist die Siedelage des Polymerisats noch höher, die Menge des Polymerisats dagegen nicht größer (Versuch 12, 13). Die 85 %ige Schwefelsäure verursacht aber starke Siedebildung. Bei der Verseifung schwimmt auf der Flüssigkeit außerdem eine teerartige Substanz.

Der Schwefelgehalt des Polymerbenzins steht in keinem eindeutigen Zusammenhang mit der Säurekonzentration. Das Benzin war durch Kochen über verdünnter Natronlauge stabilisiert worden, der Schwefelgehalt konnte aber dadurch nicht wesentlich verringert werden. In einigen Fällen wurde das Polymerisat anschließend mit 2 %iger Schwefelsäure gekocht. Dadurch gelang es, den Schwefelgehalt herabzusetzen (Versuche 8, 14, 18).

Stufe I

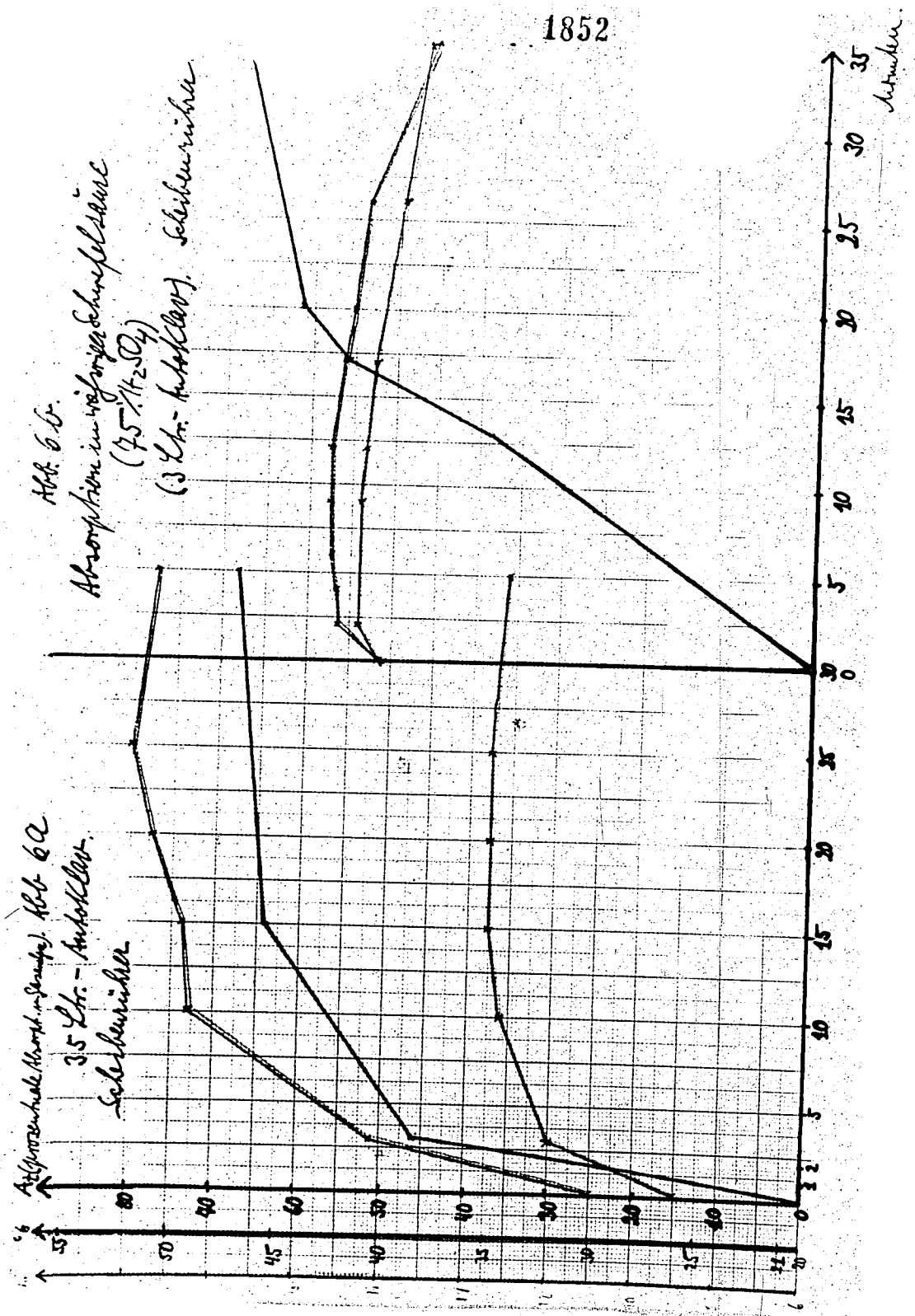
• Temp. 110°. Konz. 10% Polycarbamid. Dichte nach  
• 0° C. dauer der nach zwis- box auf 100. und mit  
min. H<sub>2</sub>SO<sub>4</sub> analyso- I-Ururten gen.- Klein kochen  
Gum. 5 mit H<sub>2</sub>SO<sub>4</sub>.

50	20	30	65	80	52	-	6,752
51	20	30	65	80	52	-	6,749
52	20	60	65	(57)	56	5	6,759
53	20	30	65	64	49	5	6,746
54	20	60	65	-	55	5	6,748
55	30	10	65	-	59	4,1	6,749
56	30	20	65	73,7	(46)	(3,2)	- 6,746
57	30	20	65	73,6	64,4	5,9	- 6,743
58	20	10	70	nicht bestimmt			
59	20	10	70	-	39	5,7	6,763 6,766
60	20	10	70	-	110	7,7	6,759 6,762
61	20	20	70	-	100	5,5	6,761 6,761
62	20	20	70	-	85		
63	20	20	70	-	110		
64	20	20	70	-	100		
65	20	10	70	-	85		
66	20	10	70	-	110		
67	20	10	70	-	100		
68	20	10	70	-	85		
69	20	10	70	-	110		
70	20	10	70	-	100		
71	20	10	70	-	85		
72	20	10	70	-	110		
73	20	10	70	-	100		
74	20	10	70	-	85		
75	20	10	70	-	110		
76	20	10	70	-	100		
77	20	10	70	-	85		
78	20	10	70	-	110		
79	20	10	70	-	100		
80	20	10	70	-	85		
81	20	10	70	-	110		
82	20	10	70	-	100		
83	20	10	70	-	85		
84	20	10	70	-	110		
85	20	10	70	-	100		
86	20	10	70	-	85		
87	20	10	70	-	110		
88	20	10	70	-	100		
89	20	10	70	-	85		
90	20	10	70	-	110		
91	20	10	70	-	100		
92	20	10	70	-	85		
93	20	10	70	-	110		
94	20	10	70	-	100		
95	20	10	70	-	85		
96	20	10	70	-	110		
97	20	10	70	-	100		
98	20	10	70	-	85		
99	20	10	70	-	110		
100	20	10	70	-	100		
101	20	10	70	-	85		
102	20	10	70	-	110		
103	20	10	70	-	100		
104	20	10	70	-	85		
105	20	10	70	-	110		
106	20	10	70	-	100		
107	20	10	70	-	85		
108	20	10	70	-	110		
109	20	10	70	-	100		
110	20	10	70	-	85		
111	20	10	70	-	110		
112	20	10	70	-	100		
113	20	10	70	-	85		
114	20	10	70	-	110		
115	20	10	70	-	100		
116	20	10	70	-	85		
117	20	10	70	-	110		
118	20	10	70	-	100		
119	20	10	70	-	85		
120	20	10	70	-	110		
121	20	10	70	-	100		
122	20	10	70	-	85		
123	20	10	70	-	110		
124	20	10	70	-	100		
125	20	10	70	-	85		
126	20	10	70	-	110		
127	20	10	70	-	100		
128	20	10	70	-	85		
129	20	10	70	-	110		
130	20	10	70	-	100		
131	20	10	70	-	85		
132	20	10	70	-	110		
133	20	10	70	-	100		
134	20	10	70	-	85		
135	20	10	70	-	110		
136	20	10	70	-	100		
137	20	10	70	-	85		
138	20	10	70	-	110		
139	20	10	70	-	100		
140	20	10	70	-	85		
141	20	10	70	-	110		
142	20	10	70	-	100		
143	20	10	70	-	85		
144	20	10	70	-	110		
145	20	10	70	-	100		
146	20	10	70	-	85		
147	20	10	70	-	110		
148	20	10	70	-	100		
149	20	10	70	-	85		
150	20	10	70	-	110		
151	20	10	70	-	100		
152	20	10	70	-	85		
153	20	10	70	-	110		
154	20	10	70	-	100		
155	20	10	70	-	85		
156	20	10	70	-	110		
157	20	10	70	-	100		
158	20	10	70	-	85		
159	20	10	70	-	110		
160	20	10	70	-	100		
161	20	10	70	-	85		
162	20	10	70	-	110		
163	20	10	70	-	100		
164	20	10	70	-	85		
165	20	10	70	-	110		
166	20	10	70	-	100		
167	20	10	70	-	85		
168	20	10	70	-	110		
169	20	10	70	-	100		
170	20	10	70	-	85		
171	20	10	70	-	110		
172	20	10	70	-	100		
173	20	10	70	-	85		
174	20	10	70	-	110		
175	20	10	70	-	100		
176	20	10	70	-	85		
177	20	10	70	-	110		
178	20	10	70	-	100		
179	20	10	70	-	85		
180	20	10	70	-	110		
181	20	10	70	-	100		
182	20	10	70	-	85		
183	20	10	70	-	110		
184	20	10	70	-	100		
185	20	10	70	-	85		
186	20	10	70	-	110		
187	20	10	70	-	100		
188	20	10	70	-	85		
189	20	10	70	-	110		
190	20	10	70	-	100		
191	20	10	70	-	85		
192	20	10	70	-	110		
193	20	10	70	-	100		
194	20	10	70	-	85		
195	20	10	70	-	110		
196	20	10	70	-	100		
197	20	10	70	-	85		
198	20	10	70	-	110		
199	20	10	70	-	100		
200	20	10	70	-	85		
201	20	10	70	-	110		
202	20	10	70	-	100		
203	20	10	70	-	85		
204	20	10	70	-	110		
205	20	10	70	-	100		
206	20	10	70	-	85		
207	20	10	70	-	110		
208	20	10	70	-	100		
209	20	10	70	-	85		
210	20	10	70	-	110		
211	20	10	70	-	100		
212	20	10	70	-	85		
213	20	10	70	-	110		
214	20	10	70	-	100		
215	20	10	70	-	85		
216	20	10	70	-	110		
217	20	10	70	-	100		
218	20	10	70	-	85		
219	20	10	70	-	110		
220	20	10	70	-	100		
221	20	10	70	-	85		
222	20	10	70	-	110		
223	20	10	70	-	100		
224	20	10	70	-	85		
225	20	10	70	-	110		
226	20	10	70	-	100		
227	20	10	70	-	85		
228	20	10	70	-	110		
229	20	10	70	-	100		
230	20	10	70	-	85		
231	20	10	70	-	110		
232	20	10	70	-	100		
233	20	10	70	-	85		
234	20	10	70	-	110		
235	20	10	70	-	100		
236	20	10	70	-	85		
237	20	10	70	-	110		
238	20	10	70	-	100		
239	20	10	70	-	85		
240	20	10	70	-	110		
241	20	10	70	-	100		
242	20	10	70	-	85		
243	20	10	70	-	110		
244	20	10	70	-	100		
245	20	10	70	-	85		
246	20	10	70	-	110		
247	20	10	70	-	100		
248	20	10	70	-	85		
249	20	10	70	-	110		
250	20	10	70	-	100		
251	20	10	70	-	85		
252	20	10	70	-	110		
253	20	10	70	-	100		
254	20	10	70	-	85		
255	20	10	70	-	110		
256	20	10	70	-	100		
257	20	10	70	-	85		
258	20	10	70	-	110		
259	20	10	70	-	100		
260	20	10	70	-	85		
261	20	10	70	-	110		
262	20	10	70	-	100		
263	20	10	70	-	85		
264	20	10	70	-	110		
265	20	10	70	-	100		
266	20	10	70	-	85		
267	20	10	70	-	110		
268	20	10	70	-	100		
269	20	10	70	-	85		
270	20	10	70	-	110		
271	20	10	70	-	100		
272	20	10	70	-	85		
273	20	10	70	-	110		
274</td							

### Einfluss der Voraussorption v. Isobutylen auf den Polymerisationsanfall -

4d ④ Ton- und Kalk-  
abseßt. Poligonal mit  
noch einer der dog. und  
Lutzen Gen. - Morin Kochen  
mit H<sub>2</sub>SO<sub>4</sub> analysirt.

1852



1853

Es hat sich als zweckmäßig erwiesen, mit 75 %iger Schwefelsäure in einem Temperaturbereich von 30-50° zu arbeiten. Die Anfangstemperatur und etwaiges Kühlung ist entsprechend der Größe des Autoklaven zu wählen. So betrug z.B. die Anfangstemperatur in einem 35 Liter fassenden Autoklaven 50°, während sie in einem 3 Liter fassenden Autoklaven auf 40° erhöht werden musste. Die maximalen Temperaturen betrugen 50 bzw. 45°.

Durch die Temperatur ist auch der Druck im Autoklaven festgelegt. Er steigt unter den angegebenen Bedingungen nicht über 20 atm. Die Abbildungen 6a und 6b zeigen für den 35 Liter und für den 3 Liter fassenden Autoklaven den Verlauf von Temperaturdruck und Absorption als Funktion der Versuchszeit.

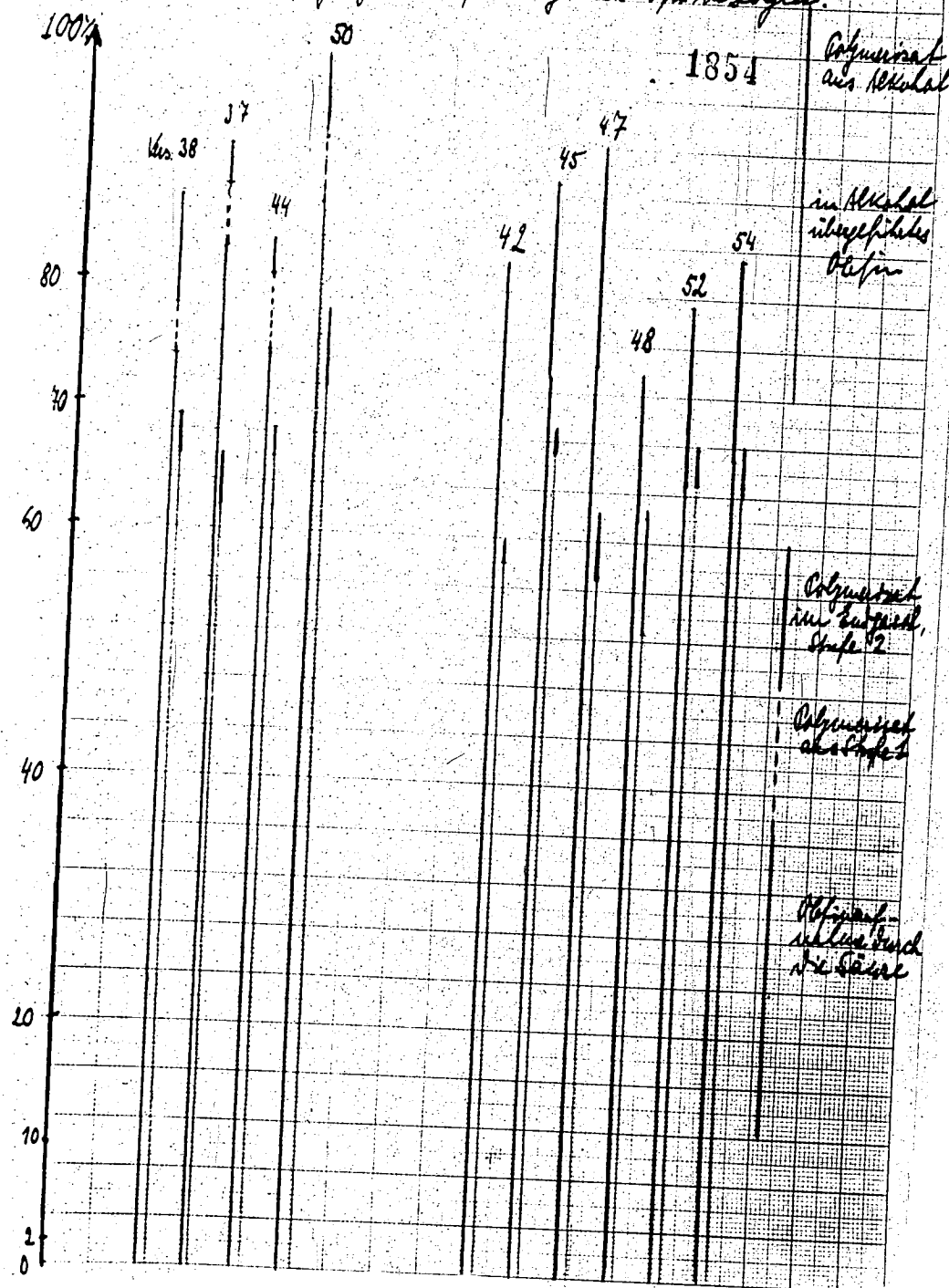
#### III A 2b Vorabsorption des Isobutylyens.

Bei Verwendung von 75 %iger Schwefelsäure vom 30-50° fällt das gesamte Isobutylein als Polymerisat an. Hierbei wird auch ein Teil des n-Butylen ~~zusammen~~ polymerisiert. Bei Abwesenheit von Isobutylein ist die Polymerisation von n-Butylen viel geringer. Eine Abtrennung des Isobutylyens aus dem Gasol vor der Absorption von n-Butylen und Propylen ist daher vorteilhaft. Sie kann mit 65 %iger Schwefelsäure bei 20° durchgeführt werden. Unter diesen Bedingungen wird das ~~zusammen~~ Isobutylein von der Säure aufgenommen, n-Butylen und Propylen reagieren in deutlich geringerem Umfang (13, 16, 11). Das absorbierte Isobutylein kann durch Erhitzen der angewandten Säure auf 100° polymerisiert und als obere Schicht abgetrennt werden. (27)

Eine getrennte Absorption von Propylen und n-Butylen ist nicht möglich, weil der Unterschied der Absorptionsgeschwindigkeiten zu gering ist (13, 14).

Zur Ermittlung der günstigsten Bedingungen wurde die in Tabelle IVa angegebene Versuchsreihe in einem Dreiliter-Autoklaven unter Verwendung eines Scheibenführers von 650 Umdr/min. durchgeführt. Eine 100 %ige Absorption des Isobutylyens kann bei Zimmertemperatur (20°) mit 70 %iger Schwefelsäure in 10-20 Minuten erreicht werden. (Versuch 40, 43, 44). Mit 65 %iger Säure erzielt man bei 30° in 20 Minuten nur eine rund 75 %ige Absorption (Versuch 49, 50). Bei Verwendung von 70 %iger Säure hat das entstandene Polymerisat eine höhere Dicht, höheres Molekulargewicht und höhere Siedekennziffer als bei Verwendung von 65 %iger Säure. Der Schwefelgehalt kann in allen Fällen durch einstündiges Kochen des Polymerisats mit 2 %iger Schwefelsäure unter 0,05% gehalten werden. Nach Kochen

Avr. o.C. Ainoxocausvercur  
 (vgl Tab. 42)  
 Einsatz d) mit Koralloptikten  
 Sämtliche Größen sind auf das eingesetzte Objekt bezogen.  
 B, ohne Koralloptikten.



mit Natronlauge beträgt er Schwefelgehalt dagegen noch 0,2 %. Gemeinsam mit dem Isobutylein wird auch eine geringe Menge n-Butylein polymerisiert, die steht aber in keinem stöchiometrischen Verhältnis zum polymerisierten Isobutylein (vgl. das weiter unten angeführte Beispiel). Bei der Vorabsorption findet sich rund 1 % vom eingesetzten Olefin als Polymerisat im Gasol. Der Temperaturanstieg war bei allen Vorabsorptionen nicht größer als 1°.

Läßt man der Vorabsorption eine Absorption mit 75 %iger Säure bei 40° folgen, so erhält man rund 3 % des in der zweiten Stufe eingesetzten Olefins als Polymerisat im Gasol. Das Polymerisat hat ziemlich genau das Molekulargewicht des Dibutyleins. Bei Verwendung von 85 %iger Säure bei 20° in der zweiten Stufe erhält man im Restgasol rund 5 % Polymerisat vom eingesetzten Olefin. Das Molekulargewicht des Polymerisats ist rund 150. Man erhält also aus beiden Stufen zusammen rund 9 bzw. 11 % Polymerisat bei Verwendung von 75 %iger bzw. 85 %iger Säure in der Nachabsorption. Arbeitet man dagegen ohne Vorabsorption, so erhält man mit 75 %iger Säure bei 40° 12-14 % Polymerisat, mit 85 %iger Säure 16-18 % (Versuche 42, 48, 52).

Der Benzingerhalt im Alkohol beträgt im Mittel 5 % vom Olefin-einsatz. Die geschilderten Verhältnisse sind in Abb. 6c zusammengestellt. Im Mittel wurden beim zweistufigen Verfahren 66,5 %, beim einstufigen Verfahren 60,0 % vom eingesetzten Olefin in Alkohol übergeführt.

#### Versuchsbeispiel für die stufenweise Absorption von Gasol

Stufe 1: Vorabsorption: 70 %ige  $H_2SO_4$ , 20°, 20 Minuten gerührt,  
3 Liter-Autoklav mit Scheibenrührer,  
650 Umdr/min.

<u>Gasol:</u>	2,3 Vol.-%	=	2,6 Gew.-%	$C_4H_8$
	17,5 " "	=	19,5 " "	$n-C_4H_8$
	17,6 " "	=	19,0 " "	$C_3H_6$

Gasolbilanz Einsatz: 1 400 g.

Stufe 1: 344 g 65 %ige  $H_2SO_4$  20 Minuten bei 20° gerührt

Aufnahme: 38 g

Gasol abglossen: 120 Ltr.

270 g

Stufe 2: 1 345 g 75,9 %ige  $H_2SO_4$ , 40° " "

294 g

Restgasol + Polymerisat

485 g

Entspannungsgas, Autoklav + Troben 103 Ltr.

232 g

Summe: 1 319 g

Verlust: 5,8 %

-11- III A 2b und III A 3 1856

Olefinkbilanz: Einsatz 36 g 1-C<sub>4</sub>H<sub>8</sub> + 484 g n-C<sub>4</sub>H<sub>8</sub>+C<sub>3</sub>H<sub>6</sub>

Stufe 1:

Mol 1-C<sub>4</sub>H<sub>8</sub> : Mol H<sub>2</sub>SO<sub>4</sub> = 1:3,8 Aufnahme: 38 g = 105 % vom  
abgelesenes Olefin: 89 g 1-C<sub>4</sub>H<sub>8</sub>-Einsatz

Stufe 2:

Mol Olefin : Mol H<sub>2</sub>SO<sub>4</sub> = 1:1,3 Aufnahme: 294 g = 56,5% v.Ein-  
satz Rektgasol: 33 g stabilisiertes Poly-  
merisat: 11,5 g Entspannungsgas des Autoklaven +  
Proben: 22,5 g Summe: 438,0 g Verlust: 6,2 %.

Stabilisiertes Polymerisat: 1. Stufe: 30,7 g = 5,9 %  
(erhalten durch Erhitzen des v.Gesamt-Olefineinsatz  
Reaktionsprodukten auf 100°) der 1. Stufe.  
(10 Minuten) Dichte: 0,761(20°)  
Molekulargewicht: 114

Cashalvech:

einges. Gasol	Nach Stufe 1	Nach Stufe 2	Rektgasol Autoklav
CO <sub>2</sub>	2,6 %	1,8 %	1,7 % 3,9 %
1-C <sub>4</sub> H <sub>8</sub>	2,3 %	0,0 %	0,0 %
n-C <sub>4</sub> H <sub>8</sub> + C <sub>3</sub> H <sub>6</sub>	34,6 %	33,3 %	7,1 % 9,7 %

Aus dem Gehalt an n-C<sub>4</sub>H<sub>8</sub>+C<sub>3</sub>H<sub>6</sub> vor Stufe 1 und nach Stufe 1 ergibt sich, daß auf ein Mol 1-C<sub>4</sub>H<sub>8</sub> 1,35 Mol n-C<sub>4</sub>H<sub>8</sub> absorbiert wurden.

III A 3 Konzentration der Olefine

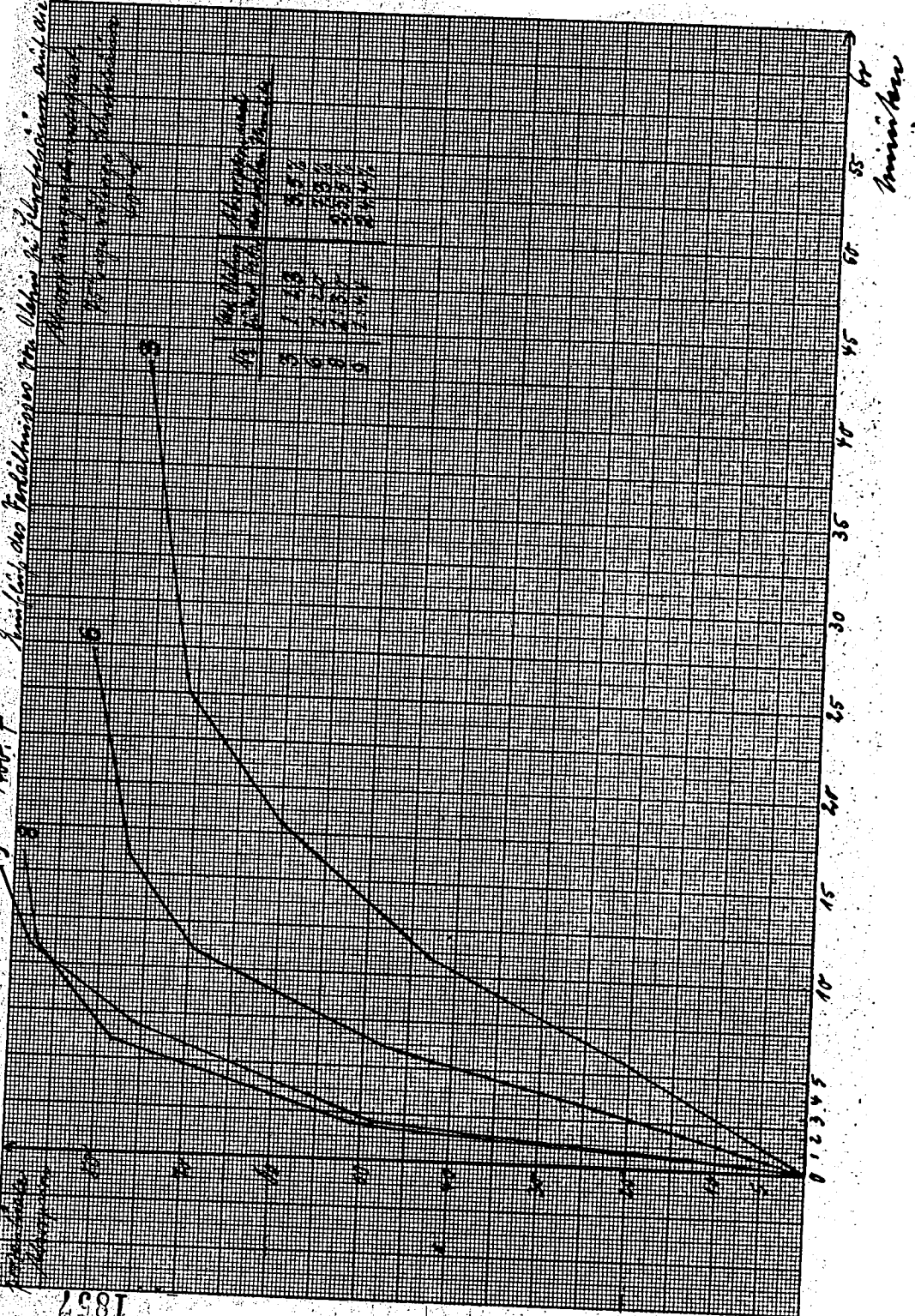
Die Reaktionsgeschwindigkeit von reinem Olefin ist, wie aus den Literaturangaben hervorgeht<sup>7)</sup>, am größten und sinkt mit steigender Verdünnung durch Paraffine. In eigenen Versuchen wurde der Einfluß der Olefinkonzentrationen auf die Reaktionsgeschwindigkeit nur untersucht, als das Olefin gasförmig angewandt wurde. 99 %iges Propylen reagierte mit 87 %iger Schwefelsäure bei Zimmertemperatur rund 5 mal schneller als ein Gasol, das 30 % Olefine enthielt.

9

Abb. 7. Einheit des Periodenverlaufs in Abhängigkeit von der

Periodendauer  $T$  und dem Verhältnis  $\frac{P}{T}$  für die Werte

- 1.  $P = T$ ,  $\frac{P}{T} = 1$
- 2.  $P = 2T$ ,  $\frac{P}{T} = 2$
- 3.  $P = 3T$ ,  $\frac{P}{T} = 3$
- 4.  $P = 4T$ ,  $\frac{P}{T} = 4$
- 5.  $P = 5T$ ,  $\frac{P}{T} = 5$
- 6.  $P = 6T$ ,  $\frac{P}{T} = 6$
- 7.  $P = 7T$ ,  $\frac{P}{T} = 7$
- 8.  $P = 8T$ ,  $\frac{P}{T} = 8$
- 9.  $P = 9T$ ,  $\frac{P}{T} = 9$
- 10.  $P = 10T$ ,  $\frac{P}{T} = 10$



1857

HG 388 Vol.

Einfluss des Verhältnisses Mol. Olf.: Mol. Hg. auf die 1858

% dnm  
Methanol  
Olefinsäure  
Hg Salze  
aufgez.

100

90

80

70

60

50

40

30

20

10

0

0,25

0,33

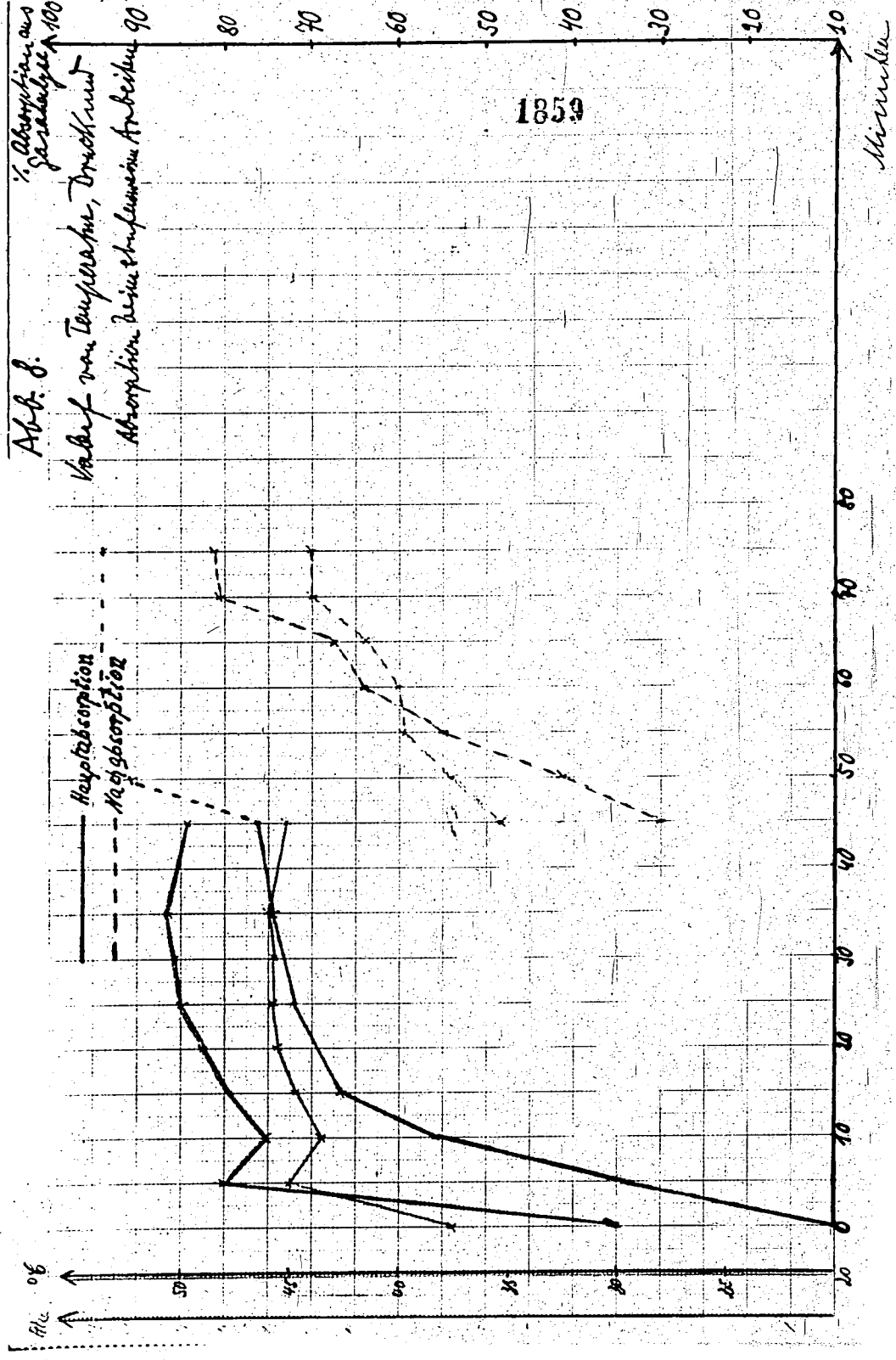
0,5

1

2

3

4 Mol. Hg. auf 1 Mol.



Verhältnis von Olefin zu Schwefelsäure  
(Massenwirkungsgesetz)

1860

Aus einer Reihe von Versuchen mit einer Schwefelsäure (75 %  $H_2SO_4$ ) bei 40° ergab sich, daß die Absorptionsgeschwindigkeit ansteigt, wenn man das Mol-Verhältnis Olefin:Schwefelsäure bis auf 1 : 3 erhöht. Ein noch größerer Überschub an  $H_2SO_4$  ergibt praktisch keine Änderung mehr (Abb. 7, Tab. 4, Nr. 5-9). Die Anwendung des Massenwirkungsgesetzes auf Gleichung (1), S. 3 läßt auch eine Steigerung des Umsatzes erwarten, wenn einer der beiden Reaktionsteilnehmer im Überschub vorhanden ist. Für einen Schwefelsäure-Überschub läßt sich die Steigerung des Olefinumsatzes ohne weitere Angabe aus den Kurven der Abb. 7 und den Versuchen 5-8 der Tab. 4 (Spalte 9a) ablesen.

Ferner wurde ein Überschub von Schwefelsäure bzw. Olefin in einem chargenweisen Betrieb benutzt, der sich an das Gegenstromprinzip anlehnt. Ein aus einer vorangegangenen ~~max~~ Absorption erhaltenes Gemisch von 74,6 Mol  $H_2SO_4$  mit 15,0 Mol Olefin wurde mit frischem Gasol, das 78,9 Mol Olefin enthielt, vermischt. Das zurückbleibende Gasol mit 18,8 Mol Olefin wurde anschließend mit 74,6 Mol (9,75 kg 75 %ige Schwefelsäure) frischer Schwefelsäure behandelt. Auf diese Weise ließ sich der Olefingehalt im gebrauchten Gasol von 40 % auf 4,2 %, entsprechend einer 93 %igen Absorption verringern.

Abb. 8 zeigt den Verlauf von prozentualer Absorption, Temperatur und Druck für ein derartiges zweistufiges Verfahren. Will man in einem einzigen Arbeitstag eine hohe Absorption erzielen, so muß man von vornherein einen Säureüberschub anwenden (Abb. 7), man kann dann aber nicht die Schwefelsäure soweitgehend ausnutzen.

Für den Versuch 8 Abb. 7 war z.B. das Verhältnis Olefin: $H_2SO_4$  im Reaktionsprodukt 1:3,9 (Tab. 4, Spalte 9b). Dieselbe Olefinabsorption wie in Versuch 8 erreichte man bei einem stufenweisen Betrieb mit zweimaliger Benutzung der Säure, bei dem aber im Endeffekt das Molverhältnis Olefin: $H_2SO_4$  nur 1:1,4 war.

Unabhängig von dem Verhältnis des angewandten Olefins zur Schwefelsäure wird bei gleichbleibender Konzentration der Schwefelsäure ein konstanter Prozentsatz des eingesetzten Olefins polymerisiert. Der Prozentsatz der Polymerisation ist nur abhängig von der Konzentration der angewandten Schwefelsäure, dagegen wird der Anteil des Olefins, der zu Alkohol umgesetzt wird, bestimmt von der angewandten Menge Schwefelsäure. (Tab. 4, Spalte 9c).

Bei dem Versuch 10 (Tab. 4) wurde nämlich ein Überschuß an Olefin angewandt. Das Molverhältnis Olefin: Schwefelsäure war im Reaktionsprodukt 1:4. Dabei war aber trotz dem schlechten Olefinaufnahme dieselbe Polymerisatmenge wie früher festzustellen. Abb. 7a zeigt, wie bei zunehmendem Olefinüberschuß der zu Ester bzw. Alkohol umgesetzte Olefinanteil sehr schnell zugunsten der Polymerisatbildung abnimmt.

Auch bei der Betrachtung aller übrigen Versuche erkennt man, daß es nicht möglich ist, den Polymerisatanteil dadurch herabzudrücken, daß man die Olefinabsorption nicht so weit treibt.

#### Einfluß der Hüttdauer auf die Alkoholausbeute III A 5

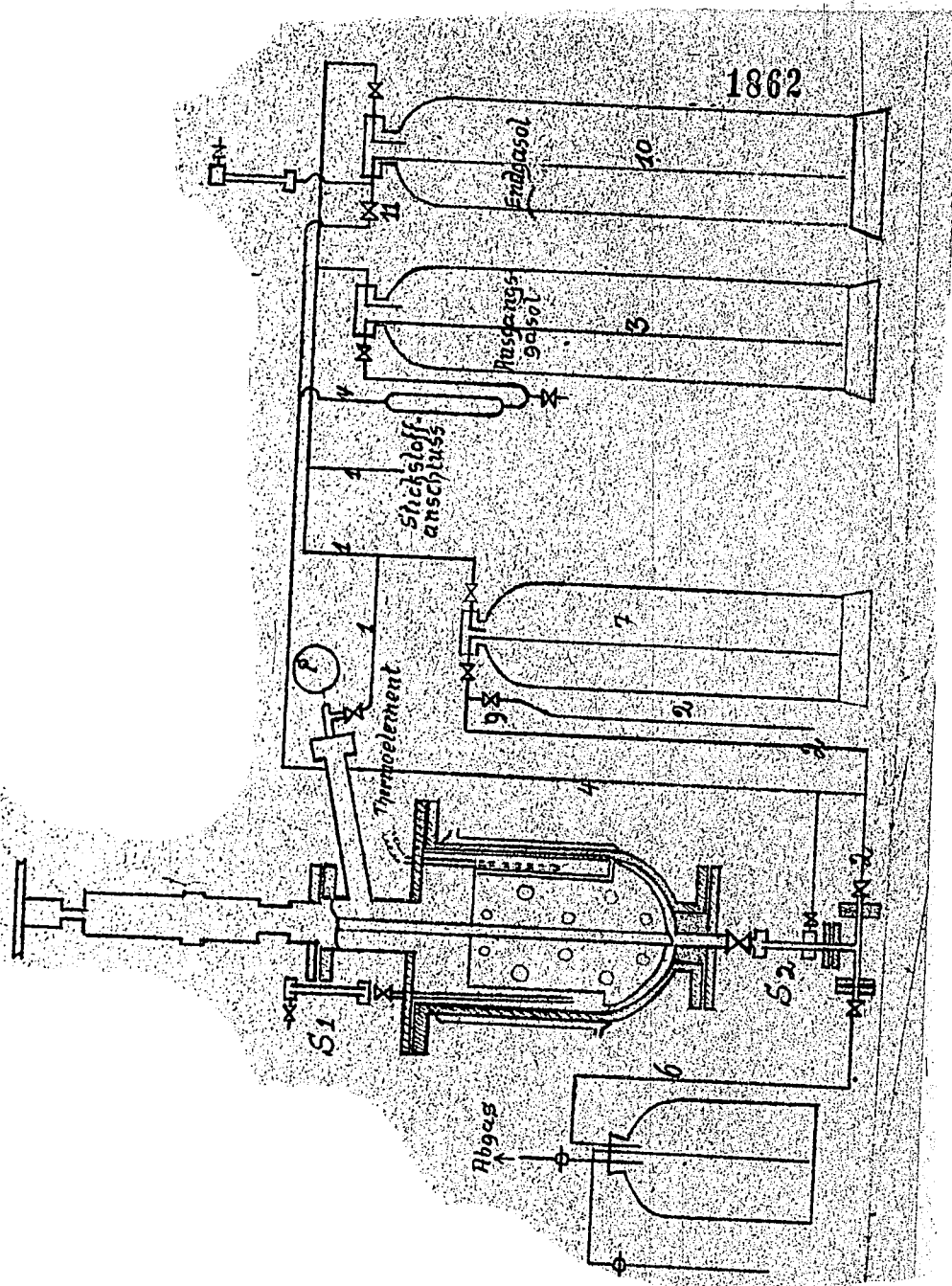
Aus Abb. 3 geht hervor, daß in den ersten 10-15 Minuten die Absorption schnell bis auf rund 80 % ansteigt. Von da ab ist die Absorptionsgeschwindigkeit sehr gering. Es wurde nun vermutet, daß in diesem zweiten Reaktionsschritt eine Polymerisation des häufiglich allein gebildeten Esters zu einer Verringerung der Alkoholausbeute führt. Zur Prüfung dieser Annahme wurde unter sonst gleichen Bedingungen einmal 60 Minuten, ein zweites Mal nur 10 Minuten gearbeitet. Die erhaltene Polymerisatmenge von 25 bzw. 23 % unterscheiden sich praktisch nicht. Eine Erhöhung der Reaktionszeit von 10x auf 60 Minuten bewirkt also keine Erhöhung des Polymerisatanteils.

#### III A 6 Versuchsbeispiel.

A Hauptabsorption: Das frische Gasol wurde aus der Flasche 3 (Abb. 8a), die auf einer Waage stand, durch die Leitung 4 mittels Stickstoff (ca. 20 atm) in den ca. 35 Liter fassenden Autoklaven gedrückt. Durch die Rotamesser 4/5 und das Schauglas S<sub>2</sub> konnte das strömende Gasol beobachtet werden. Der Autoklav enthielt schon von einem vorangegangenen Versuch teilweise mit Olefinen beladene Säure. Zur Einwirkung gelangten also in der Hauptabsorption frisches Gasol (10 kg) und schon einmal benutzte Säure (aus 10 kg Frischsäure stammend). Der Autoklav wurde durch einen Dampfmantel auf Innentemperatur von ca. 53°C geheizt und die Führung ange stellt. (Tourenzahl ca. 600 Umdr/min). Während des Versuches wurden Proben flüssigen Gasols in das Schauglas S<sub>1</sub> gezogen und auf Olefine untersucht (Silberschwefelsäure).

Bei abgestellter Heizung und ohne Kühlung im Außenmantel ~~Ring~~ <sup>atmos</sup> die Temperatur im Innern auf 50-52° an.

Nicht eingeblendet



In der Hauptabsorption wurden in einer Stunde rund 60 % der vorhandenen Olefine absorbiert. Wurde der Temperaturanstieg durch Kühlung auf 40° beschränkt, so betrug die Absorption in der gleichen Zeit rund 50 % (Abb. 1b, 1c). Nach Beendigung der Hauptabsorption wurde der fertige Ester durch die Leitung 6 in einer Vorlage abgelassen, bis die Grenzfläche Säure/gasol im Schauglas S<sub>2</sub> zu sehen war. Von den Wänden des Autoklaven allmählich nachfließender Ester wurde nach kurzen Warten auch noch abgezogen. Das aus dem Ester entweichende Gas wurde gemessen und auf seinen Olefingehalt untersucht (3-6%). Nach der Hauptabsorption enthält das im Autoklaven verbleibende Gasol noch 10-14 % Olefin und gelangt jetzt zur

b) Nachabsorption

Hierfür werden 10 kg 75%iger Säure in die Stahlflasche 7 eingesaugt und durch die Leitung 2 mit Stickstoff in den Autoklaven gedrückt. Der zu Beginn auf die Flasche 7 gegebene Überdruck beträgt ca. 5 atm gegenüber dem Druck im Autoklaven. Dan beginnt die Nachabsorption ebenfalls bei einer Innentemperatur von ca. 33°. Die Reaktion kann schon in 15 Minuten beendet sein. Der Olefingehalt des Endgasols beträgt 3-4 %. Das entspricht einer Absorption von ca. 95 % (bezogen auf den Olefingehalt des frischen Gasols).

Die zum Teil mit Olefinen beladene Säure wird wie nach der Hauptabsorption durch Leitung 6 abgelassen.

Das Endgasol wird unter dem eigenen Druck durch Leitung 4 in die Endgasolflasche 10 geschickt und gewogen. Das restliche Gas im Autoklaven wird durch eine Gasuhr entspannt und auf Olefine untersucht. Endgasol und Säure werden ~~entwogen~~ gewogen. Von dem Endgasol werden ca. 1 800 Liter durch eine Gasuhr entspannt. Das Polymerbenzin und der Rest des flüssigen Gasols werden durch ein Tauchrohr in eine Vorlage abgezogen. Nach dem Entgasen wird das Polymerbenzin gewogen. Das entweichende Gas wird durch eine Gasuhr gemessen. Der in der Nach-absorption erhaltenen Ester wird wieder durch Leitung 2 in den Autoklaven gesaugt und gelangt mit frischem Gasol zur Hauptabsorption.

Bilanzbeispiel

Gasol: 1,5 % iso C<sub>4</sub>H<sub>8</sub>      28,7 %  
27,2 % n-C<sub>4</sub>H<sub>8</sub>  
+ C<sub>3</sub>H<sub>6</sub>

A) Hauptabsorption: 1000 g Gasol = 287 g Olefine eingesetzt  
993 g olefinhaltige H<sub>2</sub>SO<sub>4</sub> (183 g Olefin)  
mit 61 % H<sub>2</sub>SO<sub>4</sub>

Aufnahme in der Säure : 99 g

als trobe abgelassenes  
Gasol + Polym. 246 + 14g: 260 g

Gasol + Polym., berech-  
net aus Stufe B (bei Stu- fe A im Autoklaven ge-  
lassen)

842 g ges.  
Restgasol  
+ Polym.,  
Stufe A

Gasproben für Analysen : 72 g  
32 l

insges. wiedergefundenes  
Restgasol : 941 g = 94 % v.Eins.

Im Restgasol enthalte-  
nes Polym. : 14 . 842 = 45 g  
260 = 16,4 %  
v.Eins.

Olefine im Restgasol : 17,7 %

B) Nachabsorption: gebrauchtes Gasol aus Stufe A + frische  
Säure

Schwefelsäureeinsatz : 995 g (75,5%ig)=  
751 g H<sub>2</sub>SO<sub>4</sub>

1865

Gesamter Gasoleinsatz Stufe B:

Zunahme in der Säure	:	83	g
Restgasol 170 l	:	582	g
Nicht stabili. Polymerisat	:	45	g
<b>Gesamter Gasoleinsatz</b>	<b>:</b>	<b>510</b>	<b>g</b>

Aus der Gasanalyse berechneter  
Olefineinsatz :  $5,10 \cdot 17,7 =$   
90,2 g

Stabilisiertes Polym. bei Stufe B abgelesen : 36 g  
Hier von in Stufe A gebildetes Polymerisat : 48 g

Allein in Stufe B gebildetes Polymerisat : —

Olefineinsatz Stufe B:

Zunahme in der Säure : 83 g = 88,6 % v. Eins.

Restgasol 170 l mit 2,8 % Olefin : 10,7 g

In Stufe B gebildetes Polym. : —

93,7 g

Gesamter Olefinumsatz nach der Gasanalyse : 86,5 %

Die Gesamtmenge des Polymerisats füllt ausschließlich in der ersten Stufe an. Bei einer einzigen Absorption mit frischer 75 %iger Säure und mit dem gleichen Gasol, daß bei dem stufenweisen Verfahren benutzt wurde, bildeten sich 23,7 % Polymerisat. Die im stufenweisen Betrieb nach dem Gegenstromprinzip gebildeten Polymerisatmengen betragen demnach rund 70 % der oben genannten Menge.

Man erzielt hier also eine ungefähr gleich große Verängerung des Polymerbenzins wie bei der Vorabsorption des Iso-Butylens mit 65 %iger Säure(vgl. Seite 11).

### III A 7 Verfolgung der Reaktion.

Bei der Umsetzung des Gasols mit der Schwefelsäure wird ein Teil des Olefins polymerisiert, ein Teil von der Schwefelsäure aufgenommen, der Rest bleibt unverändert. Es ändern sich also während der Reaktion: a) der Olefin-gehalt des Restgasols, b) die Dichte der Säureschicht, c) die Konzentration der Schwefelsäure. Eine direkte oder indirekte Bestimmung dieser Größen gestattet daher eine Kontrolle des Reaktionsverlaufs.

a) Der jeweilige Olefingehalt des Restgasols wird gas-analytisch bestimmt ( vgl. Abschnitt II A 2, Seite 4 ). Es lässt sich dann aus dem Olefingehalt  $p_t$  zur Zeit t und dem Olefingehalt  $p_0$  am Anfang die durch Gleichung 6a definierte prozentuale Absorption  $A_t$  berechnet:

$$(6a) \quad A_t = \frac{\text{eingesetztes Olefin zur Zeit } t}{\text{eingesetztes Olefin}} \cdot 100 \text{ (Prozent)}$$

$$(6b) \quad A_t = \frac{p_0 - p_t}{p_0} \cdot \frac{1}{100-p_t} \cdot 10.000 \text{ (Prozent)}$$

Die prozentuale Absorption gibt also an, wieviel Prozent vom eingesetzten Olefin verschwunden sind, ohne Rücksicht darauf, ob sich daraus Ester oder Polymerisat gebildet hat.

HU 388

Yield von Rohr und Olfingehalt

Plt. 8b

1867

%Olefins

25

20

15

10

5

0

(1) Abgangskurve nach Tschirnholz  
(2) Abgangskurve nach Tschirnholz  
zu 1953 bestimmt

1.35 1.40 1.45 1.50 1.55 1.60 1.65 1.70  
Vidh 20.4 d. 10

b) Die Dichte der Säureschicht nimmt mit zunehmendem Olefingehalt ab.  
Es besteht eine lineare Beziehung zwischen Dichte und Olefingehalt der Säureschicht:

(7)  $p = -75,3 \cdot d_{20} + 125,6$

$p$  = Gew.% Olefin in der Säureschicht

$d_{20}$  = Dichte der Säureschicht bei 20°

Abbildung 8b zeigt die der Gleichung(7) entsprechende Grade. Unterhalb eines Olefingehalts von 15 % zeigen die Meßpunkte starke Streuung. Bei einem Olefingehalt von 20 %, der für die Praxis hauptsächlich interessiert, beträgt die Abweichung der Meßpunkte von den nach Gleichung (7) berechneten Werten  $\pm 5\%$ . Es spielt hierbei keine Rolle, ob die zur Absorption benutzte Säure 75% ig oder 78,5% ig war. Die Dichten wurden 3-5 min. nach dem Ablassen des Esters bestimmt. Die im Laufe einer Stunde eintretenden Dichteänderungen beschränkten sich in den meisten Fällen auf die dritte Dezimale.

c) die Konzentration der Schwefelsäure in der Säureschicht nimmt während der Reaktion ab. Diese Abnahme hat zwei Ursachen:

1) ein Teil der anfänglich vorhandenen Schwefelsäure wird als Ester gebunden, 2.) das Gesamtgewicht der Säureschicht nimmt um das Gewicht des aufgenommenen Olefins zu. Will man erfahren, wieviel Olefin in die Schwefelsäureschicht aufgenommen wurde, so muß man die Konzentration des gesamten  $\text{SO}_4^-$ , berechnet als  $\text{H}_2\text{SO}_4$  ( $P_t$ ), ermitteln; das geschieht durch Sauretitration nach Verseifung des Esters.

Bezeichnet man den Prozentgehalt der eingesetzten Schwefelsäure mit  $P_0$ , den Prozentgehalt an Olefin in der Säureschicht mit  $P_{\text{C}_n\text{H}_{2n}}$ , so ist:

$$(7a) \quad P_{\text{C}_n\text{H}_{2n}} = 100 \cdot \frac{P_0 - P_t}{P_0} \quad (\text{Prozent})$$

Es ist also möglich, den Oleingehalt der Säureschicht aus zwei Schwefelsäurebestimmungen zu berechnen. Mit den gleichen Daten kann man auch berechnen, wieviel Gramm Olefin ( $\text{C}_n\text{H}_{2n}$ ) von 100 g eingesetzter verdünnter Säure aufgenommen wurden. Die eine Gleichung ist aus der anderen abzuleiten.

$$(7b) \quad \text{C}_n\text{H}_{2n} = 100 \cdot \frac{P_0 - P_t}{P_t} \quad (\text{Gramm})$$

#### Zahlenbeispiel:

$P_0 = 75,9$  % (Prozentgehalt der eingesetzten Schwefelsäure)

$P_t = 64,6$  % (nach Verseifung berechneter Prozentgehalt an  $\text{H}_2\text{SO}_4$  in der Säureschicht, berechnet aus dem insgesamt vorhandenen  $\text{SO}_4^-$ ).

$$(7a) \quad \text{C}_n\text{H}_{2n} = 100 \cdot \frac{75,9 - 64,6}{75,9} = 14,9 \quad \% \text{ Olefin in der Säureschicht}$$

Bei der Gewichtszunahme wurde der Wert 15,0 gefunden.

$$(7b) \quad \text{C}_n\text{H}_{2n} = 100 \cdot \frac{75,9 - 64,6}{64,6} = 70,5 \quad \text{g Olefin wurden von} \\ 100 \quad \text{g } 75,9 \quad \% \text{iger Schwefelsäure} \\ \text{aufgenommen.}$$

Nach der Gewichtszunahme berechnete sich eine Aufnahme von 77,7 g.

#### III A 8 Verwendung von Katalysatoren

In der Literatur wird eine große Anzahl von Katalysatoren angegeben, die die Anlagerung von Olefin an Schwefelsäure unter Zurückdrängung der Polymerisation beschleunigen sollen<sup>1b</sup>.

In Versuchen mit gasförmigem Gasol wurde der Einfluß folgender Zusätze ausprobiert: Myrogel,  $\text{FeCl}_3$ ,  $\text{Al}_2\text{O}_3$

1870

Pyrogallol,  $\text{MnCl}_2$ ,  $\text{AgNO}_3$ , Schwerbenzin 8), 10), Glyzerin. Nur Pyrogallol ergab eine geringe Steigerung der Absorptionsgeschwindigkeit. Gleichzeitig war der Polymerisatanteil etwas vermindert (Tab.5). Die übrigen Zusätze liefern bei verschiedenen Absorptionsgeschwindigkeiten immer den gleichen Anteil an Polymerisat von rund 61, % der Gesamtaufnahme. Die geringe Reaktionsgeschwindigkeit der glycerinhaltigen Mischung findet ihre Erklärung in der schon aperlich sichtbaren, stark erhöhten Viskosität der Flüssigkeit. Eine Steigerung der Absorptionsgeschwindigkeit auf rund das Doppelte konnte erreicht werden, wenn man auf 50 cm<sup>3</sup> 87 %iger Schwefelsäure 5 Tropfen eines Katalysators (Kraestabitol KAT der Chem. Fabrik Stockhausen u. Sie.) zusetzte.

Versuche mit Silbersulfathaltiger 76 %iger Schwefelsäure und flüssigem Gasol bei Zimmertemperatur in einer Bombe zeigten keinen merklichen Einfluß des Zusatzes. 6

Genauere Angaben lassen sich wegen der ungenügenden Temperaturkonstanz bei den damaligen Versuchen nicht machen.

Der Einfluß der physikalischen Beschaffenheit (Viskosität, Oberflächenspannung) der Lösung auf die Absorptionsgeschwindigkeit ist neben dem des Mührens ein weiterer experimenteller Beweis dafür, daß der Transport des Olefins zu den Schwefelsäureteilchen der Geschwindigkeitsbestimmende Vorgang ist. Daraus ergibt sich, daß ein Zusatz von Katalysatoren dann vorteilhaft sein kann, wenn durch Mühren keine weitere Vergrößerung der Gasengrenzfläche zu erreichen ist.

In Übereinstimmung mit den gefundenen Ergebnissen stehen auch die Angaben von H. D. Davis u. ... Wiggle<sup>14)</sup>, die bei Propylen nur eine geringe Steigerung der Absorptionsgeschwindigkeit durch Zusätze feststellen konnten.

Eine hinreichend große Absorptionsgeschwindigkeit kann man auch durch Mischungen von Schwefelsäure und Eisessig erreichen. Hierbei bilden sich außer den Schwefelsäureestern noch die Acetate<sup>20,9)</sup>.

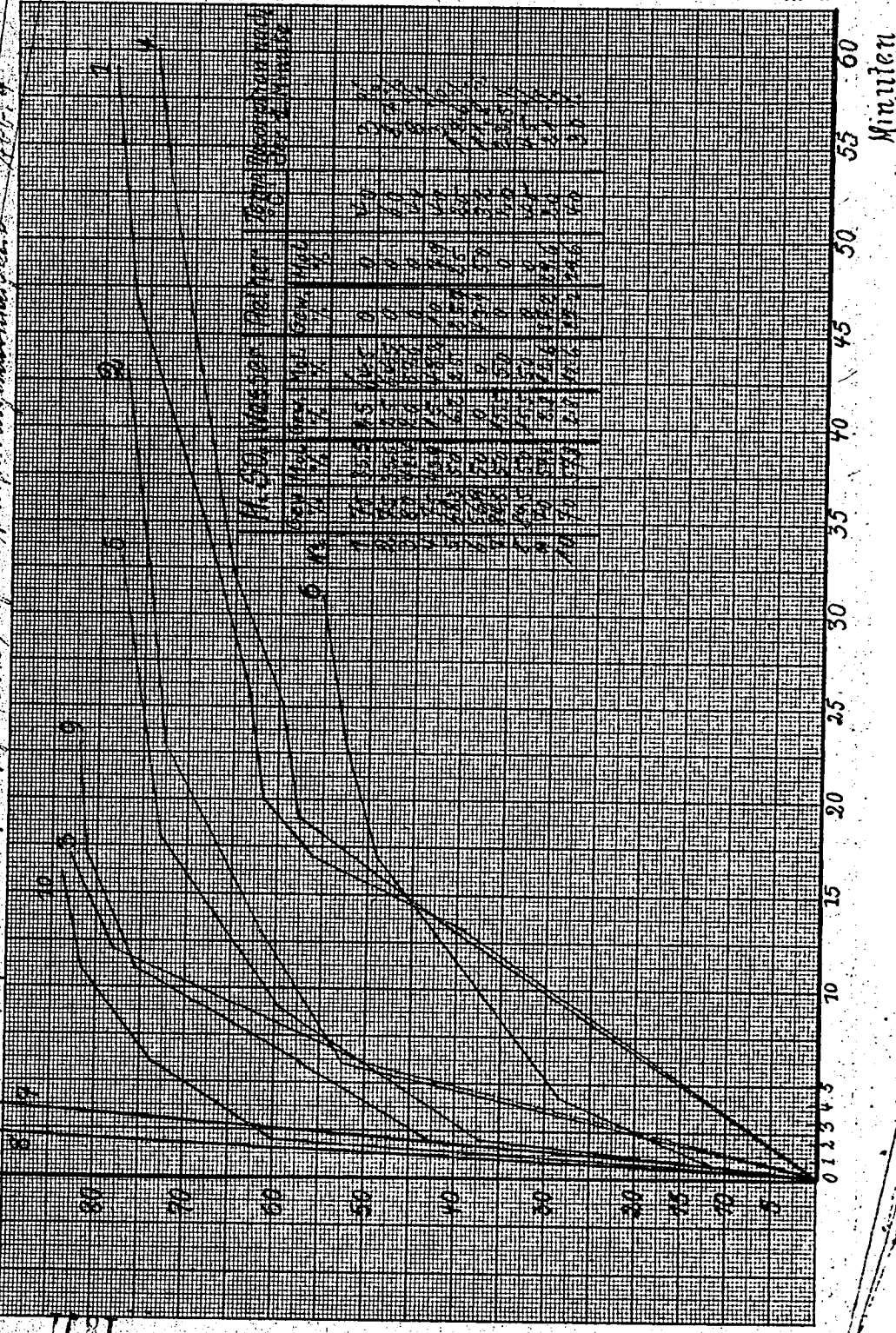
Tabelle 5: Einfluß v. Zusätzen zur  $\text{H}_2\text{SO}_4$  auf die prozentuale Verteilung des Olefinumsatzes auf Ester- und Polymerisatbildung. (87%ige  $\text{H}_2\text{SO}_4$ ) (Prozentgehalt des Zusatzes bezogen auf reine  $\text{H}_2\text{SO}_4$ ).

Zusatz	$\text{g}/100 \text{g}$ reine $\text{H}_2\text{SO}_4$	Prozent der Gesamtaufnahme Gesamtaufnahme n. <sup>4</sup>	Prozent der Gesamtaufnahme in d. Säure als Polymerisat 50 Std.
0,5 Pyrogallol	60 g	63	37
	53 g	57	43
1,0 $\text{MnCl}_2$	92 g	40	60
1,0 $\text{AgNO}_3$	86 g	37	63
17,5 Schwerbi	113 g	59	61
31,0 Glyzerin	27 g	37	63

Diphenylaminophenol  
Amid für ein Reagens zur photoaffinen Phosphorungskatalyse

H.P. H.

N. 388



1681

Zur Feststellung des Einflusses von Netzmitteln auf die Absorptionsgeschwindigkeit wurden zunächst orientierende Versuche mit gasförmigem Gasol und 75%iger Schwefelsäure in einer Schottischen Frittenwaschflasche bei 40° unternommen. Geprüft wurden: Praestabil V, Prnestabil G (0,1 % Zusatz; Chemische Fabrik Stockhausen) und Fewa (0,3 % Zusatz). Die Praestabilöle zeigten nur geringe Schaumbildung, die Netzmittel schwammen als ölige Tröpfchen in der Säure. Bei Zusatz von Fewa war anfänglich starke Schaumbildung zu beobachten, die aber nach einer Stunde nachließ.

Die größte Gewichtszunahme wurde bei Verwendung von Fewa gefunden, sie betrug das 5 fache einer Säure ohne Zusatz.

Im Anschluß an diese Versuche wurde ein Versuch im Autoklaven mit flüssigem Gasol durchgeführt. Es zeigte sich jedoch jetzt, daß mit einem Zusatz von 0,3 % Fewa zur 75 %igen Schwefelsäure die gleiche Absorptionsrate erhalten wurde wie mit zusätzlicher Säure. Auffallend war, daß der Ester beim Ablassen aus dem Autoklaven keinen Schaum bildete.

### III B

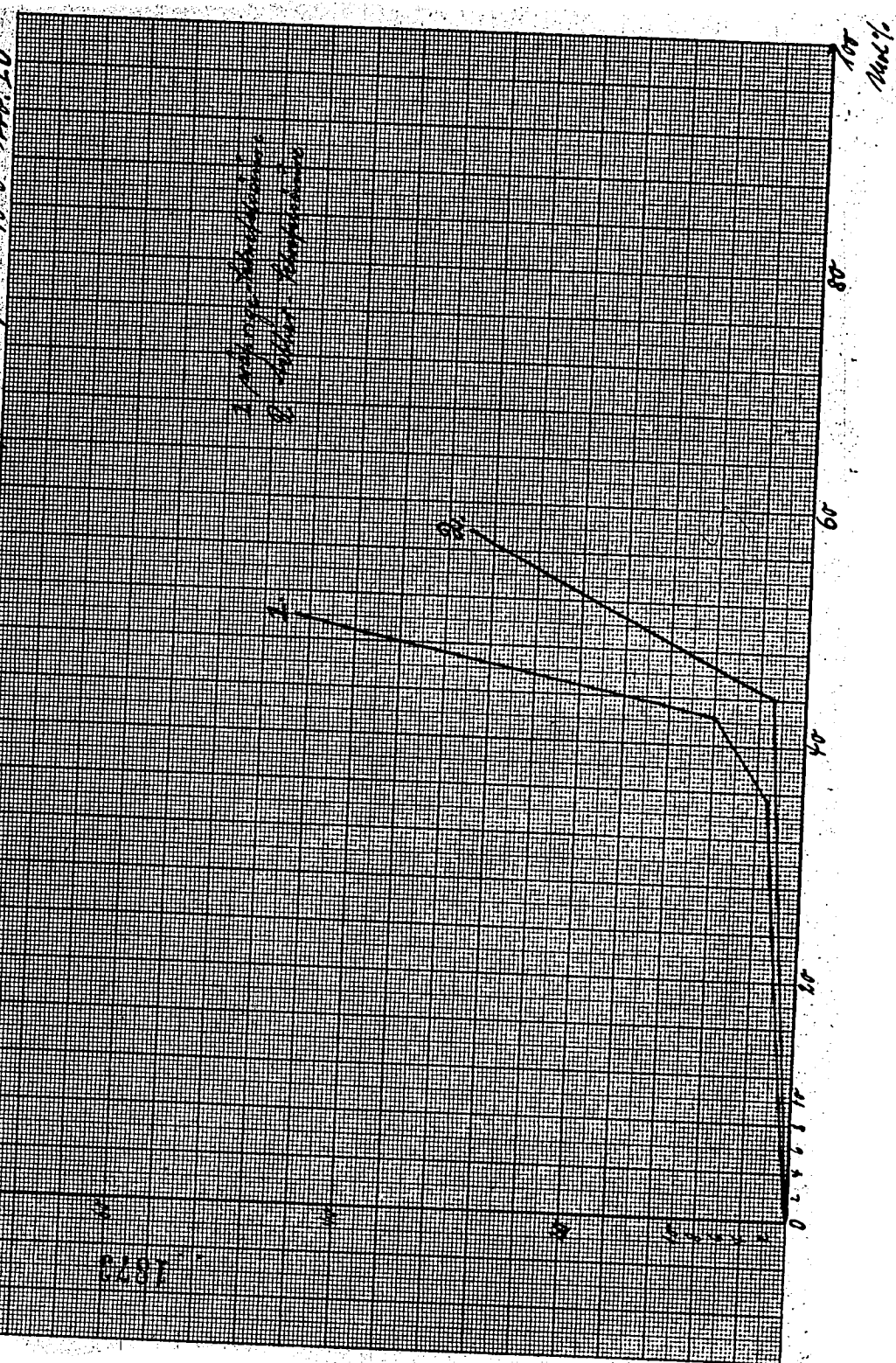
#### Absorption in Mischungen aus Schwefelsäure und Äther.

Athyläther lässt sich in Schwefelsäure unter Bildung von Oxoniumsalzen aus Viskositätsmessungen am System  $H_2SO_4 - (C_2H_5)_2O$  schloß L.Sabatini<sup>16a</sup> auf die Bildung eines Konoätherats  $H_2SO_4 \cdot (C_2H_5)_2O$ . Die Bildungswärme für die Verbindung beträgt 6,83 <sup>16b</sup> cal., für das Monohydrat der Schwefelsäure 6,38 Cal., aus der hohen Wärmetönung ergibt sich die Stabilität des Ätherats. Es war daher nicht anzunehmen, daß bei Absorptionsversuchen der Äther durch Gasol oder Polymerisat aus der Schwefelsäure herausgelöst würde. Es wurden bei solchen Versuchen auch tatsächlich 90 - 100% des eingesetzten Äthers durch Aufarbeitung in der Schwefelsäure wiedergefunden.

Die kurz als Ätherschwefelsäure bezeichneten homogenen Mischungen absorbieren die Olefine schneller, als wässrige Schwefelsäuren mit gleichem Gehalt an  $H_2SO_4$  in Gew.%. In Abbildung 9 ist die prozentuale Absorption  $A_t$  als Funktion der Rührzeit dargestellt. Die aus Oleinbestimmungen berechneten Absorptionswerte sind aber nicht ohne weiteres ein Maß für den Umsatz in Richtung der Esterbildung, da der Oleingehalt auch durch Polymerisation ansteigt. Eine zuverlässige Beurteilung der Ergebnisse ist daher nur dann möglich, wenn man die Absorptionsgeschwindigkeit im Zusammenhang mit der Ausbeute an Ester bzw. Alkohol betrachtet.

17. IV. 1962

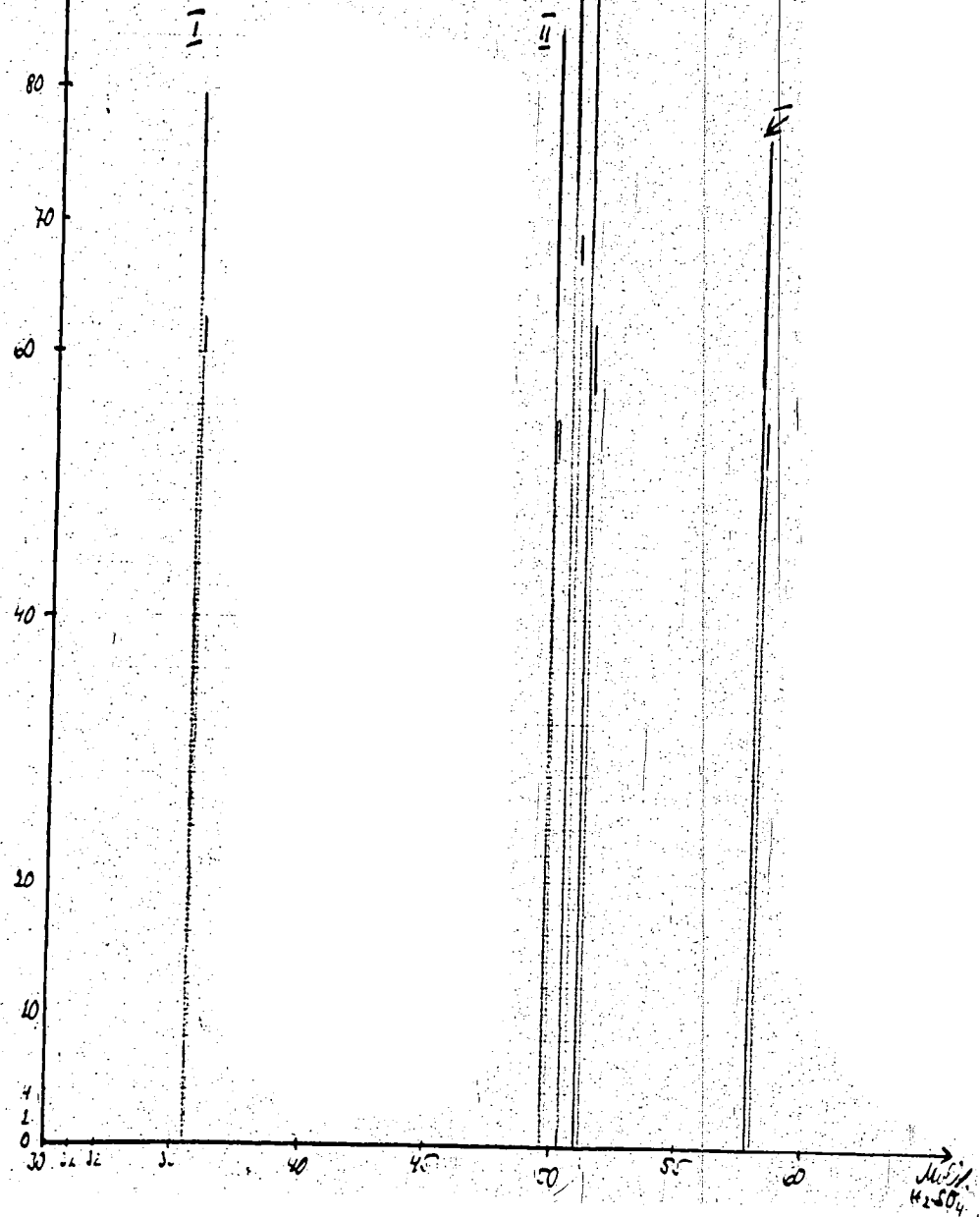
Frühling der Krebszährentnahmen auf die Mortalität im Jahr 1960



1874. ++ 1874. - - - -

n.	H <sub>2</sub> SO <sub>4</sub>	Wasser			Taus	06
		durchg. 1000	durchg. 1000	durchg. 1000		
I	35,5	35	64,5	25	0	0
II	50	68,1	25	6,2	25	25,7
III	53,1	85,1	48,9	14,9	0	0
IV	"	"	"	"	0	0
V	57,8	70,0	12,8	2,8	29,6	24,3

1874



Eine Gegenüberstellung der Kurven 10 u. 1 (Abb. 9) zeigt deutlich, daß eine Säure, die sogar nur 70 %  $H_2SO_4$ , aber noch rund 27 % Äthyläther und als Rest Wasser enthält, Olefin viel schneller absorbiert als 75 %ige wässrige Schwefelsäure. Bei beiden Versuchen betrug die Anfangstemperatur 40°. Selbst bei einer Anfangstemperatur von 20° ist die genannte Ätherschwefelsäure einer 75 %igen wässrigen Schwefelsäure, die bei 60° zur Absorption benutzt wurde, deutlich überlegen. (Kurve 9 u. Kurve 2). Eine 75 %ige wässrige Schwefelsäure mit rund 10 % Äther (Kurve 4) unterscheidet sich in der Absorptionsgeschwindigkeit praktisch nicht von einer wässrigen Säure gleicher Konzentration. Bei einer 80 %igen Säure dagegen bewirkt ein Gehalt von rund 10 Gew.% Äthyläther noch eine Steigerung der Absorptionsgeschwindigkeit. So absorbierte diese Säure bei 20° in 30 min. 5 x soviel Olefin als eine wässrige 80 %ige Schwefelsäure. Legt man jedoch bei einem Vergleich der Reaktionsgeschwindigkeiten die in Molprozenten ausgedrückte  $H_2SO_4$ -Konzentration zu Grunde, so ergibt sich, daß die wässrigen Schwefelsäuren den ätherhaltigen Mischungen überlegen sind (Abb. 10). Ein Versuch mit einer wasserfreien Mischung aus je 50 Molprozent  $H_2SO_4$  und Äther (Kurve 6 Abb. 9) bei 32° ergab eine geringere Anfangsabsorption als eine wasserhaltige Ätherschwefelsäure bei 20°, die ebenfalls 50 Molprozent  $H_2SO_4$  enthielt (Kurve 7 Abb. 9). Außerdem war im ersten Falle die Endabsorption ungewöhnlich niedrig. Die Anwesenheit von genügend Wasser ist also für eine große Reaktionsgeschwindigkeit und für einen großen Umsatz unbedingt erforderlich. In den Versuchen 16-19 (Tabelle 4) betrug die in der Säure vorhandene Wassermenge nur 40-60 % derjenigen Menge, die zur Hydratation des aufgenommenen Olefins notwendig war. Bei Versuch 15 (Tab. 4) waren dagegen 95 % des erforderlichen Wassers vorhanden. Dieser Versuch zeigt daher von allen mit Ätherschwefelsäure bei 20° durchgeführten Versuchen die größte Reaktionsgeschwindigkeit. Mischungen mit einem hohen Gehalt an  $H_2SO_4$  (z.B. 95%ige  $H_2SO_4$ ) zeigen auch trotz des geringen Wassergehaltes große Reaktionsgeschwindigkeit und hohe Olefinabsorption. Hinsichtlich der Polymerisatmengen unterscheiden sich wasserhaltige und ätherhaltige Säuren mit gleichem Molprozentgehalt an  $H_2SO_4$  nicht wesentlich (Abb. 11).

Besonders große Polymerisatmengen treten bei Verwendung von wässriger und auch von ätherischer Schwefelsäure auf, wenn das Restgasöl vor dem Entspannen längere Zeit steht (Abb. — Versuch 15 Spalte 1). In diesen Fällen ist auch der Schwefelgehalt des Polymerisats stark erhöht. Ätherhaltige Schwefelsäuren neigen stärker zur  $SO_2$ -Bildung als wässrige Säuren.

1876

Die Verwendung von Atherschwefelsäuren bietet demnach keine Vorteile gegenüber wässrigen Schwefelsäuren, da sich mit beiden Mischungen die gleichen Ergebnisse erzielen lassen, wenn sie nur den gleichen Mol-%-gehalt an  $H_2SO_4$  besitzen.

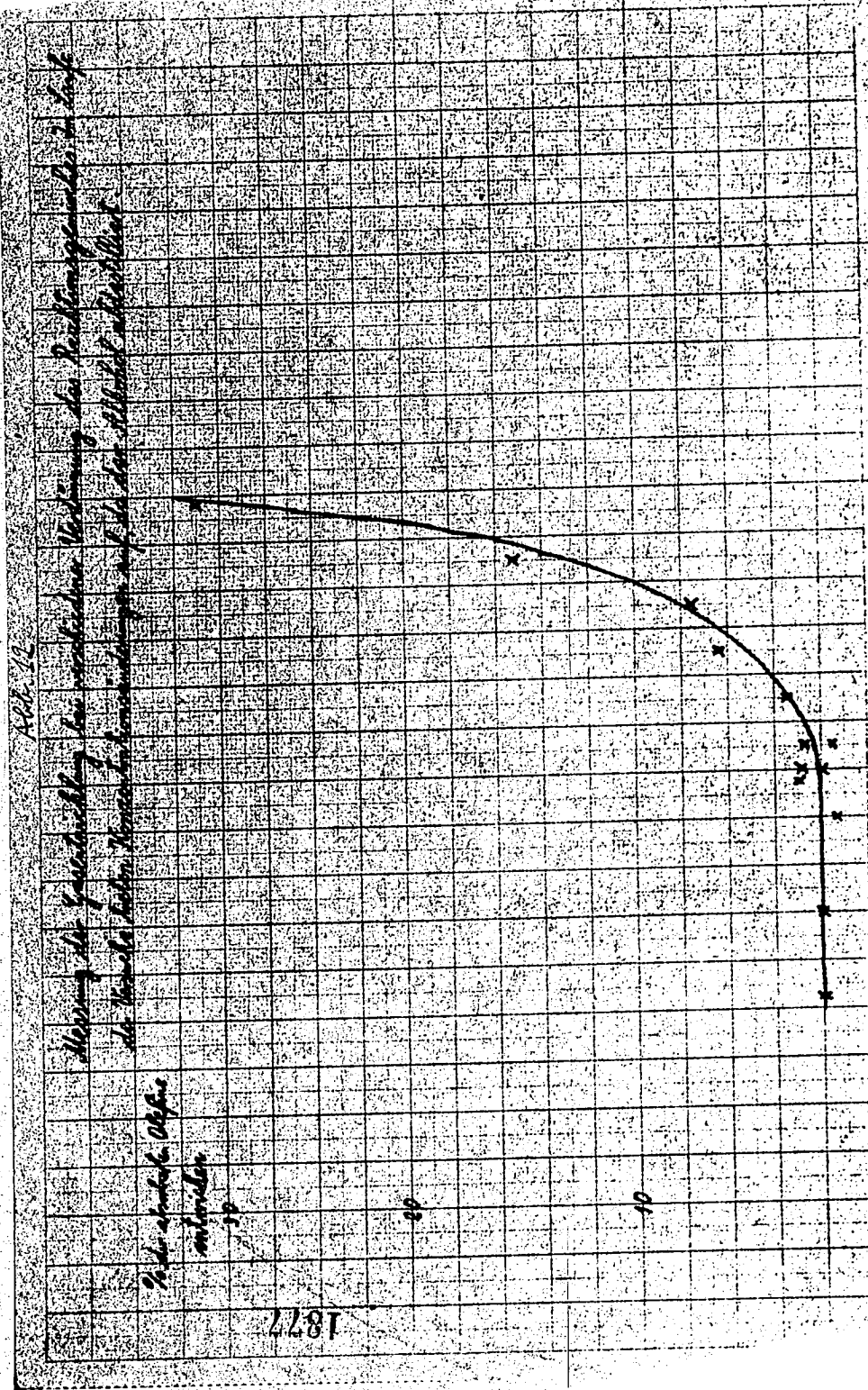
50% R.S.R. ( $R = H - \text{diff}$ )

40

30

20

10



1181

### III B Aufarbeitung.

#### Aufarbeitung des Reaktionsproduktes (Ausbeutebestimmung).

##### Zusammensetzung und Aufarbeitungsmethoden

Nach dem Ablösen des Gasols mit Schwefelsäure im Autoklaven trennt sich das Reaktionsgemisch in zwei Schichten. Die obere Schicht, die aus dem Kostgasol und der Hauptmenge des gebildeten Polymerbenzins besteht, wird abgetrennt. Das nach Abdampfen des Gasols zurückbleibende Polymerbenzin wird <sup>durch</sup> Kochen mit verd. NaOH am Rückflußkühlrohr entwässert und vom gelösten Gasol befreit. (vergl. dazu auch Kochen mit verd.  $H_2SO_4$  weiter unten).

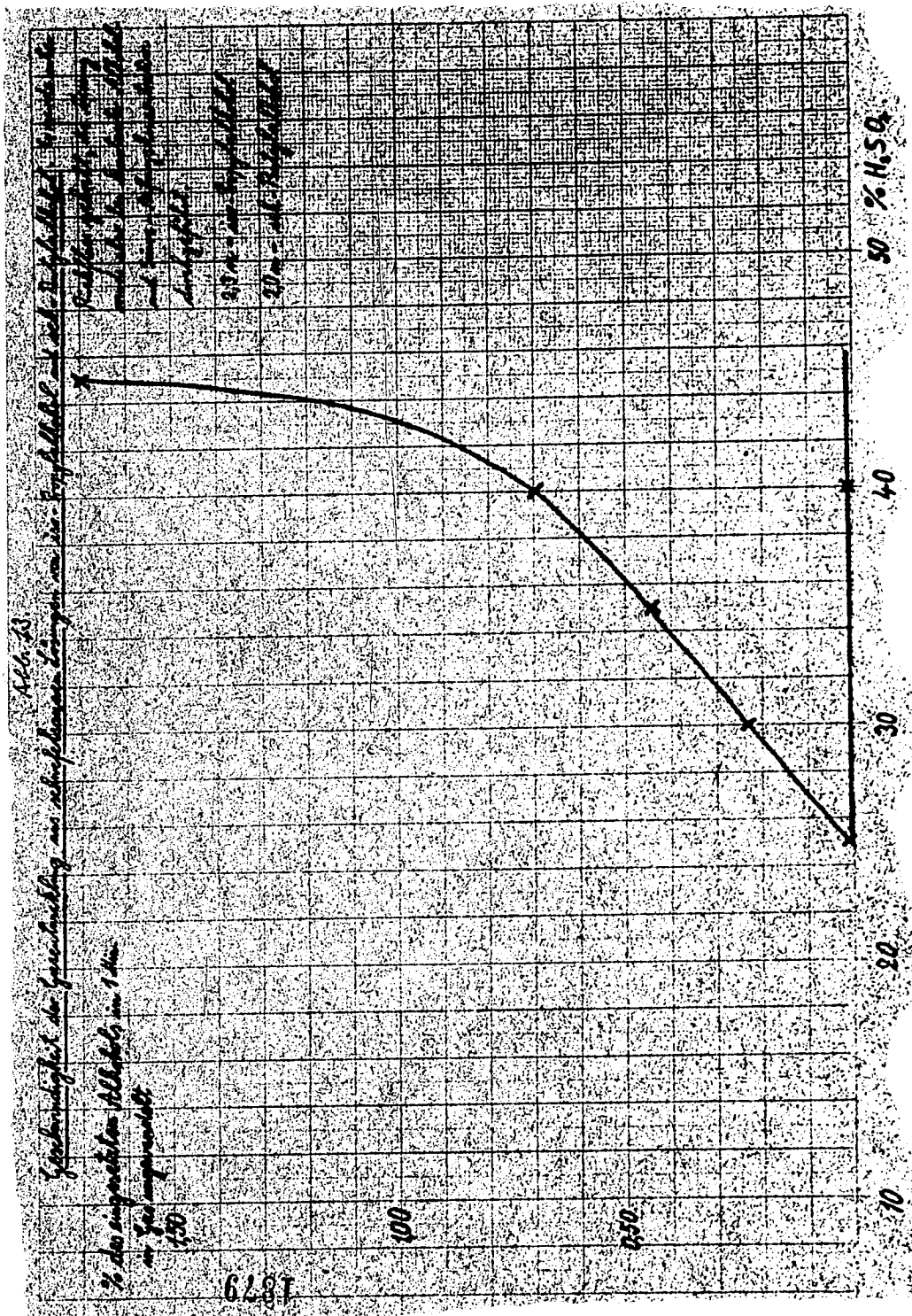
Die untere Schicht ist ein homogenes Gemisch aus Schwefelsäure, schwefelsäureestern, Alkoholen, Wasser und Polymerbenzin. Es sind verschiedene Wege zu ihrer Aufarbeitung bekannt. Man kann erstens die Alkohole aus der mit Wasser verührten, sauren oder alkalischen Lösung, allein oder unter Zusatz von leichtflüchtigen, organischen Verbindungen, die mit den Alkoholen ein azeotropes Gemisch geben, herausdestillieren. Zweitens ist es möglich, die Alkohole mit schwerflüchtigen, organischen Lösungsmitteln unter Zusatz der eben zur Verstärkung nötigen Wassermengen zu extrahieren und aus dem Lösungsmittel den Alkohol durch Destillation zu gewinnen.

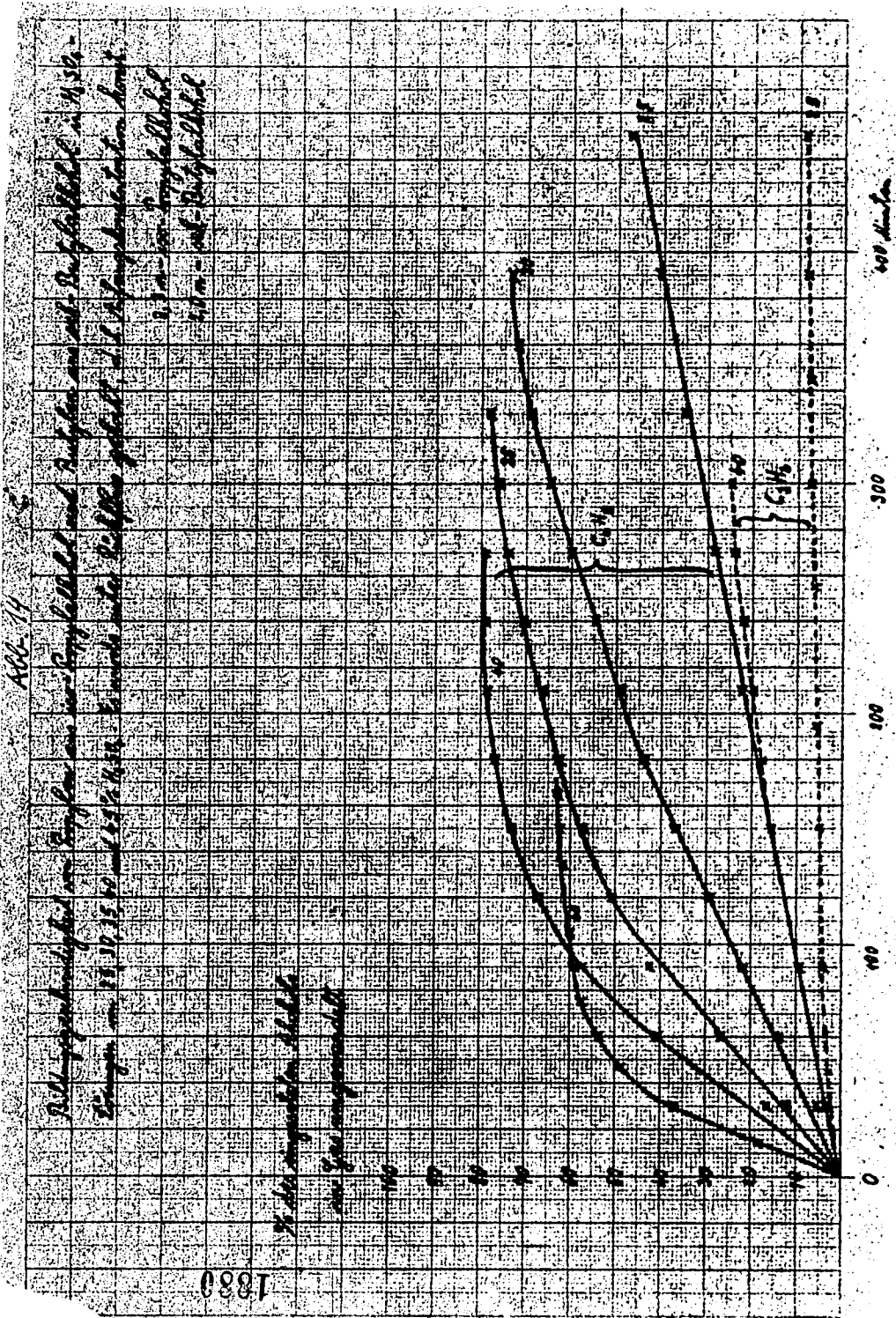
(P. 799 704, 1936).

#### III B 1a) Destillation aus saurer Lösung.

Eine direkte Destillation des Alkohols aus dem unverdünnten Reaktionsgemisch ist weder bei Normaldruck noch im Vacuum möglich, da sich dann das in die Schwefelsäure angelagerte Olefin wieder abspaltet. Das Gleichgewicht (1).  $C_nH_{2n} + H_2SO_4 = C_nH_{2n+1}OSO_3H$ , das diesen Vorgang wiedergibt, verschiebt sich also bei steigender Temperatur rasch nach der linken Seite. Die Olefinabspaltung aus dem Reaktionsgemisch fällt nun mit der Herabsetzung der Schwefelsäurekonzentration auf 30%  $H_2SO_4$  sehr rasch ab. Eine weitere Verdünnung hat, wie Abb. 1 zeigt, nur geringen Einfluß. Diese Abhängigkeit der Olefinabspaltung von der Konzentration lässt sich aus der Beziehung von Gleichgewicht (1) zu Gleichgewicht (2).

$C_nH_{2n+1}OSO_3H + H_2O = C_nH_{2n+1}OH + H_2SO_4$  erklären. Durch Erhöhung der Schwefelsäurekonzentration wird die Esterbildung begünstigt und dadurch wieder die Aufspaltung des Esters in Olefin und Säure. Bei der Schwefelsäurekonzentration von 20-30%  $H_2SO_4$  im verdünnten Reaktionsgemisch und 80-100° beträgt die Olefinabspaltung nur





1880

noch 1-2 % des Olefins, das im Reaktionsgemisch enthalten ist, wenn man das Reaktionsgemisch nicht länger als eine Stunde im Sieden hält. Je länger man kocht, desto größer ist der Prozentgehalt des abgespaltenen Olefins. So kann z.B. aus einem verdünnten Reaktionsgemisch, das 20 %  $H_2SO_4$ , also sehr verdünnte Säure, und 9,2 % Olefin enthielt, durch siebenstündiges Kochen unter Rückfluss 9,4 % des anfänglich vorhandenen Olefins abgespalten werden. Die Geschwindigkeit der Abspaltung von Propylen und Butylen aus 2n-Alkohollösung verschiedener Schwefelsäurekonzentration ist in den Abb. 13 u. 14 dargestellt. Es ist daraus ersichtlich, daß die Abspaltungsgeschwindigkeit des Propylenes bedeutend geringer ist, als die des Butylenes.

Beim der Gasabspaltung findet immer noch Polymerisation statt, (vergl. S. 7) die umso schneller verläuft, je höher die Säurekonzentration ist. Das rasche Umsetzen der Geschwindigkeitskurven der Butylenabspaltung in die Parallele zur Abszisse führt nicht nur von der durch das Entweichen des Olefins hervorgerufenen Konzentrationsabnahme, sondern auch von der Olefinabnahme durch Polymeratbildung her. Beim Propylen ist die Polymerisatbildung viel geringer.

Die für die Verseifung geltende Gleichgewichtskonstante bei 20°

$$K_n = \frac{(C_{n-2}H_{2n+1}OH) (H_2SO_4)}{(C_{n-2}H_{2n+1}OSO_3H) (H_2O)}$$

liegt nach orientierenden Messungen

für Isopropylalkohol bei etwa 40, für sek.-Butylalkohol bei etwa 1,5. Das bedeutet, daß in einem Gemisch von 1 Mol Isopropylalkohol, ein Mol sek.-Butylalkohol und zwei Mol  $H_2SO_4$  der Isopropylalkohol nur zu ungefähr 76, der sek.-Butylalkohol nahezu zur Hälfte als Ester vorliegt. (vergl. die damit übereinstimmenden Angaben von Tschuktin, Jouben u. L. 2, 541). Eine Berechnung des Estergehaltes aus der Differenz der Titration eines ähnlich zusammengesetzten Reaktionsgemisches (etwa 1 Mol Isopropylalkohol, 1 Mol sek.-Butylalkohol und 2 Mol  $H_2SO_4$  als 75 %ige Säure) vor und nach der Verseifung ergab z.B., daß 27 % des Gesamtalkohols verrostet waren.

Die Bestimmung des Schwefelsäureesters im Reaktionsgemisch durch Titration wird wie folgt durchgeführt: Man macht zwei Einwaagen von etwa 0,05 g Reaktionsgemisch. Beide Einwaagen verdünnt man mit Wasser und titriert die eine sofort gegen Zethylorange. Die zweite verdünnte Lösung wird in einem offenen Recherglas eine halbe Stunde lang gekocht, sodaß der Alkohol abdampfen kann.

Der Rückstand wird vorstehend titriert. Es ist dann:

$2 \times$  (Prozent  $H_2SO_4$  nach dem Kochen - Prozent  $H_2SO_4$  vor dem Kochen) = Prozent der zu Monoester veresterten Schwefelsäure.

Zu die Vornetzung der vorliegenden Schwefelsäuremonoester in der Kälte nur langsam erfolgt, wird bei der Titration der kalten Lösung nur die unveresterte Säure erfaßt.

Praktisch wird nun vor der Destillation das Reaktionsgemisch bis auf 20-30%  $H_2SO_4$  mit Wasser verdünnt. Dabei wird, wie üblich, die Säure in Wasser gegossen. Verfährt man umgekehrt, so kann sich durch die Hydratationswärme bei der zu Beginn noch hohen Säurekonzentration olefin abspalten.

Nach dem Verdünnen bildet sich auf dem Reaktionsgemisch eine Schicht, die hauptsächlich aus Polymerbenzin besteht. Daneben enthält sie noch Alkohole, die mit Wasser ausgewaschen werden können. Es ist jedoch hervorzuheben, daß sich weder der Isopropyl- noch der sek.-butylalkohol zwischen Wasser und Polymerbenzin in einem einzigen Verhältnis aufteilt. Vielmehr ändert sich der Verteilungsquotient der beiden Alkohole mit ihrer Konzentration in der wässrigen Phase, wie nachstehende Tabelle zeigt:

Tab. 6

Alkohol in Konzentration des Verteilungs-  
der wässrige Alkohole in der Quotient  
gen Phasen Benzins-Wasser-  
schicht

		10	20	30	
a) iso-Propyl-alkohol	10	0,0	10		
	20	1,2	18,8		1:16
	30	5	25		1:5
b) sek.-Butyl-alkohol	2	0,0	2		
	5	2	5		1:10
	10	15,6	7,7		2:1

Das ursprüngliche Reaktionsgemisch enthält 2-3% Polymerbenzin, von denen sich bestenfalls Dreiviertel durch das Verdünnen abscheiden lassen. Der Rest bleibt im unverdünnten Reaktionsgemisch gelöst und geht dann bei der Destillation mit den Alkoholen über, in denen er nach dem Trocknen 7-10% beträgt (Näheres siehe spezieller Teil über Löslichkeit).

Sobald sich das Polymerbenzin abgeschieden hat und abgetrennt ist, wird das verdünnte Reaktionsgemisch destilliert. Bei 70° gehen die ersten noch benzinhaltigen Anteile über. (Näheres hierüber siehe im Abschnitt über Herstellung der Alkohole, S. 40).

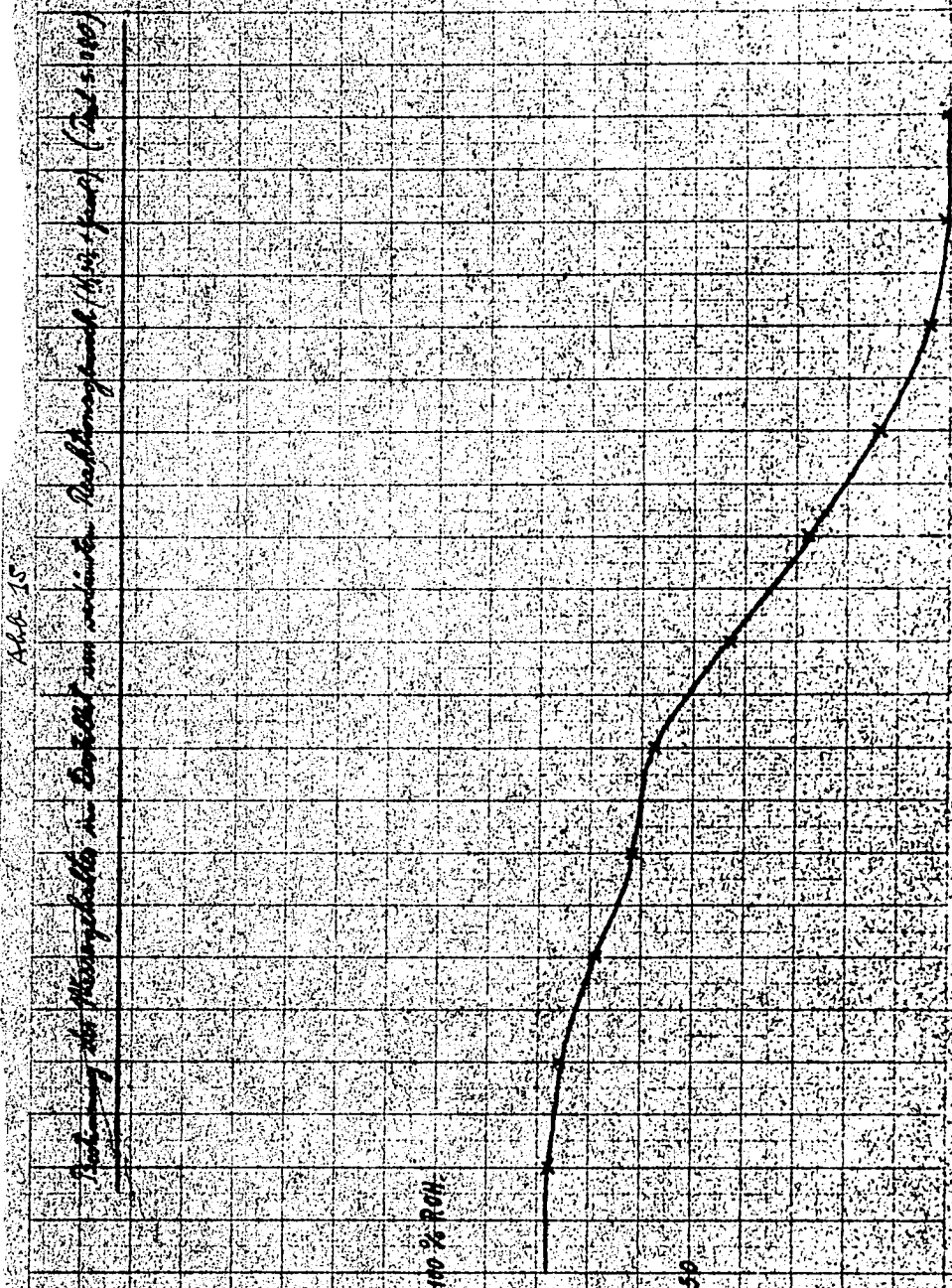
Alb. S.

Isomerization  
Thermodynamics  
for 1,3-butadiene

40% PdH

29

1100 1000 900 800 700 600 500 400 300 200 100 0



881

Die Temperatur steigt dann rasch auf 30-37°, das Temperaturintervall, in dem die Siedepunkte der azeotropen Gemische von iso-Propylalkohol-Wasser und sek.-Butylalkohol-Wasser liegen (vgl. Eindarstellung der Alkohole). Schließlich erfolgt ein langer Anstieg der Temperatur bis 100°, die Menge des Alkohols im Destillat lässt sich durch Aussalzen mit Kaliumcarbonat bestimmen. Sie nimmt bis zum Siedepunkt des Wassers kontinuierlich ab, falls man nicht durch eine scharfe Fraktionierung eine genaue Trennung herbeiführt (s. Abb.).

#### Einfluß von Beheizungsart und Materialien auf die Olefinabspaltung und Verarbeitung.

Bei der Destillation des Alkohols aus der verdünnten Säureschicht sind für ein wirtschaftliches Arbeiten drei Punkte von besonderer Wichtigkeit: 1. Die Olefinabspaltung soll weitgehend vermieden werden, 2. die Säureschicht soll möglichst wenig verdünnt werden, um die Kosten für die Konzentrierung der Säure niedrig zu halten, 3. das Verfahren soll kontinuierlich arbeiten.

Diese drei Faktoren sind nicht unabhängig voneinander, die Änderung des einen kann die Änderung des anderen zur Folge haben. Der Zusammenhang zwischen Olefinentwicklung und Säurekonzentration wurde bereits auf Seite 1 besprochen. Man kann aber auch bei gleichen Säurekonzentrationen durch verschiedene Heizung große Unterschiede in der Olefinabspaltung erhalten. Die Versuche zeigten immer wieder, daß bei lokaler Überhitzung eine erhöhte Olefinentwicklung zu beobachten war.

Besonders auffällend war die Olefinabspaltung, als ein elektrisch beheizter Tauchsieder aus Überzugt benutzt wurden. Die Zersetzung war hier sowit gegangen, daß sich auf den Tauchsiedern Kohlenstoff abgeschieden hatte.

Auch bei Heizung des kondensierenden Dampfs von 9 und 1,5 atd fand man große Unterschiede (vgl. Versuche 36-41 v. Tabelle 1). Dagegen war ein Einfluß von festen Kontaktmaterialien wie Bleischlamm, Platinabsatzeln, Tonscherben und Silikasteinen nicht festzustellen. Auch die Schichthöhe war ohne Einfluß auf die Olefinabspaltung.

Beonders eingehende Versuche wurden mit direktem Wasserdampf durchgeführt, da sich bei dieser Heizungsart leicht jede Überhitzung vermeiden läßt. Außerdem wird die Kondensation des Wasserdampfes ein Ansteigen der Säurekonzentration während der Destillation verhindert. Die Versuche wurden in einem Glaskolben durchgeführt, der Dampf wurde in einem Dampftopf mit aufgesetztem Stoigrohr entwickelt.

In mehreren Versuchen (Tabelle 7) wurde die Estermenge variiert, um festzustellen, ob bei Verwendung größerer Mengen leichter Überhitzung möglich ist.

Tabelle Nr.

Verseifung mit direktem Wasserdampf.

Vers. H<sub>2</sub>SO<sub>4</sub> Menge Ester Versei- Bestill- abgespal-  
Nr. fin der d. un- vor d. mit fungskol- lations- tenes Ole-  
ein- Rest- verd. Anhei- Bunsen- ben im geschwin- fin 4 vom  
gesetz-säure estera zerauf brennor ässer- digkeit Einsatz  
ten g 10° ab-auf 60° bad bei g unverd.  
Ester gekühlt vorge- 100° Ester/min.

	1	2	3	4	5	6	7	8	9
1	30	28,9	240		+	+		4,9	1,4
2	30	28,6	240					9,6	2,2
3	30	24,6	720		+	+		5,0	2,2
4	40	24,5	240					2,5	2,0
5	40	36,3	240					6,7	1,7
6	40	35,0	240					6,3	2,4
7	40	33,6	240					6,9	3,4
8	40	38,6	480					11,2	7,9
9	40	34,4	960					8,3	10,2
10	40	36,1	960		+			7,9	15,4
11	40	32,0	240		+			4,0	2,2
12	40	20,1	240		+	+		2,9	4,9
13	40	37,7	240		+	+		6,7	4,4
14	40	36,5	240		+	+		8,5	9,3
15	50	46,0	250					7,1	16,8

Außerdem ist bei großen Mengen wegen der geringeren Wärmeverluste eine geringere Verdünnung der Säure, damit aber eine stärkere Olefinitionsentwicklung zu erwarten. Um die Wärmeverluste durch Abstrahlung ganz auszuschalten, wurde in einigen Fällen der Kolben in einem Wasserbad von 100° gesetzt. Die Kondensation von Wasserdampf während des Anheizens konnte dadurch zurückgedrängt werden, daß der Kolben vor dem Einleiten des Dampfes mit einem Bunsenbrenner auf 60° vorwärmte. Auf der anderen Seite wurde versucht, die Verdünnung der Säure während des Anheizens durch vorherige Abkühlung des Gemisches zu begünstigen. Als Maß für die Geschwindigkeit des Dampfeinleitens wurde der Quotient aus der angewandten Menge unverdünnten Esters und aus der Versuchzeit gebildet (Spalte 8 in Tab.)

Versetzung in Kaskadenanordnung

Verd.  
Ester

1886

88 cm

35 cm

63 cm

69 cm

65 cm

34 cm

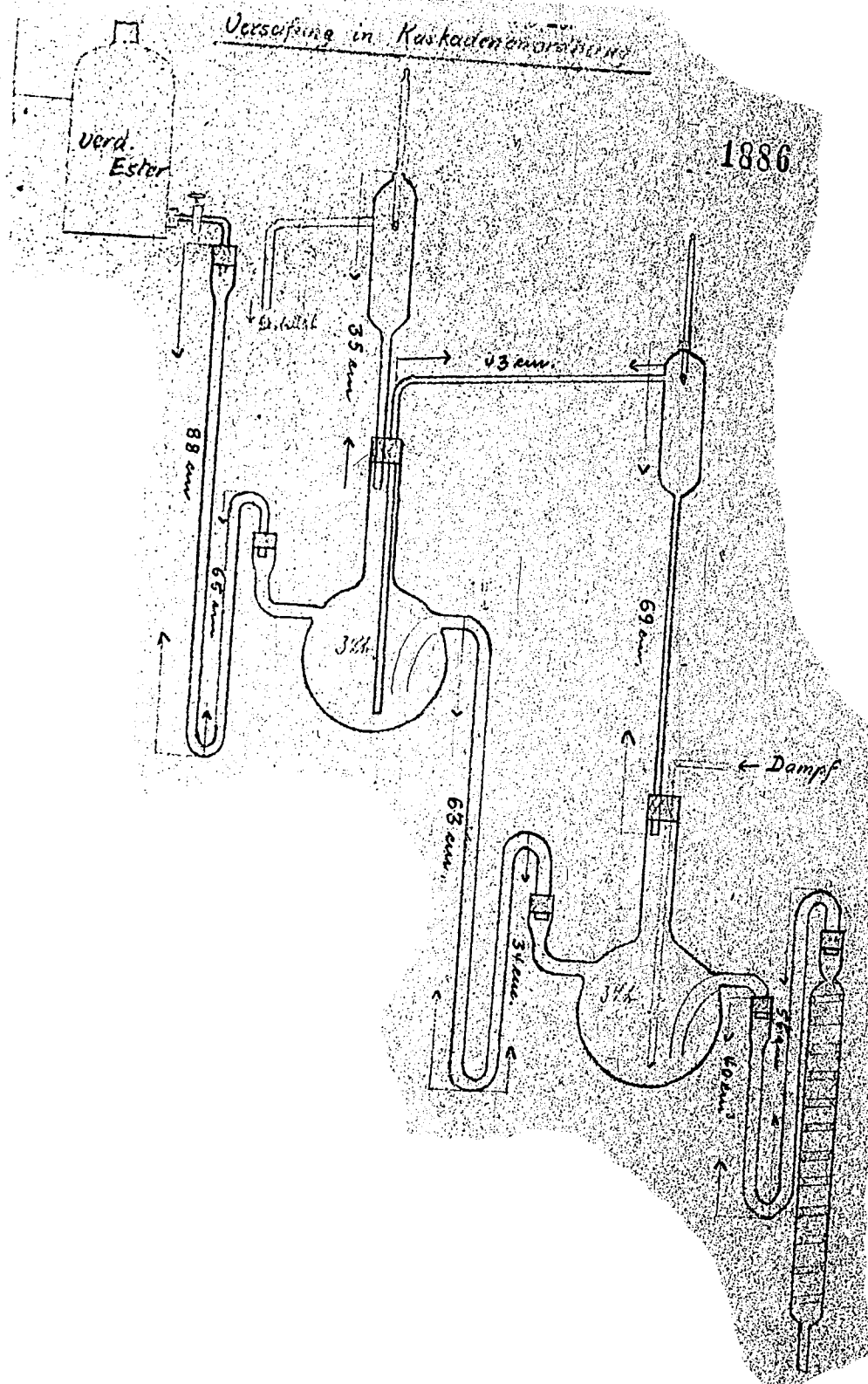
63 cm

34 cm

34 cm

60 cm

← Dampf



Tab. 8

Versetzung in Kaskadenanordnung.

Ester      Distillat

Zeit: Zuring 8 H<sub>2</sub>SO<sub>4</sub> 8 ROH 15° C pro Std. Densit. Temp. 20° C Abfluß 15°C  
cm<sup>3</sup>/h 15° C pro Std. Kolben 20° C ccm/h Alkohol Proz. v. Einst. 15°C und Dichte bei 20° C  
1 2 Valf Füllhöhe

9:30	0	1,197	97	99	765	275	91	98	0,842	180	374	0,809	16	56,2	930	2,118	16,7	11,3	174	4,9	
10:30	2000	"	765												2060	1,127	17,9	17,6	415	54,3	6,5
11:30	1850	"	710	254	88	98	98	0,845	325	66,5	0,793	188	74,1	2320	2,151	21,0	21,2	79,6	3,7		
12:30	2000	"	765	275	87,5	98	0,862	457	70,3	0,797	256	23,1	2360	1,172	5,7	23,6	85,7	12,	8,3		
13:30	2000	"	765	275	87	97,5	0,851	426	76,8	0,794	260	94,5	2520	2,181	22,0	25,2	74,5	37,2	14,5		
14:30	2000	"	765	275	87	97	0,873	538	67,2	0,802	230	59,7	1800	1,167	22,8	25,5	54,8	71,5	18,0		
15:30	2000	"	765	275	88	98	0,858	467	75,0	0,798	279	11,4	2,60	1,192	26,5	2,5	33	109,0	22,0		
16:30	2000	"	765	275	89,5	98	0,866	496	69,8	0,798	276	100,3	2555	1,197	26,9	27,6	82,0	107,5	26,2		
17:00	-	-	-	-	98,5	98,5	0,943	316	37,7	0,807	97	-	245	1,196	27,1	27,3	79	10,3	27,5		
					1904	5								1806	6	95,5					
					= 1420	E															
					Olefin																

Unverdünnter Ester: 58,9 % H<sub>2</sub>SO<sub>4</sub> D = 1,366

Verdünnter Ester: - 32,0 % H<sub>2</sub>SO<sub>4</sub> D = 1,197

Oberes Gefäß: 2430 ccm Inhalt

Unteres Gefäß: 2340 ccm Inhalt

Wasserverbrauch: 7670 ccm = 4,0 kg Dampf/kg ROH-Einsatz

Dampfverbrauch zum Anheizen: 1040 g = 0,5 kg / kg ROH

Olefinvorlust als Gas: 2,7 % vom Einsatz

100% in der Verdunstung: 45,7 % = 2,5 % v.

Innert

eine Gegenüberstellung der Versuche 1 und 3 mit 30 % H<sub>2</sub>SO<sub>4</sub> im verdünnten Ester zeigt, daß die größere Estermenge einen größeren Prozentsatz an Olefin abspaltet. Noch deutlicher ausgeprägt ist dieser Unterschied bei Verwendung von 40 %igem Ester (Vers. 5, 6 u. 9). Die Schwefelsäurekonzentrationen in den Restsäuren unterscheiden sich so wenig, da sie die verschieden starke Olefinabspaltung nicht erklären können. Ein Vergleich der Versuche 4-7 u. 12-14 weist darauf hin, daß die Olefinverluste durch Überhitzung gestoßt werden.

Durch Verdünnen mit Wasser wurde das Destillat auf Polymerbenzin untersucht. Es zeigte sich, daß das Destillat benzinfrei war, nachdem 35-50 % des gesamten Alkohols abdestilliert waren (Näheres über Abscheidung von Polymerbenzin durch Verdünnen mit Wasser vgl. Abschnitt III B 4b p).

Bei Beheizung mit direktem Zuserdampf läuft sich die Destillation leicht kontinuierlich durchführen. Nach den ersten erfolgreichen Versuchen mit einer aus fünf Böden zusammengesetzten Waschkolonnen, bei der über nur ein Durchsatz von höchstens 110 Liter verdünnten Esters möglich war, wurde eine einfache Kaskadenapparatur aus 2 Glaskolben zusammengestellt (Abb. 16).

Der Verlauf einer Kaskadenverseifung ist in der nachfolgenden Übersicht wiedergegeben (Tab. 9).

In mehreren Versuchen wurde die Säurekonzentration und die Durchflußgeschwindigkeit verändert. Tab. 9 zeigt, daß es möglich ist, den gesamten Alkohol bis auf rund 1 % aus der Säure zu entfernen. Um die Olefinabspaltung auf höchstens 2-3 % zu halten, soll die H<sub>2</sub>SO<sub>4</sub>-Konzentration im zufließenden Ester nicht über 30 % betragen. Die Menge des eingesetzten Alkohols wurde durch eine Parallelverseifung im Glaskolben bestimmt. Der Ester wurde zuvor auf 20 % H<sub>2</sub>SO<sub>4</sub> verdünnt. Bei einem Durchsatz von 4 Ltr./Std. und einem Gesamtumfassungsvermögen der Apparatur von rund 5 Ltr. berechnet sich eine Verweilzeit von 75 Minuten.

Tabelle 9

Verseifung in Kaskadenanordnung.

Kr.	H <sub>2</sub> SO <sub>4</sub> im einge- setzen Ester	Esterdurch- satz L/h	mittl. % gehalt vom ein- gesetzten Ester	Prozent v.eingesetz- ten Säure	Prozent v.eingesetz- ten Olefin	Prozent Olefin als Gas insgesamt in d.abgespalten	Restsäure	Prozent wiedergefunden
1	32,0	2	26	2,5	2,7	2,7	100	
2	37,4	2	32	1,5	8,8	8,8	113	
3	38,5	4	35	1,2	10,4	10,4	110	
4	32,8	4	31	0,8	5,8	5,8	113	

In den Gefäßen und den Rohrleitungen setzen sich nach längerem Betrieb kleine Mengen einer teerartigen Substanz ab, die auf der Flüssigkeit schwimmen.

Es wurde bishergestellt, daß die Olefinabspaltung von der Schwefelsäurekonzentration und von der Art der Beheizung abhängig ist. Es war von Wichtigkeit, festzustellen, ob es auch Katalysatoren gibt, die die Olefinabspaltung bei der Destillation der Alkohole aus verdünnter Schwefelsaurer Lösung beschleunigen. Wie bereits angegedeutet, wurden diese Substanzen, die im Verlaufe einer technischen Darstellung zur Einwirkung auf das verdünnte Reaktionsgemisch gelangen können, ausprobiert: "Silica"-Steine, Steinverkleidung des Ruhrchemiekessels, Destillationsschlamm aus dem Ruhrchemiekessel (größtenteils Eisensulfat), Blei als Gefäß, Blei in leitender Verbindung mit Imitin u. Bleispäne. Es ergab sich, daß die genannten Materialien ohne Einfluß auf die Olefinabspaltung sind. (Einzelheiten siehe im Bericht über "Ausbeutebestimmung bei der Aufarbeitung von Reaktionsgemisch aus 75 %iger Schwefelsäure und Gasol" im Anhang).) + vgl. f. 29a

### III B 2 Destillation (verseifend) aus alkalischer Lösung.

Literaturangaben weisen darauf hin, daß die Aufarbeitung in alkalischer Lösung gegenüber der Aufarbeitung in saurer Lösung mitunter Vorteile bietet. Dieses dürfte erstens dann der Fall sein, wenn dadurch die Neutralisation gewonnene Sulfat noch weitere Verwertung finden soll, wie z.B. das Ammoniumsulfat bei der Neutralisation mit Ammoniak (C.1927 I 178<sup>+</sup>). Ferner kommt die alkalische Aufarbeitung bei der Gewinnung tertiärer Alkohole zur Anwendung, da tertiäre Alkohole beim Destillieren mit verdünnter Säure leichter als primäre und sekundäre Alkohole zur Olefinabspaltung und Polymerisatbildung neigen.

Bei sekundären Alkoholen zeigten beide Aufarbeitungsweisen einen nur unwesentlichen Unterschied in der Alkoholausbeute, wie aus einem Reaktionsprodukt, in dem das Isobutylen schon bei der Absorption polymerisiert war, gezeigt werden konnte. Bei saurer Aufarbeitung (20 % H<sub>2</sub>SO<sub>4</sub>) betrug die Olefinabspaltung 1,1 %, bei alkalischer nur 0,4 % der absorbierten Olefinkonze. Die Olefinabspaltung ist bei alkalischer Aufarbeitung also geringer und somit die Ausbeute an Alkohol größer. (vgl. Abschnitt III A 2b).

1890

29a

)+

Das bei der Versifung entweichende Gas besteht hauptsächlich aus n-Butylen, wie aus der Analyse eines aus der Kaskadenapparatur erhaltenen Gases hervorgeht:

$\text{CO}_2$	5,2 %
$\text{C}_3\text{H}_6$	11,6 %
$1-\text{C}_4\text{H}_8$	0,0 %
$n-\text{C}_4\text{H}_8$	82,6 %
$\text{C}_{n+2}$	1,1 %
$2\text{n} + 2$	

Der aus den Kaskaden gewonnene Kobalt war schwach gelb gefärbt. Durch Waschen der Alkoholdämpfe mit 37 %iger Natronlauge bei etwa 125° ergiebt man einen wasserhellen Alkohol. In der Lauge bliegen erlige Mengen eines braunen flockigen Rückstandes, der sich zu festen Klügeln zusammenballte. Ein Verlust am Alkohol als Folge dieser chemischen Reaktion trat nicht ein. In der Natronlauge war eine Schausiedlung festzustellen. Es trat kein merklicher Verbrauch an Natronlauge ein.

### III B 3 Aufarbeitung des Rohalkohols.

#### a) Schichtbildung bei Gegenwart von Polymerisat, Dreiecksdiaagramme.

Als Rohalkohol wurde das bei der Destillation aus verdünnter schwefelsaurer Lösung übergehende Destillat bezeichnet. Es enthält außer iso-Propylalkohol und sek.-Butylalkohol noch wechselnde Mengen Wasser und Polymerbenzin. In Gegenwart geringer Wassermengen ist das Destillat homogen, bei Anwesenheit größerer Wassermengen bilden sich zwei Schichten, das gilt ebensowohl bei Gegenwart als bei Abwesenheit des Polymerbenzins, doch ist die Neigung zur ~~Entmischung~~ Entmischung in Gegenwart von Polymerbenzin viel stärker. Bei Abwesenheit des Polymerbenzins genügten in allen Fällen 7 % iso-Propylalkohol im Gemisch zur Homogenisierung. Die Schichtbildung ist von der Menge der im System vorhandenen Komponenten und von der Temperatur abhängig. Sie beginnt mit der Trübung des vorher klaren, homogenen Reaktionsgemisches. Durch Bestimmung der Trübpunkte ist es also möglich, die Existenzgebiete der homogenen Phasen festzulegen. Versuche zur Festlegung der Existenzgebiete wurden mit Gemischen von iso-Propylalkohol, sek.-Butylalkohol, Wasser und iso-Propylalkohol, sek.-Butylalkohol, Wasser, Polymerbenzin durchgeführt. Das Polymerbenzin machte ungefähr 5, 10 und 20 % des Gesamtgemisches aus. Bei allen Versuchen wurde zu dem anfangs homogenen Gemisch von bekannter Zusammensetzung aus iso-Propylalkohol und sek.-Butylalkohol oder iso-Propylalkohol, sek.-Butylalkohol und Benzin aus einer Bürette solange Wasser zugestropft, bis eine Trübung eintrat und dann die Wassermenge abgelesen. Dabei wurde die Temperatur des Gemisches konstant gehalten. Der bei den Versuchen verwendete iso-Propylalkohol stammte von Merck ( $d^{25} = 0,872$ ), der sek.-Butylalkohol war aus Rohalkoholgemisch durch doppelte Fraktionierung gewonnen worden ( $d^{25} = 0,805$ ,  $n_{D}^{25} = 1,3951$ , OINZ. 763). Das angewandte Polymerbenzin hatte bei  $26^{\circ}$  die Dichte 0,723. Die Versuchsergebnisse sind in den nachfolgenden 4 Tabellen und den entsprechenden 4 graphischen Darstellungen in Dreiecksdiaagrammen wiedergegeben: ~~Tab.~~

Tischgruppe von Gründungs- und Begründungsnamen der 3. und 4. Klasse

Grundschule

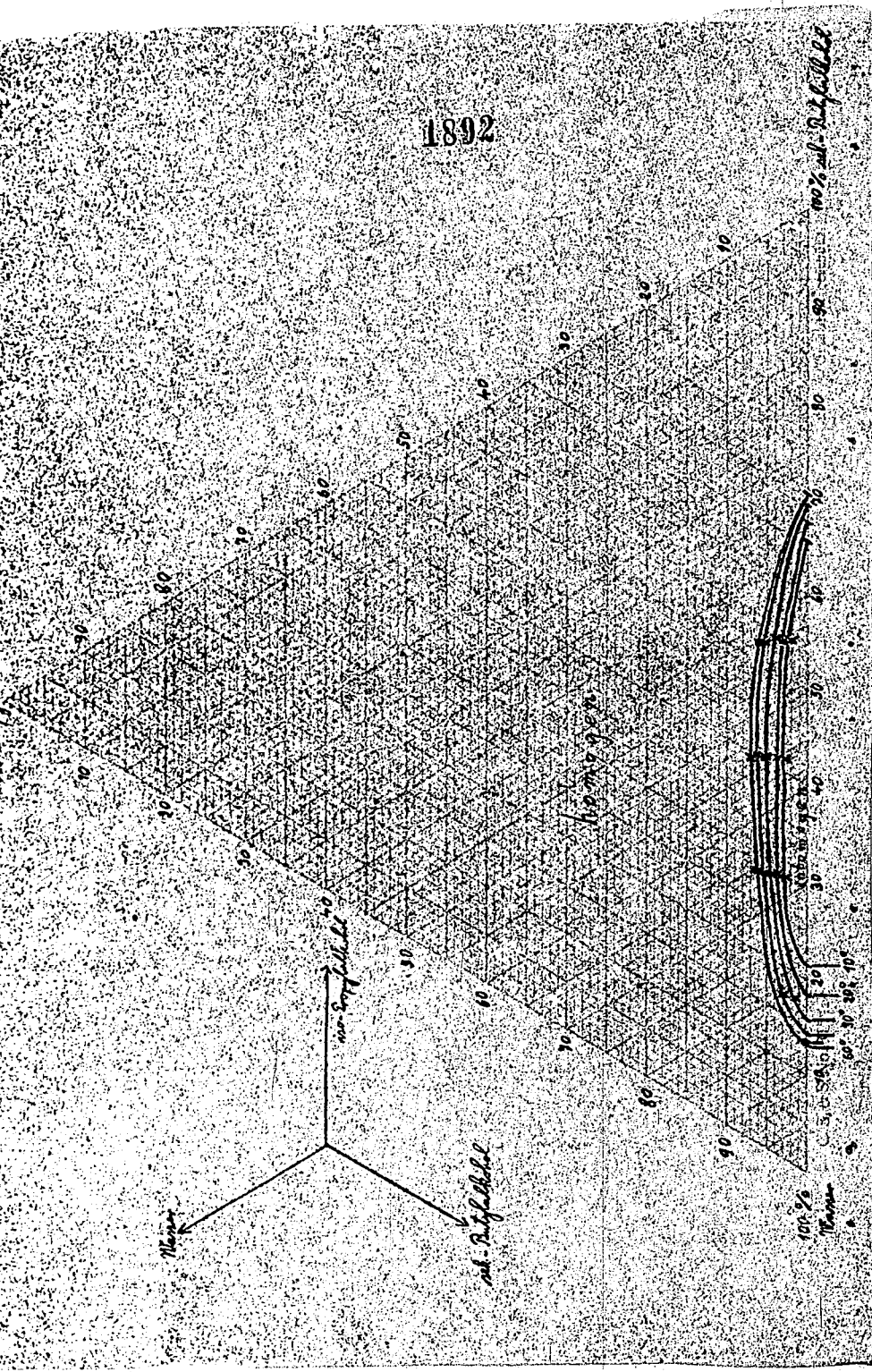
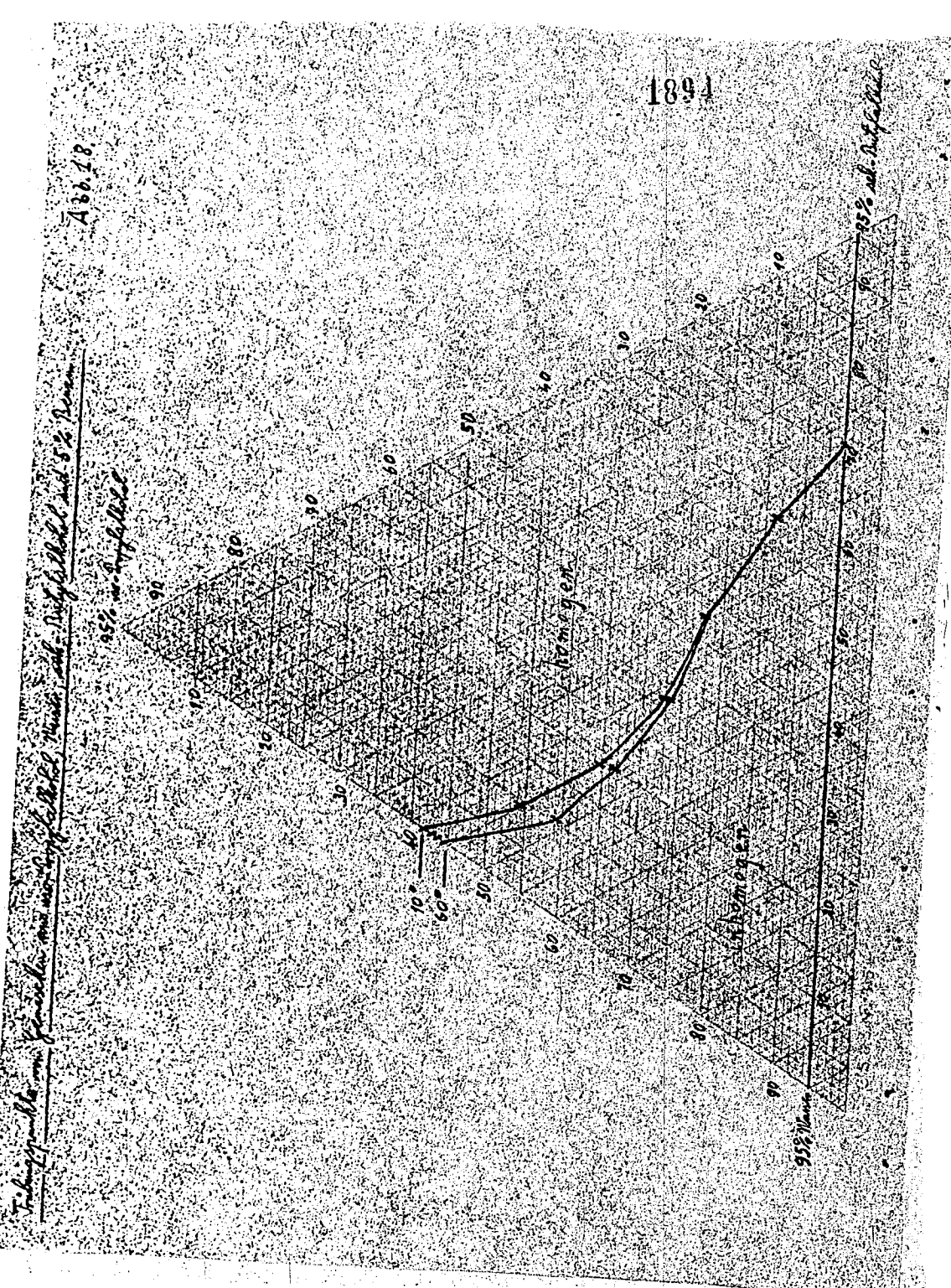


Tabelle I

Trübung-(Entmischungs)-punkte von Wasser- sek.-Butylalkohol-  
iso-Propylalkohol-Gemischen bei verschiedenen Temperaturen

	10°	20°	30°	40%	50°	60°	%-Gehalt an:
1	21,7	18,6	16,0	14,3	13,7	13,3	sek.-Butylalkohol
	78,3	81,4	84,0	85,7	86,3	86,7	Wasser
2		17,2	17,1	17,0	16,9		sek.-Butylalkohol
		81,2	80,3	80,0	79,6		Wasser
		1,6	2,6	3,0	3,5		iso-Propylalkohol
3	29,4	29,1	28,8	28,6	28,4	28,5	sek.-Butylalkohol
4	68,0	67,2	66,6	66,1	65,7	65,6	Wasser
	2,6	3,7	4,6	5,3	5,9	5,9	iso-Propylalkohol
5	41,6	41,1	40,5	40,1	39,8	39,7	sek.-Butylalkohol
4	55,6	55,0	54,3	53,5	53,2	53,1	Wasser
	2,8	3,9	52,	6,4	7,0	7,2	iso-Propylalkohol
5	54,4	53,7	53,7	52,5	51,0	52,0	sek.-Butylalkohol
5	43,7	43,2	43,2	42,1	41,9	41,9	Wasser
	1,9	3,1	3,1	5,4	6,1	6,1	iso-Propylalkohol
6	65,7	67,6	69,2	70,5	70,5	70,2	sek.-Butylalkohol
	34,3	32,4	30,8	29,5	29,5	29,5	Wasser

1894



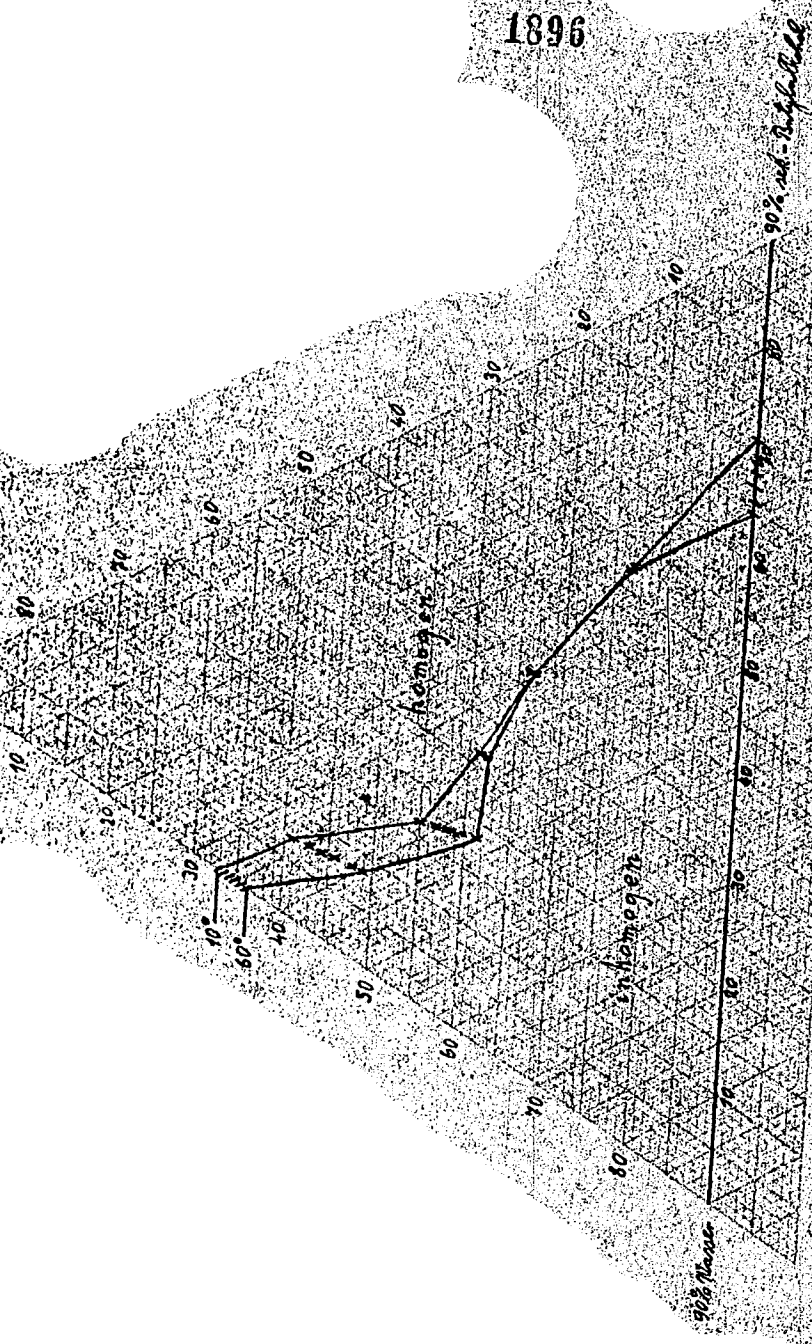
## Tabelle 11

1895

Trübungskontaktionspunkte von sek.-Butylalkohol-Wasser-Benzin  
iso-Propylalkohol-Gemisch bei verschiedenen Temperaturen  
(5-6 % Polymerbenzin)

	10°	20°	30°	40°	50°	60°	%-Gehalt an:
1	41,8	42,7	43,4	44,3	44,3	nicht ausge- führt	Wasser
	4,9	4,9	5,0	5,1	5,1		Benzin
	<u>53,3</u>	<u>52,4</u>	<u>51,6</u>	<u>50,6</u>	<u>50,6</u>		iso-Propylalkohol
	9,5	9,6	9,8	10,0	10,2	10,4	sek.-Butylalkohol
2	44,7	45,4	46,2	47,0	48,0	48,6	Wasser
	5,3	5,4	5,5	5,6	5,7	5,8	Benzin
	<u>40,5</u>	<u>39,6</u>	<u>38,5</u>	<u>37,4</u>	<u>36,1</u>	<u>35,2</u>	iso-Propylalkohol
	19,5	19,7	19,9	20,0	20,0	20,1	sek.-Butylalkohol
3	45,0	45,6	45,9	46,0	46,2	46,4	Wasser
	6,3	6,4	6,4	6,5	6,5	6,5	Benzin
	<u>29,2</u>	<u>28,3</u>	<u>27,8</u>	<u>27,5</u>	<u>27,3</u>	<u>27,0</u>	iso-Propylalkohol
	31,2	31,3	wie bei 20°			31,4	sek.-Butylalkohol
4	41,3	41,8	"	"		41,9	Wasser
	6,2	5,9	"	"		5,9	Benzin
	<u>21,3</u>	<u>21,0</u>	"	"		<u>20,8</u>	iso-Propylalkohol
	42,9	1	-	60°	gleichbleibend		sek.-Butylalkohol
5	34,5	"			"		Wasser
	5,6	"			"		Benzin
	<u>17,0</u>	"			"		iso-Propylalkohol
	58,8	"			"		sek.-Butylalkohol
6	27,6	"			"		Wasser
	5,0	"			"		Benzin
	<u>3,6</u>	"			"		iso-Propylalkohol
	71,5	71,7	71,8	wie bei	30°		sek.-Butylalkohol
7	23,1	22,9	22,8	"	"		Wasser
	5,4	5,4	5,4	"	"		Benzin

1896



Fishingspots von Fischer aus neueren Jahren: 10. September und 10. Dezember 1961. 90% neu-fischbar. 4.3.6.1.9.

Tabelle III 12

1897

Trübungs(Entmischungs)-Punkte von sek.-Butylalkohol-Wasser-Benzin-iso-Propylalkohol-Gemischen bei verschiedenen Temperaturen (9-12 % Polymerbenzin)

	10°	20°	30°	40°	50°	60°	%-Gehalt an:
	32,9	33,4	34,1	34,7	nicht aus-		Wasser
1	9,5	9,6	9,8	10,0	geführ		Benzin
	57,6	57,0	56,1	55,3	"		iso-Propylalkohol
	7,2	7,5	7,7	8,0	8,3	8,6	sek.-Butylalkohol
2	33,8	35,1	36,4	37,5	39,3	40,3	Wasser
	10,4	10,7	11,1	11,5	12,0	12,3	Benzin
	48,6	46,7	44,8	43,0	40,0	38,8	iso-Propylalkohol
	17,5	16,6	17,9	17,1	18,2	17,4	17,8 sek.-Butylalkohol
3	40,5	38,4	41,3	39,9	42,0	40,0	34,2 iso-Propylalk.
	8,8	10,3	9,0	10,6	9,9	11,0	9,9 Wasser
	23,2	24,4	23,1	23,8	23,0	23,0	21,1 Benzin
	33,2	34,7	31,8	32,5	30,5	30,5	32,9 iso-Propylalk.
	26,2	26,4	wie bei	20°		26,5	sek.-Butylalkohol
4	34,9	35,3	"	"	"	35,4	Wasser
	9,7	9,8	"	"	"	9,8	Benzin
	29,2	28,5	"	"	"	28,3	iso-Propylalkohol
	36,9	wie	bei	10°			sek.-Butylalkohol
5	29,7	"	"	"			Wasser
	9,8	"	"	"			Benzin
	23,6	"	"	"			iso-Propylalkohol
	52,0	52,5	wie	bei	20°		sek.-Butylalkohol
6	24,6	24,5	"	"	"		Wasser
	9,4	9,5	"	"	"		Benzin
	14,0	13,5	"	"	"		iso-Propylalkohol
	71,4	69,4	68,3	67,0	65,6	64,7	sek.-Butylalkohol
7	17,9	20,2	21,4	22,9	24,6	25,6	Wasser
	10,7	10,4	10,3	10,1	9,8	9,7	Benzin

Triebungsmittel von Feuerholz aus dem Pappelholz-Holz, sehr-Buche-Holz und 20% Reis.

A 66.20.

80% in Tropfzähigkeit

1898

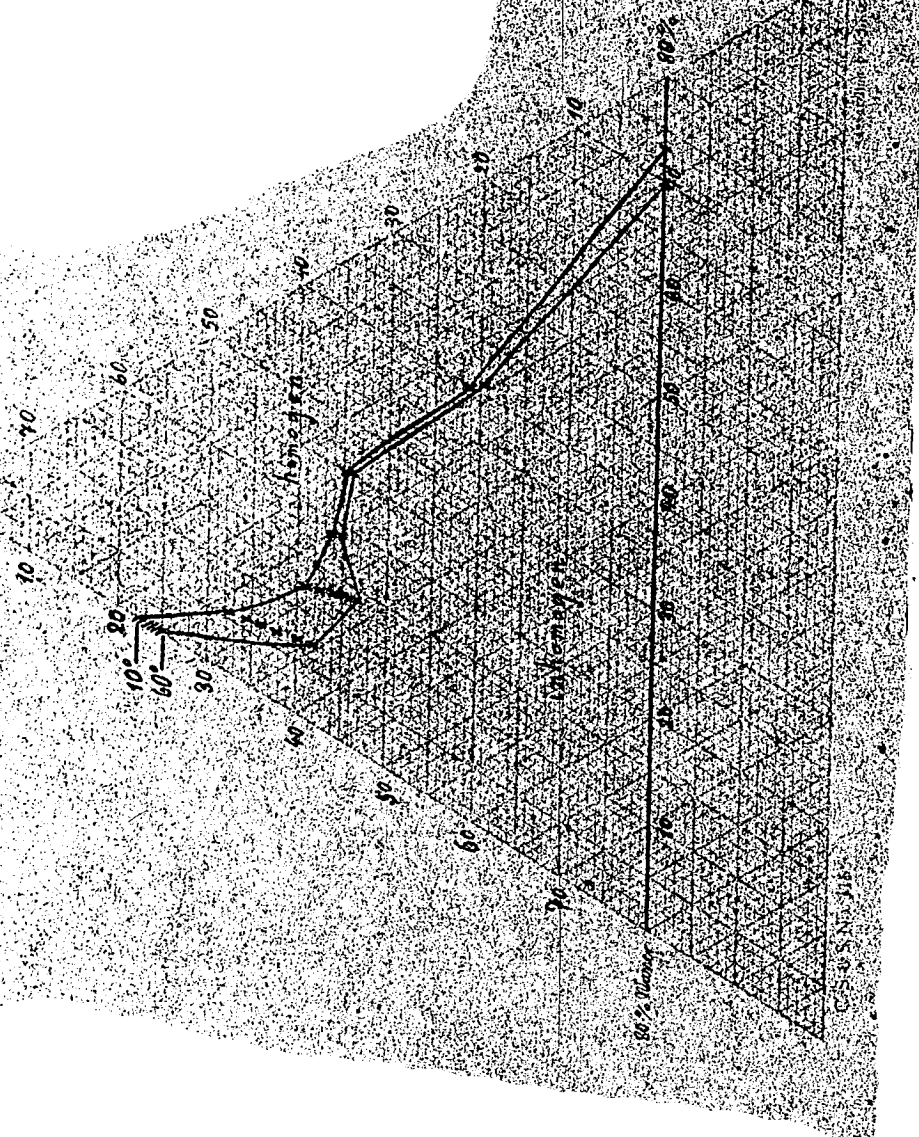


Tabelle 13

1899

Trübungseintmischungspunkte von sek.-Butylalkohol-Wasser-Benzin-  
iso-Propylalkohol-Gemischen bei verschiedenen Temperaturen  
(16-20% Polymerbenzin)

	10°	20°	30°	40°	50°	60°	%-Gehalt an:	
	22,2	25,7	26,1	26,1	23,4	26,5	28,1 Wasser	
1	15,7	16,3	19,2	21,6	6,19	6,16	8,20	11,7 Benzin
	59,1	58,6	57,9	57,3	57,0	56,7	56,0	55,5 iso-Propylalkohol
2	5,7	6,0	6,3	6,6	7,0	7,3	7,6	sek.-Butylalkohol
	26,8	25,2	29,7	31,2	33,1	34,4	35,7	Wasser
	16,3	17,0	17,9	18,8	19,9	20,7	21,5	Benzin
	51,2	48,8	46,1	43,4	40,0	37,6	35,3	iso-Propylalkohol
	12,3	12,9	13,4	13,7	13,8	14,0	14,3	sek.-Butylalkohol
3	28,5	29,8	30,8	31,6	32,0	32,5	33,2	Wasser
	16,8	17,6	18,2	18,6	18,9	19,2	19,5	Benzin
	42,4	39,7	37,6	36,1	35,3	34,3	33,5	iso-Propylalkohol
	18,7	19,0	wie	bei	20°			sek.-Butylalkohol
4	25,0	25,4	"	"	"			Wasser
	19,8	20,7	"	"	"			Benzin
	36,5	35,4	"	"	"			iso-Propylalkohol
	25,0	25,2	25,2	25,3	wie bei 30°			sek.-Butylalkohol
5	20,1	20,3	20,3	20,4	"	"		Wasser
	18,6	18,7	18,7	18,8	"	"		Benzin
	36,3	35,8	35,8	35,5	"	"		iso-Propylelkohol
	39,9	40,4	40,2	40,6	40,8	40,9	41,0	sek.-Butylalkohol
6	19,8	19,0	18,1	19,1	19,2	19,2	19,3	Wasser
	19,1	19,4	19,5	19,5	19,6	19,6	19,7	Benzin
	22,2	21,2	20,9	20,8	20,4	20,3	20,2	iso-Propylalkohol
	73,2	71,5	71,5	71,5	69,8	69,8	69,8	sek.-Butylalkohol
7	7,3	9,5	9,5	9,5	11,6	11,6	11,6	Wasser
	19,5	19,0	19,0	19,0	18,6	18,6	18,6	Benzin

1900

III B 3b Abtrennung der Hauptmenge des Polymerisats  
durch Verdünnung mit Wasser.

Bei Steigerung des Wassergehaltes über den Trübungspunkt (= Entmischungspunkt) hinaus, wird die obere Schicht immer kleiner. Da die Alkohole sich in Wasser besser lösen als das Benzin, kann man auf diesem Wege zu einer bestmöglichen Trennung des Benzins von der Alkohol-Wasserschicht gelangen. Der Verdünnungsgrad, bei dem sich die Hauptmenge des Benzins abscheidet, liegt zwischen 10 und 30 Gew.% Alkohol. (Näheres über Löslichkeiten von Wasser-Alkohol-Benzinmischungen siehe Löslichkeitsabschnitt).

3c Ausfällen mit Kaliumcarbonat, Aussalztechnik,

Löslichkeit von Alkohol in Kaliumcarbonatlösungen

Aus der zurückbleibenden wässrigen Lösung lässt sich der Alkohol mit Kaliumcarbonat aussalzen.

Eine mit Kaliumcarbonat und iso-Propylalkohol gesättigte, wässrige Lösung enthält bei 25° 0,23 % iso-Propylalkohol und 52,67 %  $K_2CO_3$ . Ist die Lösung mit Kaliumcarbonat nicht gesättigt, so vergrößert sich die Löslichkeit des iso-Propylalkohols. Lösungen mit 33,2 %  $K_2CO_3$  enthalten 0,65 % iso-Propylalkohol, mit 25,50 %  $K_2CO_3$  1,93 % iso-Propylalkohol (und mit 0,1 %  $K_2CO_3$  69,6 % Isopropylalkohol. (Landolt-Börnstein Eg III, 637, siehe dort auch noch weitere Zahlen).

Die Löslichkeitsverhältnisse des sek.-Butylalkohols liegen noch günstiger, da sich bereits in 80 Gewichtsteilen reinen Wassers nur etwa 20 Gewichtsteile sek.-Butylalkohol lösen. Eine mit Kaliumcarbonat und sek.-Butylalkohol bei Zimmertemperatur (20°) gesättigte Lösung, enthält außer 2,6 %  $K_2CO_3$  0,1 sek.-Butylalkohol (Löslichkeit von  $K_2CO_3$  in Wasser, siehe Landolt-Börnstein I, 658).

Will man die Alkohole möglichst quantitativ gewinnen, so destilliert man von der Kaliumcarbonatlösung, mit der ausgesalzen wurde, die ersten Anteile ab und salzt abermals aus. Dieses Verfahren ist besonders auch deshalb zu empfehlen, weil man dann beim ersten Aussalzen die Lösung nicht vollständig zu sättigen braucht, und die möglicherweise durch Zugeben von zuviel Kaliumcarbonat entstehende übersättigte, schmierige Flüssigkeit durch Zugeben von wenig Wasser wieder klar ren kann, wodurch dann die Schichttrennung erleichtert wird.

1931

Trennung der Alkohole.

Zur Trennung der Alkohole geht man von der durch Verseifung des Esters erhaltenen Rohalkohollösung aus, die 65-70 Vol.-% Benzinhaltigen und Ätherhaltigen Alkohol enthält. Nach Abschnitt III B 3 b (Seite 35) ist eine Verdünnung auf rund 25 Vol.-% zweckmäßig, um die Hauptmenge des Benzins, das auch noch geringe Mengen Äther enthält, als obere Schicht zu entfernen. Beim Verdünnen des Alkohols entweicht Gasol, die obere Schicht enthält noch Gasol und große Mengen Alkohol, die mit Wasser zum großen Teil ausgewaschen werden können. Zahlenmäßig sind diese Verhältnisse für einen genauer untersuchten Fall in der folgenden Übersicht dargestellt.

Tab. 14

Verdünnung von Alkohol zwecks Abtrennung der oberen Schicht.

Wasserfreier Rohalkohol	:	5000 ccm	
Wasserzusatz	:	15000 ccm	
Obere Schicht	:	900 ccm = 18 % vom Rohalkohol	
Rest nach Auswaschen der oberen Schicht	:	160 ccm = 18 % der anfängl. erh. oberen Schicht = 3,2 % v. Rohalkohol	
<u>Gasolentwicklung beim Verdünnen des Rohalkohols.</u>			

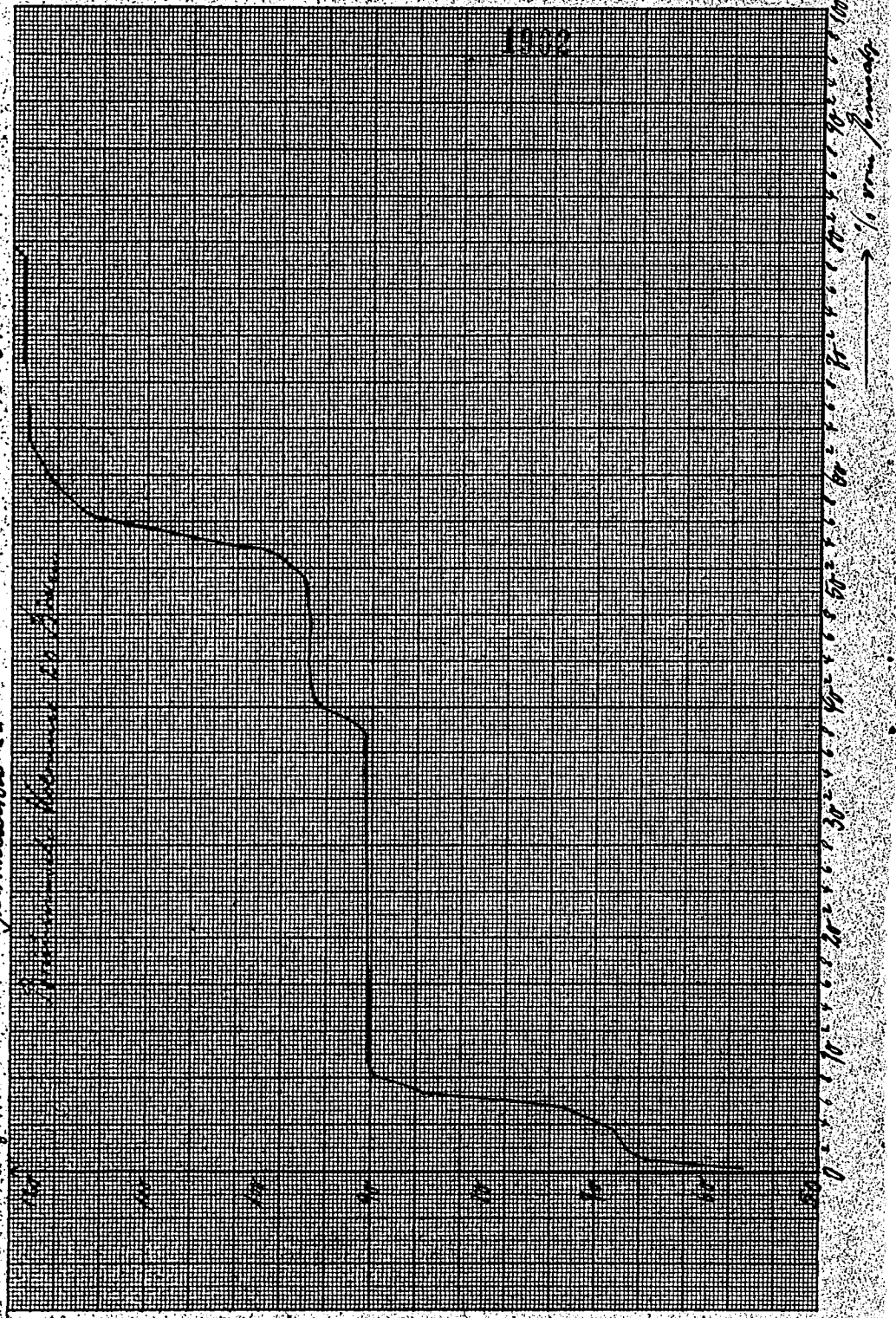
Eingesetzter Rohalkohol (58 Vol.-% ROH)	:	9400 ccm = 5450 ccm absolut. Alkohol
Wasserzusatz	:	10600 ccm =
Obere Schicht	:	3100 ccm = 57 % vom absolut. Alkohol
Gasentwicklung	:	d.h. 80 l Gas auf 100 l absolut. Alkohol

Wasserzusatz zur oberen Schicht	:	3100 ccm
Gasentwicklung	:	524 ccm d.h. 17 l Gas auf 100 l oberer Schicht

Scanned by

Postillion 11

No. 21.



Das Gasol hatte die Zusammensetzung:

nach Verdünnen nach Wasserzusatz  
des Rohalkohols zur oberen Schicht

$\text{1-C}_4\text{H}_8$	0,0 %	0,0 %
$\text{n-C}_4\text{H}_8$	96,0 %	71,4 %
(+ $\text{C}_3\text{H}_6$ )		
$\text{C}_n\text{H}_{2n+2}$	1,6 %	21,8 %

Die mit Wasser ausgewaschene Schicht wurde nach dem Trocknen mit Calciumchlorid in einer Bruunschen Kolumnen fraktioniert. Tab. 15 und Abb. zeigen die hierbei gefundenen Fraktionen. Tab. 15

Frakt. Temp. Erreichungs- Mol. Dichte % vom Einsatz  
Nr. unkorrig. index 20 ° Gew. 20° einz. insges.  
ungetrockn.

1	56,9			1,9	1,9		
	67,0						
2	74,4	1,371	1,371	101	0,728	3,2	5,1
3	89,9					3,1	8,2
4	91,2	1,386	1,387	100	0,765	30,2	38,4
5	95,4					2,4	40,8
6	96,2	1,383	1,383	112	0,748	10,3	51,1
7	120,0					9,9	61,0
8	121,1	1,397	1,397	129	0,766	17,6	78,6
9	122,0					0,8	79,4
Rückst.					12		
Verlust					8,6		

Fraktion 2 wurde als Diisopropyläther identifiziert. Fraktion 4 war ein konstant siedendes Gemisch aus 28 % Alkohol und 72 % Isopropyl- sek. Butyläther. Nach mehrmaligem Waschen mit Wasser bzw. 20 %iger Schwefelsäure enthielt die Substanz noch 16 % Alkohol, der durch Verästung mit einem Gemisch von höheren Fettsäuren ( $\text{C}_6 - \text{C}_{10}$ ) beseitigt werden konnte.

Fraktion 6 ist nahezu reiner Isopropyl- sek. Butyläther. Dieser Äther ging also bei der Destillation mit sek.-Butylalkohol als konstant

Sample 1061 - Blackish brown / Blackish brown / Black (100)

Blackish brown / Blackish brown / Black

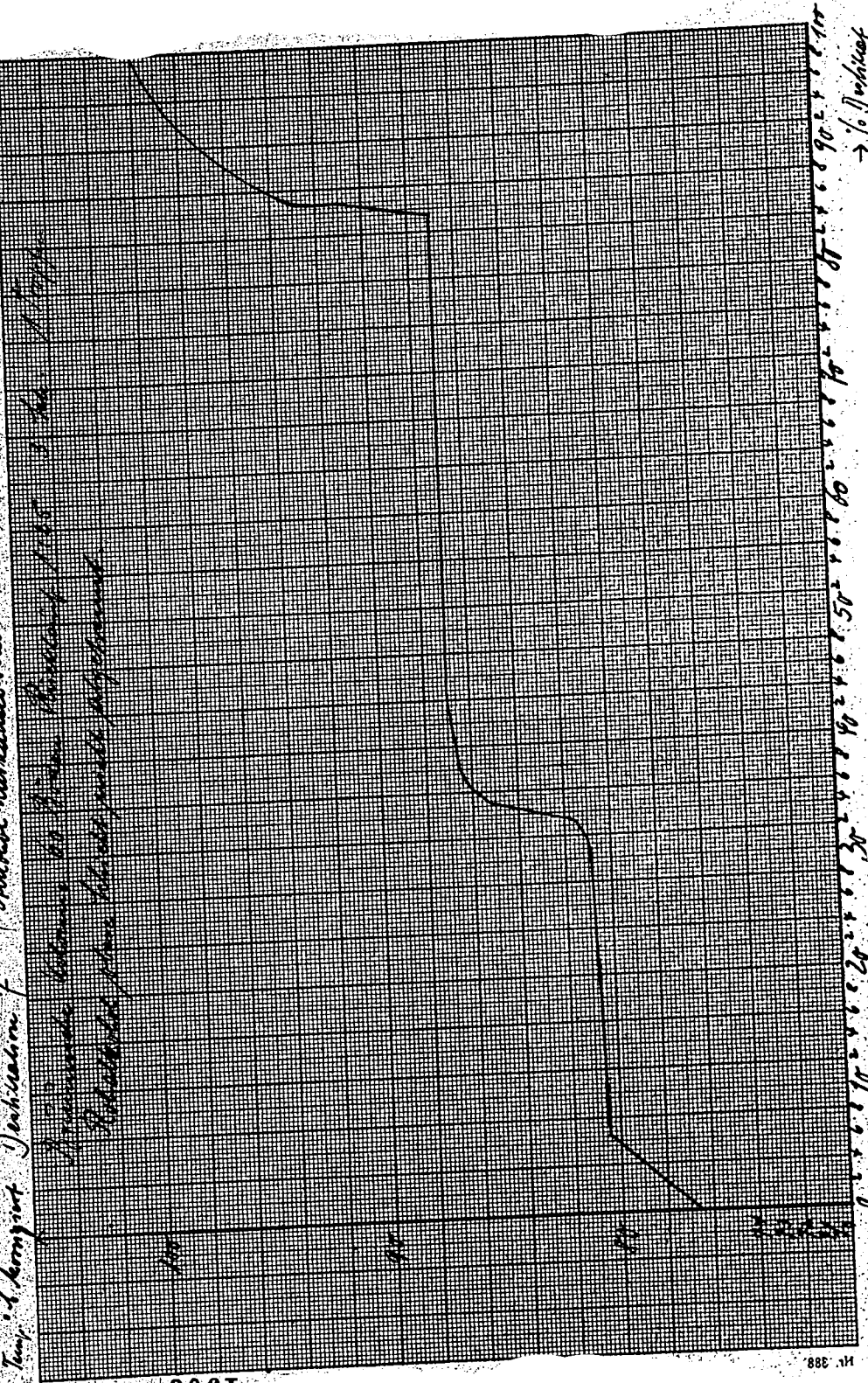
1061

886 111

% Jodidat

Temp. of Kempt. Jihlava 7 (Májové horko v roce 1933. 39.)

466.74

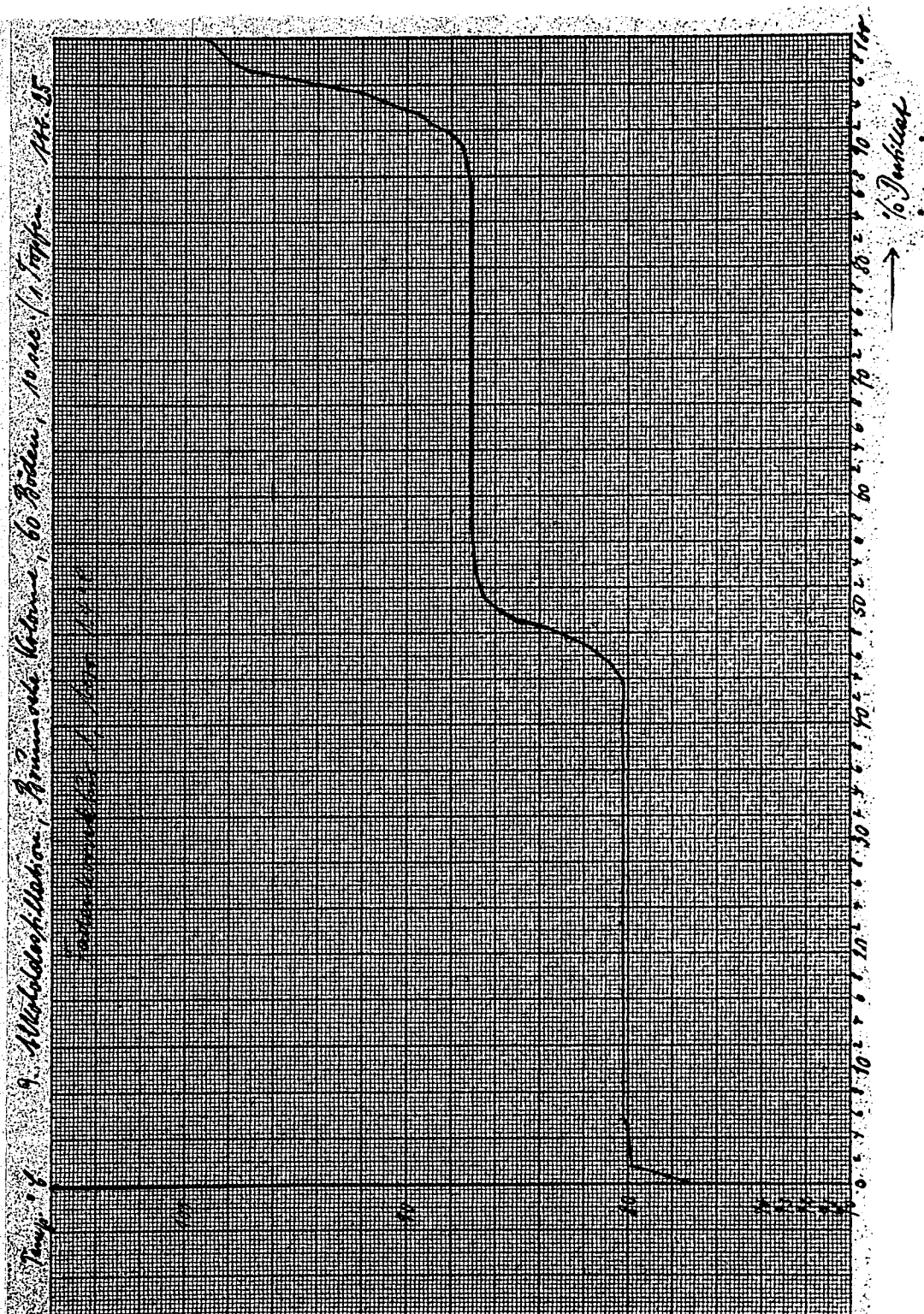


1905

M. 388

0 10 20 30 40 50 60 70 80 90 100  
0 100 200 300 400 500 600 700 800 900 1000  
 $\rightarrow \%$  / what

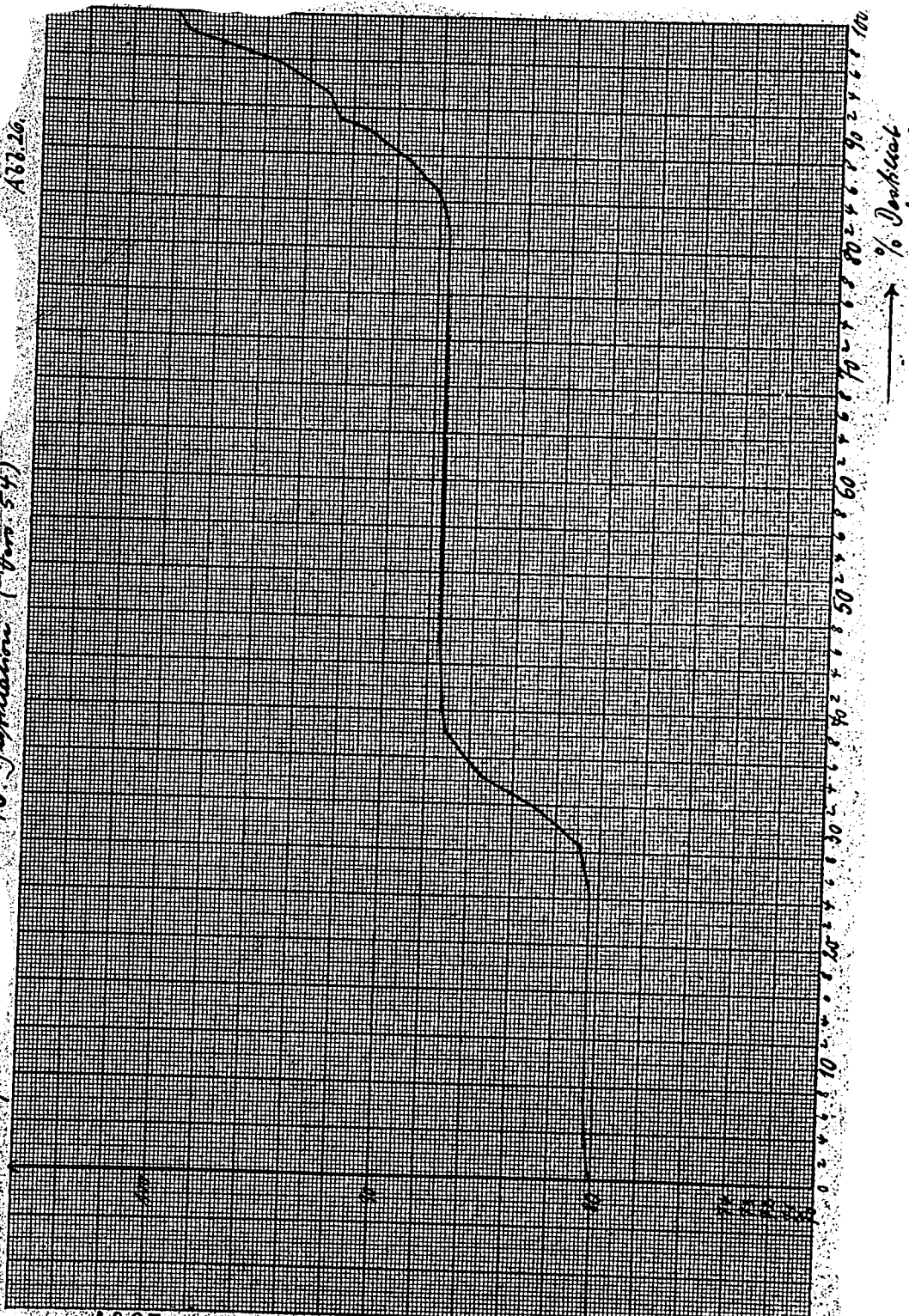
Fig. 8. Melancholia, Primitiva, 60 sides, 10cc. / 1. Topper No. 15



2000 ft. Lateral

10' separation (ft to 54)

43720



200

H-288

## III B 3 d

siedendes Gemisch über (Fraktion 4). Nach Entfernung des Alkohols destillierte dann der überschüssige Äther als Fraktion 6 ab. Fraktion 8 war alkoholfreier Di-sek. Butyläther.

Tab. 16

Eigenschaften der gefundenen Äther.

Substanz	Siedepunkt	Dichte (20°C)	$n_D^{20}$ (20°C)	Mol. Gew.	% Gehalt im Roh- alkohol
Diisopropyl- äther	69	0,725	1,3680	102,1	0,14
Isopropyl- sek. Butyläther	96,4- 96,8	0,744	1,3798	116,1	0,79
Di-sek. Butyl- äther	120- 121	0,756	1,3966	130,1	0,60
					1,53

Auch die obere Schicht, die sich beim Verdünnen des Esters abscheidet, (S. 53) enthält Äther und zwar rund 11% Isopropyl- sek. Butyläther und rund 13 % Di-sek. Butyläther.

Rechnet man mit einem Anfall von 0,5 g oberer Schicht auf 100 g Ester (Verdünnung auf 30%  $H_2SO_4$ ; vgl. S. 53), so würde man aus 100 g Ester insgesamt 0,2 g Äther erhalten. Der aus 100 g Ester gewinnbare Alkohol (ca. 25 g) enthält ca. 0,4 g Äther. Aus 100 g Ester erhält man demnach 0,6 g Äther, aus 100 g Gasöl rund 0,75 g Äther.

Zur Fraktionierung der Alkohole im Laboratorium dienten Bruunsche Kolonnen mit 20 bzw. 60 Tropfen. Durch Destillation eines bekannten Gemisches aus Isopropylalkohol, sek. Butylalkohol und Wasser wurde festgestellt, daß sich beide Alkohole trennen lassen, daß also azeotrope Gemische der Alkohole untereinander nicht auftreten (Destill. 4 Abb. 22). In der Zwischenfraktion von 80,4 bis 87,5° wurde aus dem durch Aussätzen gefundenen Wassergehalt der Anteil von Isopropyl- und sek. Butylalkohol bestimmt.

Die Abb. 27-26 zeigen in graphischer Darstellung die Ergebnisse von Alkoholdestillationen (Vergl. auch Tab. 17).

1909

Tab. 19 17

1909

Destillation von Rohalkohol mit der Bruun'schen Kältechine (20 Büden)

Frakt.	Temp.	Menge	Dichte r. g/cm <sup>3</sup>	N <sub>D</sub> (trocken)	Gew.-% H <sub>2</sub> O	Frakt.	% v. Einsatz (trock. durch Substz) aussalz.	% v. Einsatz einz. insges.
I	<73	22	0,755	1,3759 (24°)				1,1 1,1
II	73-80	28						1,4 2,5
III 1	80,5	140	0,815		2,0			
2	80,5	50	0,819	1,3780	12,0			
3	80,5	273	0,818	1,3780	12,0	Isopropyl-	-24,3	26,8
4	80,5	28	0,819	1,3780	11,9	alkohol		
5	-86,5	114	0,833	1,3817	13,0			5,7 32,5
6	-87,0	33	0,859	1,3839	25,4			1,6 34,1
7	-87,0	44	0,865	1,3947	25,4			
8	-87,0	120	0,866	1,3950	27,8			
9	-87,0	90	0,866	1,3950	25,4	sek.		
10	-87,0	140	0,867	1,3950	24,5	Butyl-	25,3	59,4
11	-87,0	112	0,861			alkohol		
12	-87-88	97,5	oben	0,904				
		6						5,1 64,5
		unten	0,975					
13	100	Rest						16 80,5
		520						

Theoretische Zahlen

67,5	0,725	1,3678 (20°)	Diisopro- pyläther
a 80,4	0,816		
b 82,5	0,785	12,3	Isopropyl- alkohol
a 87,5	0,862		
b 99,5	0,800	27,3	Sek. Butyl- alkohol

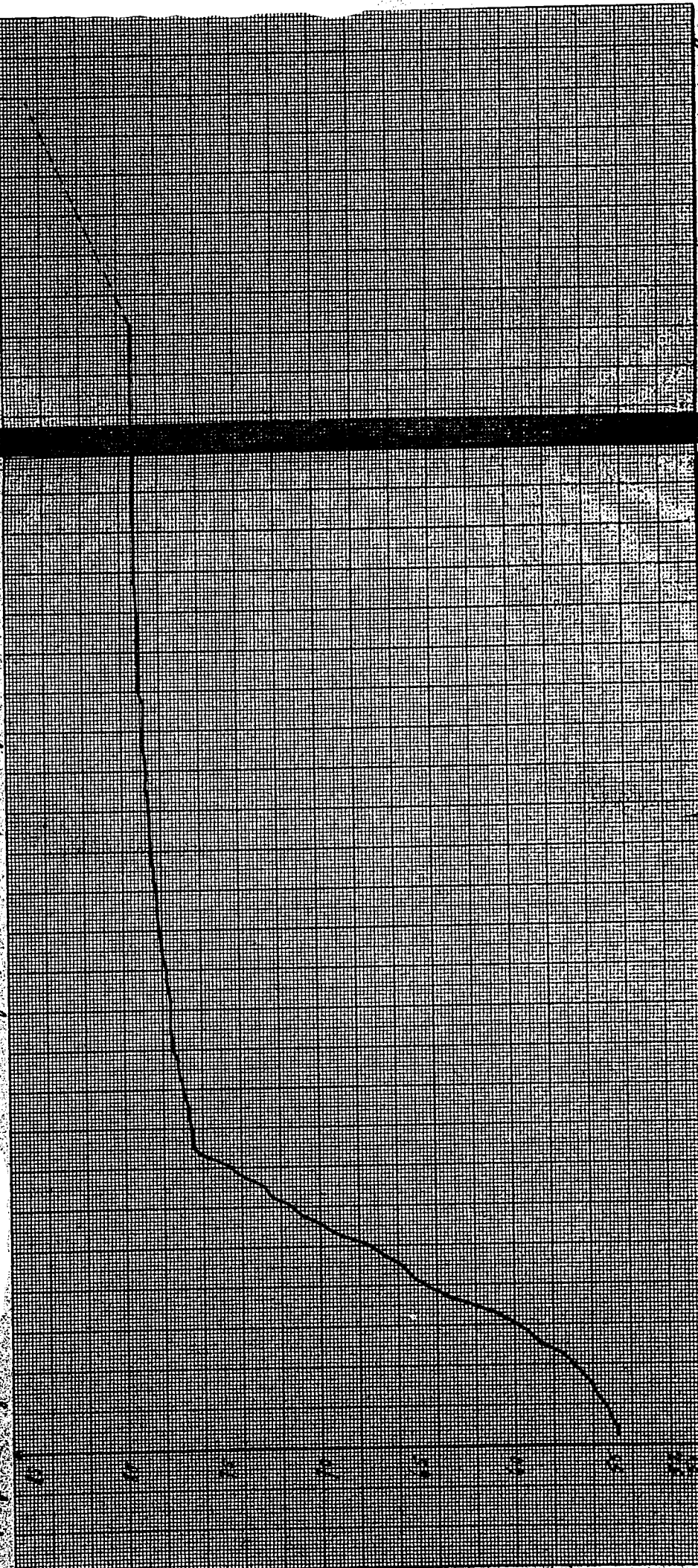
a: Konstant siedendes Gemisch mit Wasser  
b: Absoluter Alkohol.

Fig. 1.

Wien'scheschallanlage Nr. 1  
Ganzheit - Holz

Tempo

1910



10  
100  
1000  
10000  
100000

40

20

10

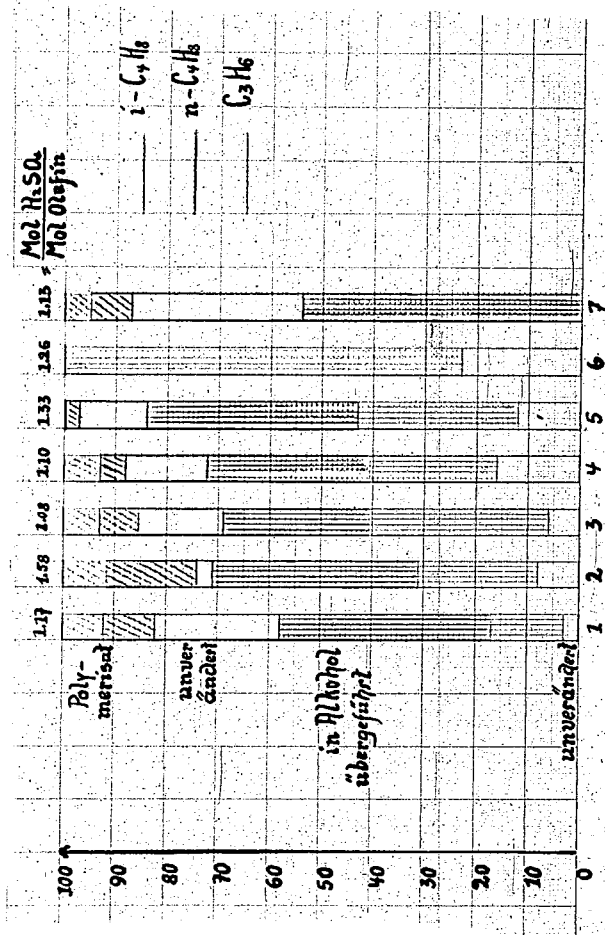
5

0.5

0.1

Musdeulen an Isopropylalkohol, sek. Butylalkohol u. Polymerisat. Abb. 28  
 (vergl. Tab. 19)

1911



1912

Tab. 18

Desillation von wässriger Rohalkohol  
analyse einzelner Fraktionen

rochene Substanz

Fraktion	$\gamma C_6 H_5$	% H <sub>2</sub> O
----------	------------------	--------------------

III 2	83,3	13,4
-------	------	------

III 3	83,9	13,7
-------	------	------

Iso-propyl-alkohol	83,9	13,3
--------------------	------	------

Alkohol	83,9	13,7
---------	------	------

Alkohol	83,9	13,7
---------	------	------

Alkohol	83,9	13,7
---------	------	------

Alkohol	83,9	13,7
---------	------	------

Alkohol	83,9	13,7
---------	------	------

Alkohol	83,9	13,7
---------	------	------

Alkohol	83,9	13,7
---------	------	------

Alkohol	83,9	13,7
---------	------	------

Alkohol	83,9	13,7
---------	------	------

Alkohol	83,9	13,7
---------	------	------

Alkohol	83,9	13,7
---------	------	------

Alkohol	83,9	13,7
---------	------	------

Alkohol	83,9	13,7
---------	------	------

Alkohol	83,9	13,7
---------	------	------

Alkohol	83,9	13,7
---------	------	------

Alkohol	83,9	13,7
---------	------	------

Alkohol	83,9	13,7
---------	------	------

Alkohol	83,9	13,7
---------	------	------

Alkohol	83,9	13,7
---------	------	------

Alkohol	83,9	13,7
---------	------	------

Alkohol	83,9	13,7
---------	------	------

Alkohol	83,9	13,7
---------	------	------

man erkennt aus den Destillationskurven, da der Verlauf steiler ist, wenn die Oberfläche nicht abgetragen wurde. Außerdem enthält dann auch die gesamte Alkoholfraktion geringe Mengen Benzin, die sich an der Erhöhung nach dem Verdunnen mit Wasser erkennen lassen. Nach Füllung I konnte der Benzingerhalt durch Elementaranalyse nachgewiesen werden. Der Benzingerhalt der Isobutylalkoholfraktion war höher als den reichen Alkohol entsprach (Tab. 18).

Der Verlauf von mehreren Destillierungen wurde gesammelt und nach dem Kochen mit Kaliumcarbonat in der Siedenzentrations fraktioniert. Die Masse lag bei 77-79° über (Tab. 22). Ausschütteln mit Wasser zeigt, daß die Substanz rund 50% Alkohol enthält. Die zu entbleibende Oberfläche bestand aus Übers. Doch handelt es sich hierbei nur um einen Bruchteil der Mengen, wie man an der oberen Schicht des Rohalkohols erh. lt. (vgl. S. 35).

Die Ausbeute an Isobutylalkohol und der Butylalkohol hängt von der Konzentration & dem zur Absorption eingesetzten Gasen und von den abschließenden Abmengen ab. In Tab. 19 ist das Verhältnis der eingesetzten Gase in Tabelle 3 d gegeben, die Spalten 4 u. 5 zeigen die Ausbeuten an Propylen und Alkohol. In Tab. 27 sind die entsprechenden Werte grafisch dargestellt. Von eingesetzten Propylen werden rund 7-8 % in Alkohol übergeführt, von Butylen rund 5-6 %. Die Ausbeute an Butylalkohol steigt auf rund 70 % an, wenn aus Isobutylethen durch Hydrierung entfernt wurde. Aus der Tabelle von 29 halbtechn. soled. Verhältnissen bei der Kurenreiche ergab sich, daß in übereinstimmung mit diesen Zahlen von den eingesetzten Butylen 54 %, vom eingesetzten Propylen 75 % im Alkohol übergeführt wurden. (vgl. Anhang) bedeutet nun ein Gas, das unter den Reaktionen nur  $C_3H_6$  bzw. nur  $1-C_4H_8 + n-C_4H_8$  enthalten soll betragen die Ausbeuten an Isobutylalkohol bzw. an wech. Butylalkohol in diesem Falle 77 u. 57 %.

1913

41

3 d

Tab. 19

Alketylazobutriter, bezeichnet mit den eingesetzten Olefine.

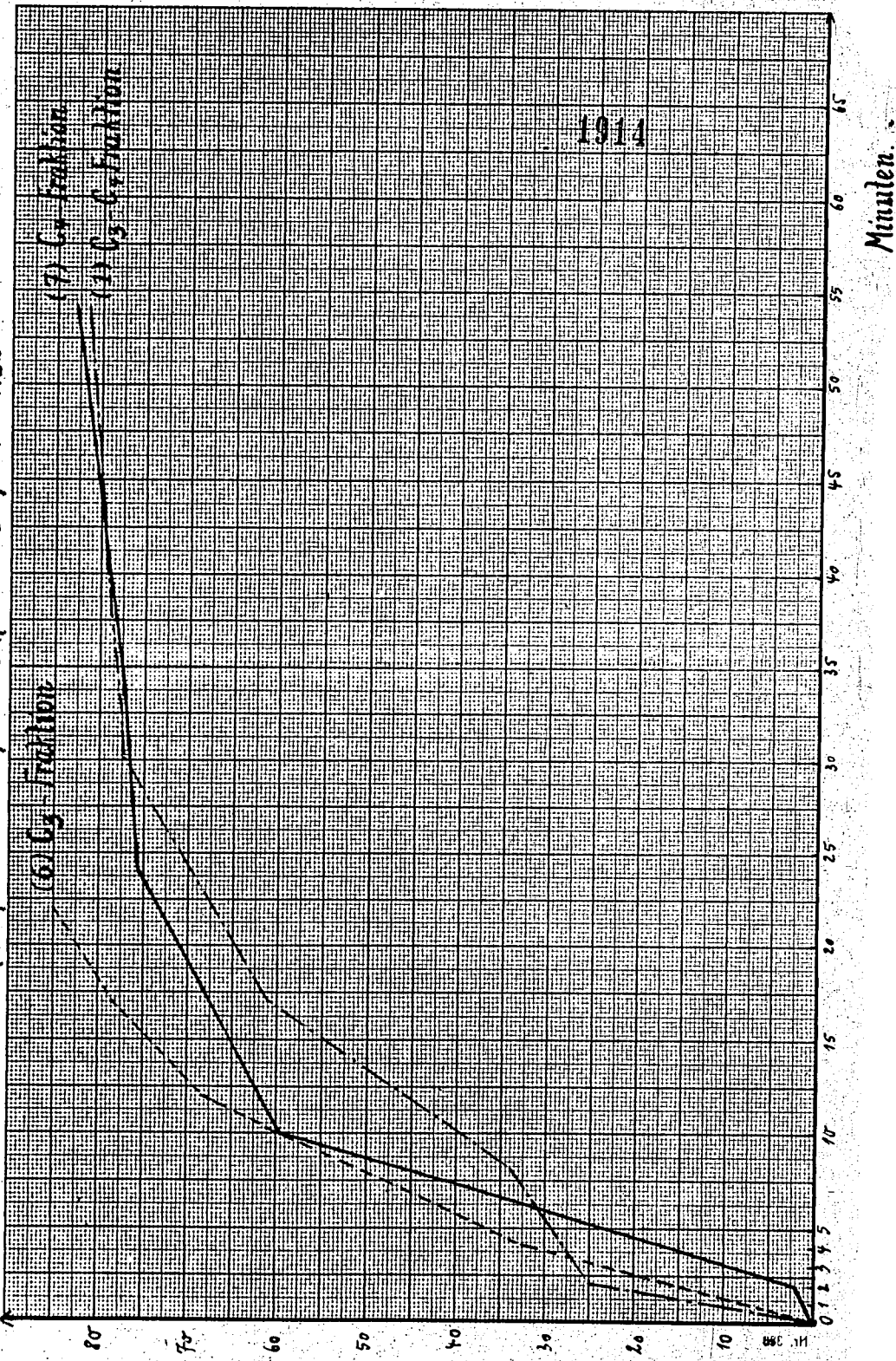
Vom eingesetzten Olefins v. v. v. v.  
sind vorhanden in Gew.-% Olefins v. v. v. v.  
Absorptionsbeding. C<sub>5</sub>H<sub>6</sub>-z-C<sub>4</sub>H<sub>8</sub> 1-C<sub>4</sub>H<sub>8</sub> v. v. v. v.  
C<sub>5</sub>H<sub>6</sub>-z-C<sub>4</sub>H<sub>8</sub> 1-C<sub>4</sub>H<sub>8</sub> v. v. v. v.

In Alkohol wurden  
umgewandelt  
z. v. C<sub>2</sub>H<sub>6</sub> - z. v. v. v. v.  
n-C<sub>4</sub>H<sub>8</sub> - analoge  
Einsatz

(1)	2	3a	3b	3c	4a	4b	5a	5b	6
1 75%ige H <sub>2</sub> SO <sub>4</sub>	40°	17,3	74,9	7,8	17,9	13,1	80,8	54,7	79,2
2 "	"	40,4	52,5	8,1	14,4	14,1	75,4	55,3	83,9
3 "	"	40,4	52,5	7,1	12,0	9,5	85,9	61,6	86,9
4 "	"	30,4	61,1	3,5	16,3	12,6	74,9	56,0	83,0
5 " (nach Voraus. des i-C <sub>4</sub> H <sub>8</sub> )	43,6	56,4	0,0	3,2	5,7	71,6	72,4	87,9	
6 75%ige H <sub>2</sub> SO <sub>4</sub>	40°	100	-	-	0,0	-	77	-	84,9
7 "	"	"	-	94,6	5,4	12,9	7,9	-	87,6

Ab. Prozessuale  
Absorption.

Absorptionskurven für verschiedene Olefine. Abb. 29.



1915

Bei dem Propylenversuch war bei Versuchsschluß der Endwert der Absorption noch nicht erreicht, wie eine Betrachtung der Kurve 6 (Abb. 19) zeigt. Bei der Absorption von Propylen in Abwesenheit von Butylen muß also die erreichbare Ausbeute an Isopropylalkohol über 77 % betragen.

Bei der Absorption von Butylen war zwar kein Propylen, aber noch Isobutylen vorhanden. Die Ausbeute an sek. Butylalkohol ist daher nicht größer als bei den früheren Versuchen.

Die höheren Ausbeuten an Isopropylalkohol erklären sich aus der unter III B 1a erwähnten Tatsache, daß der Ester des Isopropylalkohols unbeständiger ist als der Ester des sek. Butylalkohols und mit Wasser leicht in Isopropylalkohol und Schwefelsäure zerfällt. Auf diese Weise kann sich mit einer gegebenen Schwefelsäuremenge immer wieder Ester und anschließend Alkohol neu bilden. Beim sek. Butylalkohol besteht diese Möglichkeit in viel geringerem Umfang, da der entsprechende Schwefelsäureester zu beständig ist. Auch die Absorptionskurven der Abb. 19 bestätigen diese Tatsache, der erreichbare Endwert für die Propylenabsorption liegt deutlich höher als der entsprechende Wert für die Butylenabsorption.

Die Hünzversuche sind abschließend im Abschnitt IV zusammengestellt.

III B 3e Entwässerung durch azeotropes Destillation  
mit Benzol.

1916

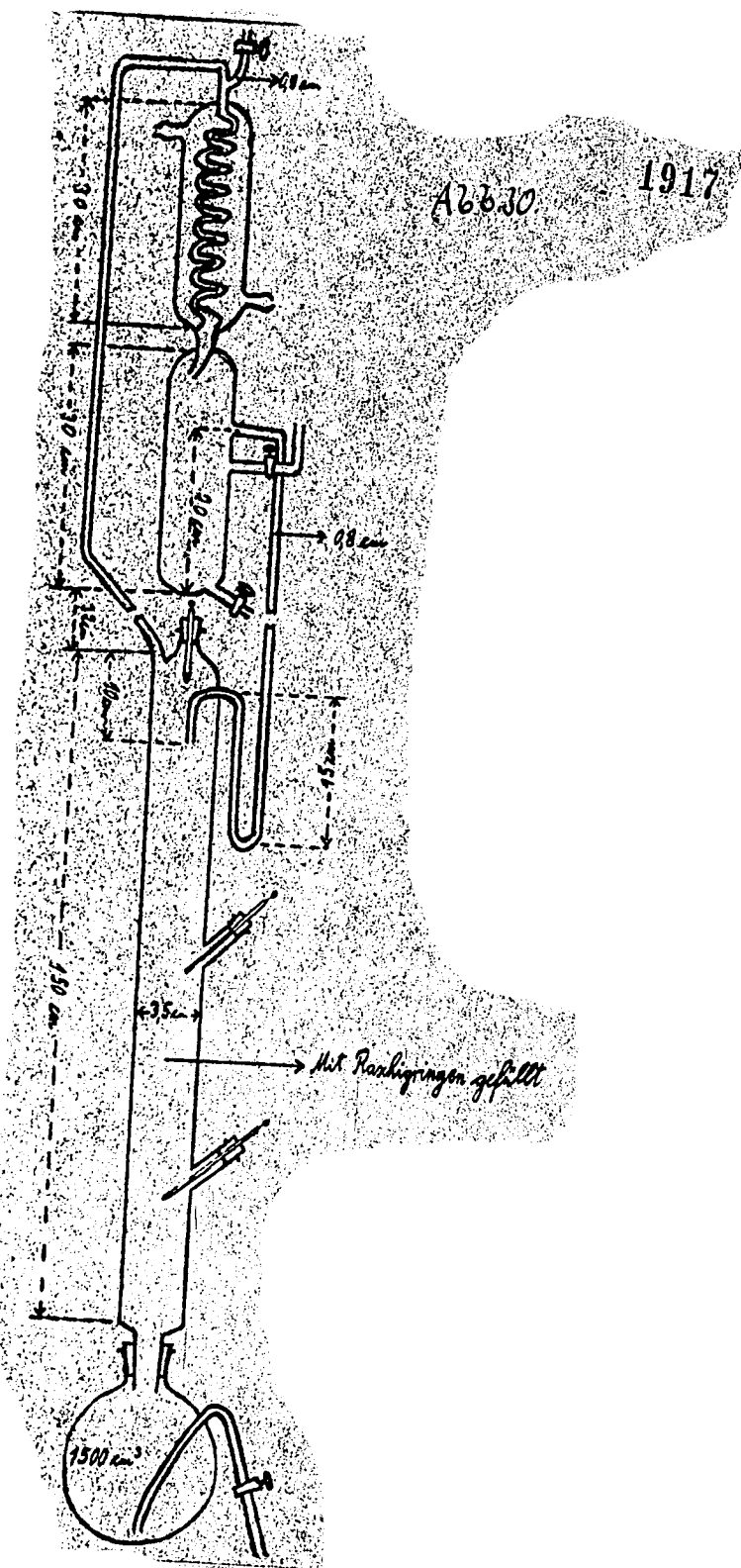
Der nach der Abtrennung der Hauptmenge des Benzins zurückbleibende etwa 30 %ige Alkohol wird zunächst einer Vorkonzentrierung unterworfen. Wie bereits angegeben wurde, destilliert bei 80,4° ein binäres Gemisch von 87,7 Gew.% iso-Propylalkohol und 12,3 Gew.% Wasser. Bei 87,5° geht das binäre Gemisch von 72,7 Gew.% sek.-Butylalkohol 27,3 Gew.% Wasser über. Man kann nun beide Gemische getrennt oder gemeinsam der azeotropen Entwässerung zuführen. Die bei der Vorkonzentrierung und Entwässerung auftretenden azeotropen Gemisch sind in nachstehende Tabelle verzeichnet:

Tabelle IV

Eigenschaften der binären und ternären Gemische aus iso-Propylalkohol, sek.-Butylalkohol, Wasser u. Benzol  
(nach den Siedepunkten geordnet)

System	iso-Propyl- alkohol	sek.-Butyl- alkohol	Wasser	Xindus Benzol	Rimka Siede- punkt °C	Dichte
	Gew.-%	Vol.-%	Gew.-%	Vol.-%	Gew.-%	V.-%
ternär	18,7	--	--	7,5	73,8	66,5
binär	--	--	--	8,83	91,17	69,25
"	33,6	--	--	--	66,4	71,92
"	--	--	--	--	--	--
"	87,7	91,1	88	12,3	8,9	80,37 0,8158
"	--	--	72,7	27,3	--	87,5 0,862

Die für eine azeotrope Destillation im Laboratorium verwendete Apparatur ist in Abb. 30 wiedergegeben. Zur Durchführung der Destillation wird der Kolben mit dem vorkonzentrierten Wasser-Alkoholgemisch und mit etwa 200 cm<sup>3</sup> Benzol gefüllt und erhitzt. Zunächst beginnt das am tiefsten siedende Gemisch aus Wasser, Benzol und Alkohol überzugehen. Sobald kein Wasser mehr vorhanden ist, geht das azeotrope Gemisch Alkohol-Benzol über, und wenn alles Benzol übergegangen ist, bleibt im Kolben der von Wasser und <sup>Benzol</sup> alkohol freie Alkohol zurück. In der Vorlage sind dann zwei Schichten. Unten Wasser und wenig Alkohol, oben Benzol und viel Alkohol. Man kann nun mit der abgebildeten Apparatur auch kontinuierlich arbeiten. Sobald der Alkohol im Kolben wasser- und benzolfrei ist, beginnt man damit, neues Wasser-Alkoholgemisch oben langsam zuzutropfen



1918

und aus dem Kolben den absoluten Alkohol im gleichen Maße abzuziehen. Das zutropfende Wasser-Alkoholgemisch gelangt zunächst durch den Kühler in die Vorlage und trifft dort zuerst auf die Benzolschicht. Das Benzol löst nur den Alkohol und wenig Wasser, der größere Teil des Wassers sinkt nach unten und wird dort in der gleichen Menge abgezogen, in der das Wasser zutropft. Die Benzolschicht der Vorlage reichert sich an Alkohol an und läuft daher durch den Überlauf in die Kolonne, die mit Raschigringen gefüllt ist. Bei richtig geführter Destillation stellt sich schließlich in der Kolonne durch Wärmeaustausch ein Gleichgewicht ein zwischen dem reinen Alkoholdampf, dem Alkohol-Benzoldampf und dem ternären Gemisch aus Alkohol-Benzol und Wasser. In dem unteren Teil der Kolonne ist dann nur der reine Alkohol ~~maxx~~<sup>maxx</sup>(Kp 62,4° bzw. 99,5°), im mittleren Teil der Kolonne Alkohol-Wasser- und Wasser-Benzol-Dämpfe (Kp etwa 70°) und oben geht um 67° das ternäre Gemisch von Wasser-Alkohol-Benzol über.

Es gelang mit der abgebildeten Apparatur absoluten, benzolfreien Alkohol zu bekommen. Die Dichte dieses Alkohols betrug 0,797.

Auf Benzol wurde durch Verdünnen mit Wasser geprüft; man erhielt dabei keine Trübung.

III B 4 Analyse des Rohalkohols und seiner Aufarbeitungsprodukte.

Zur Ermittlung des Reinheitsgrades von Rohalkohol und seiner Aufarbeitungsprodukte können verschiedene Wege eingeschlagen werden. Vor allem sind darin Wasser und Benzin zu bestimmen, möglicherweise auch noch Spuren von Schwefel.

4a) Die Wasserbestimmung im Alkohol kann aus der Dichte, durch Aussalzen mit Kaliumcarbonat und aus der OH-Zahl (OH.Z.) und der Verseifungszahl des bei der OH-Zahlbestimmung gemachten Esters (VZ.OH.Z.) erfolgen. Zwei weitere von der Firma Merck angegebene Methoden zur Wasserbestimmung beruhen auf den Umsetzungen:

$$1. \text{SO}_2 + 2\text{I}^- + 2\text{H}_2\text{O} = \text{H}_2\text{SO}_4 + 2\text{HI}$$

$$2. \text{Mg}_3\text{N}_2 + 6\text{H}_2\text{O} = 2\text{NH}_3 + 3\text{Mg}(\text{OH})_2$$

4a α) Die Wasserbestimmung durch die Dichte ist nur bei reinem Alkohol brauchbar, bei denen die Abwesenheit eines zweiten Alkohols und die Abwesenheit von Polymerbenzin gewährleistet ist. (vgl. die Tabellen der Abhängigkeit der Dichte von Wasser-Alkohol-Gemischen vom Wassergehalt, Ind. und Eng. Chem. Vol. 15, S. 1032). Die Abhängigkeit der Dichte von reinem iso-Propylalkohol und sek. Butylalkohol von der Temperatur ist in den Tabellen Tabelle 31-32 dargestellt.

4a β) Die Wasserbestimmung durch Aussalzen erfolgt am besten durch Schütteln mit wasserfreiem Kaliumcarbonat. Das Gewicht des Wassers  $m_1$  - Gewicht des Alkohols vor dem Schütteln - Gewicht des Alkohols nach dem Schütteln. Man kann das Wägen auch durch eine Dichte- und eine Volumbestimmung ersetzen, was den Vorteil hat, daß man durch die zweite Dichtebestimmung gleichzeitig erkennt, ob die Alkohole wirklich wasserfrei sind. Ihre Dichte ist dann bei  $20^\circ$  rund 0,8.

4a δ) Die Wasserbestimmung mittels der OH-Zahl (die OH-Zahl ist die Zahl, die angibt, wieviel Milligramm Kalilauge den veresterbaren Hydroxylgruppen, die in einem Gramm Substanz enthalten sind, äquivalent sind) eignet sich besonders für geringe Wassermengen. Da die OH-Zahl des Wassers sehr groß ist ( $= 3911,11$ ). Bestimmt man im wasserhaltigen Alkohol nach Kauffmann (B. 70, 2553) die OH-Zahl, so bildet sich dabei aus dem Alkohol der Ester, aus dem Wasser Essigsäure. Verseift man nun dieses Reaktionsprodukt mit einer abgemessenen Menge wässriger oder alkoholischer Kalilauge, so erhält man eine Verseifungszahl, die

1920

dem Alkohol allein entspricht. Es ist also:

Anfangs gefundene OH-Zahl - Verseifungszahl des Esters = % Hb

3 111

im Alkohol

(B.70,2553) Bestimmung der Hydroxylzahl mit Acetylchlorid nach Kauffmann.

Die zu untersuchende Substanz wird in einem 100 ccm Rundkolben eingewogen. Die Einwaage ist so zu wählen, daß ein mindestens 100%iger Überschuß von Acetylchlorid vorhanden ist. Die Probe wird in 5 ccm trockenem Pyridin gelöst und mittels der "Derona-Bürette" mit 5 ccm 1-1,5-molare Lösung von Acetylchlorid in Toluol vorsetzt, wobei die Spitze der Bürette gerade in die Lösung eintaucht. Man hat darauf zu achten, daß von dem Addukt aus Pyridin und Acetylchlorid nichts an der Bürette hängenbleibt. Darauf wird der Kolben mit einem gutschließenden Gummistopfen verschlossen und 5 Minuten im Wasserbad unter ständigem Schütteln auf 65-70° erhitzt. Man kühl dann unter der Wasserleitung ab, gibt 10 ccm Wasser hinzu, schüttelt kräftig durch und erhitzt noch 5 Minuten auf dem Drahtnetz mit aufgesetztem Steigrohr zum Sieden. Nach dem Abkühlen wird das Steigrohr mit Wasser gut durchgespült und die Mischung nach Zusatz von Phenolphthalein mit 0,5 n-alkoholischer Kalilauge titriert. Die S.Z. der Substanz ist gesondert zu bestimmen. Ein Blindversuch ohne Substanz ist in der gleichen Weise durchzuführen.

$$\text{OH-Zahl} = \frac{\text{Blindversuch-Hauptversuch}}{\text{Einwaage}} \cdot 28,055 + \text{S.Z.}$$

4a . 6) Wasserbestimmung durch Titration nach Merck  
(Abschrift)

#### Wasserbestimmung durch Titration.

(Prinzip: Zeitschrift für Angewandte Chemie, 48, 399/1935).

#### I. Bestimmung des Wassergehaltes organischer Flüssigkeiten.

##### a) Grundlage des Verfahrens.

Das Verfahren beruht auf der Umsetzung



welche in einem <sup>b</sup> wasserfreien Medium nur bis zu dem Punkt verlaufen kann, der dem Feuchtigkeitsgehalt der Analysenprobe entspricht. Solange sich das Wasser noch im Überschuß befindet, tritt eine Entfärbung der zufließenden tiefbraunen Jodlösung bzw. ein <sup>b</sup> Ablässen nach hellgelb ein. Der Endpunkt der Titration

wird an der ersten bleibenden Braunfärbung erkannt.

1921

b) Herstellung der Reagenslösung.

Das Reagens besteht aus einer absolut methylalkoholischen Lösung von J und  $\text{SO}_2$ , die zur Neutralisation der entstehenden Säuren überdies mit einem Überschuß an wasserfreiem Pyridin versetzt wird. Sämtliche beim Ansetzen der Lösung verwendeten Substanzen müssen soweit wie irgend möglich von Wasser befreit werden, da andernfalls der Wirkungswert der Lösung empfindlich zurückgeht.

Der Methylalkohol wird über frisch geglühtem, wasserfreiem Kupfersulfat getrocknet und abdestilliert; man benötigt zu einem normalen Ansatz etwa 1 Liter, stellt sich jedoch zweckmäßig etwa das Doppelte dieser Menge her, sodaß ein Teil des getrockneten Alkohols gleich für die weiter unten angegebene Eichflüssigkeit zur Verfügung steht. In 1 Liter des Methylalkohols werden zuerst 51 g Jod und darauf 15 g Pyridin gelöst. Letzteres läßt sich dadurch wasserfrei erhalten, daß es über Calciumhydrid abdestilliert oder mit  $\text{CaO}$  am Rückflußküller gekocht und dann abdestilliert wird. Es hat sich jedoch gezeigt, daß in vielen Fällen ein Präparat "pro analysi" bereits genügend trocken ist, sodaß sich ein nochmaliges Trocknen erübrigt. Zum Schluß erfolgt die Zugabe der schwefeligen Säure (38 g/Liter Methanol). Leitet man sie als Gas ein (aus Bisulfitlauge und  $\text{H}_2\text{SO}_4$  1 + 4 darzustellen!), so hat das Trocknen des Gasstromes mit ganz besonderer Sorgfalt zu geschehen. Zweckmäßig finden mit  $\text{CaCl}_2$  beschickte Trockentürme und anschließend mehrere Waschflaschen mit konz.  $\text{H}_2\text{SO}_4$  Verwendung. Das vorgelegte Methanol muß sorgfältig im Eisbad gekühlt werden. Der hohen Empfindlichkeit der Flüssigkeit gegen Feuchtigkeit wegen müssen alle Operationen bei der Herstellung – wie auch später die Aufbewahrung und Verwendung – der Lösung unter peinlichstem Fernhalten jeder Feuchtigkeit erfolgen.

c) Das Titrieren.

Das Titrieren erfordert insoffern eine gewisse Übung, als bei der außerordentlich großen Wasserempfindlichkeit des Reagens die am Umschlag entstandene Braunfärbung schon bei stärkerem Schütteln durch Berührung mit der Feuchtigkeit der Luft wieder in gelb umschlagen kann. Es hat sich als zweckmäßig erwiesen, die Reagenslösung, die sich in einer durch ein  $\text{P}_2\text{O}_5$ -Rohr gesicherten Bürette befindet, ziemlich rasch zur Analysenprobe zulaufen zu lassen, nicht kräftiger zu schütteln als zum Dutchischen oben nötig ist und die Titration in einem Reagenglas von etwa 2 cm Weite und etwa

etwa 50 ccm Inhalt vorzunehmen, damit die Berührungsfläche mit der Luft möglichst klein gehalten wird. Der Endpunkt kann unter diesen Arbeitsbedingungen auf etwa 0,2 ccm genau gefaßt werden.

#### d) Einstellung der Reagenslösung:

Man bestimmt den Blindverbrauch an Reagens für 10 ccm des oben beschriebenen weitgehend entwasserter Methylalkohols, stellt sich dann eine möglichst genaue 1 1/10e Lösung von H<sub>2</sub>O in diesem Methanol her und bestimmt wieder den Reagensverbrauch. Aus der bekannten Wassermenge und dem Mehrverbrauch an Reagens für den wässrigen Methylalkohol gegenüber der Blindprobe läßt sich der Wirkungswert der Reagenslösung leicht berechnen.

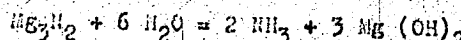
#### e) Haltbarkeit der Reagenslösung:

Der Wirkungswert der Lösung geht durch die Wasseraufnahme aus dem angrenzenden Raum allmählich etwas zurück, besonders bei öfterem Öffnen der Vorratsflasche, Umfüllen und dergl. die Haltbarkeit der Reagenslösung wird hierdurch nicht in Frage gestellt, wenn man, wie dies in jedem Fall zu empfehlen ist? den Wirkungswert durch eine schnell durchzuführende Eichmessung täglich neu bestimmt.

#### 4a. e) Wasserbestimmung mittels Magnesiumnitrid<sup>1)</sup>

Abschrift: Merck.

Die Wasserbestimmung mittels Magnesiumnitrid beruht auf der Zersetzung des Magnesiumnitrids durch Wasser entsprechend der folgenden Gleichung:



und Bestimmung des entstandenen Ammoniaks. Ca. 1 g der zu untersuchenden Probe wird auf der analytischen Waage in ein Wägegläschen eingewogen. Nach einer Einwage von ca. 5-7 g Magnesiumnitrid in einen Erlenmeyer mit einem doppelt durchbohrten Gummistopfen verschlossen. Durch die eine Durchbohrung führt ein Tropftrichter, durch die andere ein mit Naschigringen gefüllter Destillationsaufsatz nach Heitmeyer, der in einen vertikal stehenden Kühler übergeht. Die Verlängerung des Kühlers reicht bis zum Boden einer Saugflasche, die mit einer zur Bildung des Ammoniaks ausreichenden Menge Nünfel-Normal-Schwefelsäure gefüllt ist und mit der Wasserstrahlpumpe in Verbindung steht, um eine Zurücksteigen der Schwefelsäure bei Ausführung der Destillation zu verhindern. Die Bestimmung wird nun folgendermaßen ausgeführt:

Die im Wägegläschen eingewogene Probe wird mit einer bestimmten

1923

Menge absoluten Alkohols, dessen Wassergehalt vorher ermittelt worden ist, verdünnt und in den Tropftrichter eingefüllt; dann werden mit über Chlorkalzium getrocknetem Benzin die letzten Reste herausgespült. Der Tropftrichter wird mit einem mit Chlorkalzium gefüllten Trockenturm verbunden und ein langsamer Luftstrom mittels der Wasserstrahlpumpe durch die ganze Apparatur gesaugt. Es ist darauf zu achten, daß die Destillation so langsam durchgeführt wird, daß möglichst wenig Magnesiumnitrid mitgerissen wird. Destillation ist beendet, wenn ein Stoßen und Spritzen des Magnesiumnitrids erfolgt. Nach Unterbrechung der Destillation wird die Saugflasche abgenommen, ihr Inhalt in einen großen Erlenmeyer übergefüllt, mit destilliertem Wasser verdünnt und der Überschuss an Säure mit n/10 Natriolauge zurücktitriert. Von der so gefundenen Säuremenge muß die Menge, die für den absoluten Alkohol zum Verdunnen der Substanz gebraucht wurde, abgezogen werden.

Rechnung: 1000 com Säure entsprechen 5,405 g Wasser.

(bei 1 g Einwaage und 1 com n/10 Säure ist der Wassergehalt 0,54 Gew.-%).

1) Dietrich-Conrad, Zeitschrift für angewandte Chemie 1931, 52, 532.

4b) Die Benzinbestimmung im Alkohol kann durch Bestimmung der OH-Zahl und durch Verdünnen mit Wasser erfolgen. In wasserfreien Alkoholen läßt sich die Anwesenheit von Benz in auch durch Bestimmung des Brechungsin dexes ermitteln, vorausgesetzt, daß der Brechungswinkel des Benzins bekannt ist.

4b - α) Die OH-Zahlbestimmung wird wie oben angegeben durchgeführt. Verzichtet man auf eine Wasserbestimmung, so muß man gut vortrocknen, was mit Kaliumcarbonat oder geglühtem Natriumsulfat geschehen kann. Man braucht dann die Verseifung des bei der OH-Zahlbestimmung gebildeten Esters nicht unbedingt durchzuführen, sie ist aber doch eine gute Kontrolle auf Wasserfreiheit des untersuchten Gemisches. Der Gehalt an Polymerisat läßt sich aus der gefundenen Hydroxylzahl und aus der Hydroxylzahl des Alkohols oder Alkoholgemisches berechnen:

$$\frac{100 - \text{gefundene OH-Zahl}}{\text{OH-Zahl des Alkohols}} \cdot 100 = \text{Prozent Polymerbenzin im Gemisch}$$

OH-Zahl des reinen Propylalkohols = 933

" " Butylalkohols = 757

Die Abgenauigkeit der OH-Zahl-Methode beträgt etwa 1 %. Es ist deshalb schwierig, Polymerisat in Alkoholgemischen mit über 90 %

1924

Alkohol mit ausreichender Genauigkeit zu bestimmen, weil dann die Fehlergrenze für Benzin  $\pm 10\%$  beträgt. Bei Gemischen, die viel Benzin und wenig Alkohol enthalten, ist demgemäß der Fehler nicht so groß. z.B. beträgt er bei einem Gemisch von dem Benzin: Alkohol = 1:1 nur  $\pm 0,5\%$  für das Benzin. Schüttelt man nun Wasser-Alkohol-Gemische mit einem Überschub von Benzin und bestimmt in dem ungelösten Benzinanteil das Wasser und den Alkohol, so hat man neben viel Benzin wenig Wasser und Alkohol zu bestimmen. Der Fehler in der Benzinbestimmung ist also verhältnismäßig gering. Da die zu Beginn der Löslichkeitsbestimmung zugesetzte Benzinkmenge ebenso wie die ungelöst bleibende Benzin-Wasser-Alkoholschicht abgemessen wird, läßt sich nach der Bestimmung von Wasser und Alkohol die ungelöst gebliebene Benzinkmenge ausrechnen, woraus sich auch die gelöste Benzinkmenge ergibt. Aufgrund dieser Überlegungen und Tatsachen wurde die Löslichkeit von Polymerbenzin in Gemischen von Wasser-Alkohol, Wasser-Alkohol-Schwefelsäure und Wasser-Alkohol-Schwefelsäure-Ester bestimmt:

Die Löslichkeitsbestimmungen wurden in einem Kolben mit engem Hals, der mit einer Rechteilung versehen war und nach oben in einen weiteren Kolben mit Schliffstopfen überging, durchgeführt. Die wässrige Alkohollösung oder Alkohol-Wasser-Schwefelsäure-Lösung oder Alkohol-Wasser-Schwefelsäure-Esterlösung von bestimmter Zusammensetzung wurde in den Kolben (61 ccm) bis zu der Rechteilung gefüllt, eine abgemessene Menge Benzin (5 ccm) zugesetzt und umgeschüttelt. Das Benzin war immer im Überschub. Nach dem Umschütteln wurde die obere Schicht abgelesen, ein Teil abgesaugt und damit die Dichte bestimmt. Da die obere Schicht möglicherweise außer dem Benzin noch Wasser und Alkohol enthalten kann, wurde sie erst mit Natriumsulfat getrocknet und abermals die Dichte bestimmt. Aus der Änderung der Dichten läßt sich auf den meist <sup>Sehr</sup> geringen Wasser Gehalt schließen. Von der trockenen Benzin-Alkohollösung wurde nun noch die OH-Zahl bestimmt, woraus der Prozentgehalt an Alkohol errechnet wurde. Es ist eingesetztes Benzin minus ungelöstes Benzin gleich dem gelösten Benzin. Die Menge des gelösten Benzins wurde also aus der Differenz berechnet. Die Menge des <sup>un-</sup>gelösten Benzins erhält man aus dem Volumen der oberen Schicht und der Dichte des ge-

1925

trockneten Benzin-Alkoholgemisches durch Abzug des Alkohol-  
gewichts, das aus der OH-Zahl ermittelt wurde (gefundene OH-Zahl  
durch OH-Zahl des im Gemisch vorhandenen Alkohols; in der  
Mischung von Propyl- und Butylalkohol wurde die OH-Zahl des  
Butylalkohols gemessen, weil dieser leichter ins Benzin geht).  
Am sich müsste anstelle des Volumens der oberen Schicht noch das  
Wasser entzogen wird und dadurch eine Volumänderung eintritt.  
Bei den vorliegenden Messungen konnte dieser Fehler jedoch  
wegen des geringen Wassergehalts der oberen Schicht vernach-  
lässigt werden.

Das Endergebnis setzt sich aus 5 Einzelmessungen zusammen:

1. Es wurden 5 ccm Benzin mit einer geeichten Pipette abgemessen.
2. Es wurde in dem mit Maßstrichen von 1 mm Abstand versehenen  
Rohr (Teilung in 0,1 ccm) die Menge des ungelösten Benzins ab-  
gelesen.
3. Erste Dichtebestimmung.
4. Zweite Dichtebestimmung.
5. OH-Zahlbestimmung.

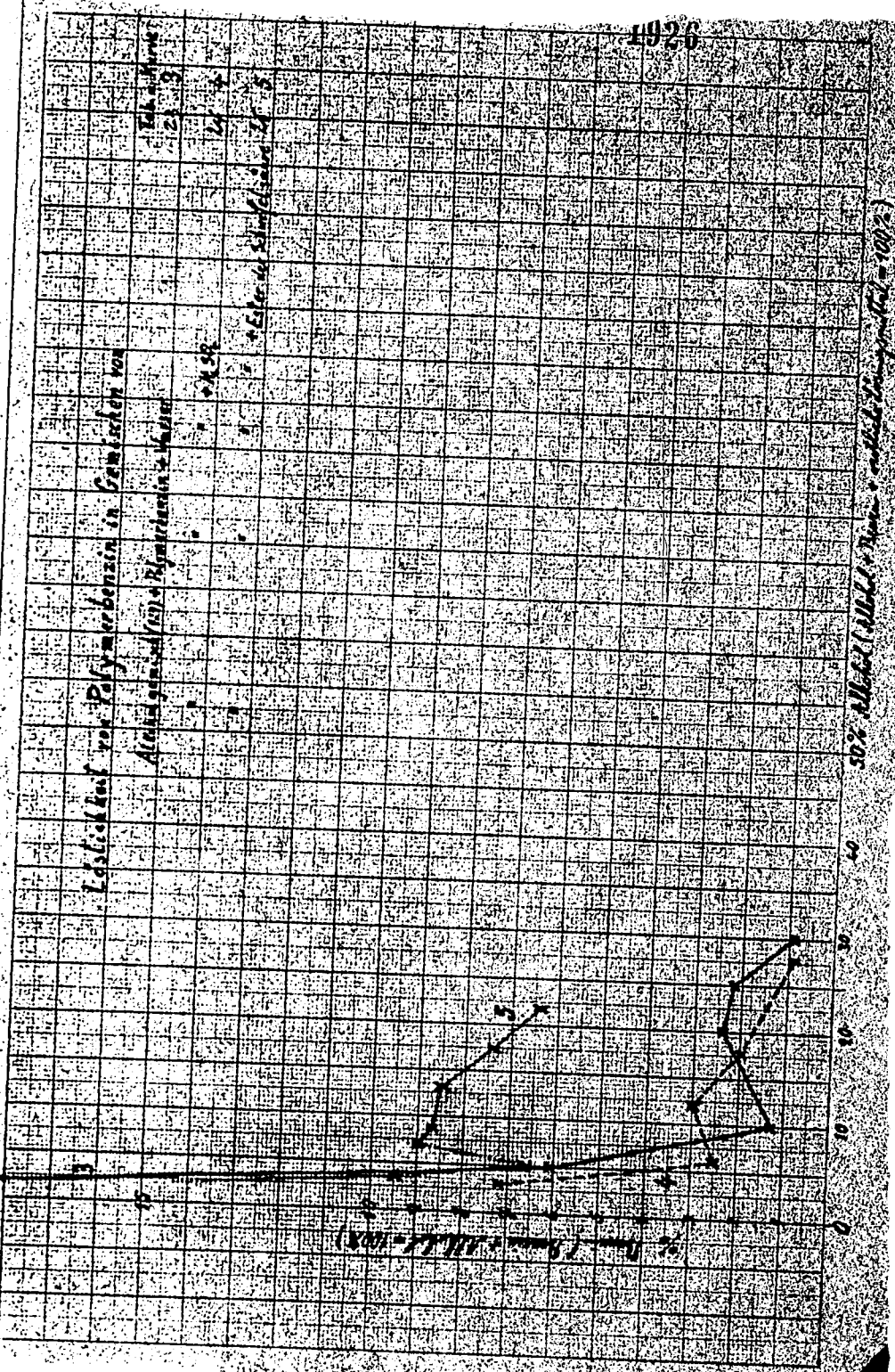
Da bei diesen Einzelmessungen die Zahl der Fehlerquellen ver-  
hältnismäig groß ist, sind die Fehlerabweichungen auch dementspre-  
chend anzusetzen.

Das für sämtliche Versuche angewandte Polymerbenzin war erst gründlich mit Wasser ausgewaschen worden, um etwa noch  
darin enthaltenen Alkoholreste zu entfernen. Es hatte nach dem  
trocknen die Dichte 0,753 ( $20^{\circ}$ ).

Der Iso-propylalkohol war von Merck.

Der Butylalkohol wurde aus Rohalkoholgemisch gewonnen: Entwässeretes Rohalkoholgemisch wurde fraktioniert  
destilliert. Die von 92-100° übergehende Fraktion wurde mit der  
8-10 fachen Gewichtsmenge Wasser verdünnt, wobei sich das Polymerbenzin als obere Schicht absetzte und abgetrennt wurde. Die in der wässrigen Butylalkohollösung noch vorhandene Trübung wurde  
mit Knochenkohle entfernt. Aus der klaren Lösung destillierte  
nun bei 86° siedendes Gemisch von hohem Alkoholgehalt ab, das mit  
Kaliumcarbonat und schliesslich mit Atzkalk vom Wasser befreit  
wurde. Durch eine weitere Fraktionierung des benzinfreien,  
trocknen Alkohols erhält man schliesslich in dem Siedeintervall  
von 98-99° den reinen Butylalkohol ( $n_D^{21,5} = 1,3965$  in Überein-  
stimmung mit der Theorie. Elementaranalyse berechnet: 64,9 %  
C 13,5 % H gefunden 64,4 % C 13,6 % H).

1956



52  
Tabelle 1: Löslichkeit von Polymerbenzin in iso-Propylalkohol-Wasser-Gemischen.

1927

Gew.% iso-Propylalkohol	2	5	10	20	25	30
% gelöstes 1. die wäss- Polymerben- rige Lö- zin bezogen sung. auf:	0,5	0,4	0,3	0,2	0,3	0,3
2. das wasser- freie Al- kohol-Ben- zin-Gem.	22,8	8,3	3,1	1,2	1,2	0,9

Tabelle 2: Löslichkeit von Polymerbenzin in sek.-Butylalkohol-Wasser-Gemischen.

Gew.% sek.-Butylalkohol	2	5	10
% gelöstes 1. die wäss- Polymerben- rige Lö- zin bezogen sung. auf:	0,2	0,4	0,3
2. das wasser- freie Al- kohol-Ben- zin-Gemisch	10,1	8,0	3,3

Tabelle 3: Löslichkeit von Polymerbenzin in iso-Propylalkohol-sek.-Butylalkohol-Wasser-Gemischen; die beiden Alkohole im Verhältnis 1:1.

Gew.% Alkoholgemisch 1:1	2	5	10	20	25	30
% gelöstes 1. die wäss- Polymerben- rige Lö- zin bezogen sung. auf:	0,4	0,3	0,1	0,5	0,6	0,3
2. das wasser- freie Al- kohol-Ben- zin-Gemisch	18,1	6,1	1,3	2,4	2,2	0,9

Tabelle 4: Löslichkeit von Polymerbenzin in Gemischen von iso-Propylalkohol-sek.-Butylalkohol-Schwefelsäure-Wasser; die beiden Alkohole im Verhältnis 1:1.

Gew.% H <sub>2</sub> SO <sub>4</sub> in H <sub>2</sub> SO <sub>4</sub> - ROH-Wasser-Gemisch	5	10	20	30	40
% gelöstes 1. das Ge- Polymerbenzin misch. bezogen auf: 2. das was- ser-u. säurefreie Alkohol- Benzin-Gem.	2,3	1,6	3,7	3,7	2,4
Gew.% Alkoholgemisch 1:1	3	6	12	17,7	27,9
% gelöstes 1. das Ge- Polymerbenzin misch. bezogen auf: 2. das was- ser-u. säurefreie Alkohol- Benzin-Gem.	7,2	2,5	3,0	2,0	0,9

1928

Tabelle 5: Löslichkeit von Polymerbenzin in Gemischen von iso-  
Propylalkohol-sec.-Butylalkohol-Schwefelsäure-Ester-  
Schwefelsäure-Wasser; die beiden Alkohole ungefähr im  
Verhältnis 1:1.

Gew.-% H <sub>2</sub> SO <sub>4</sub>	4	8	12	16	20	30	40	50
in Reaktions- gemisch								
Gew.-% Alkohol- gem. = 1:1	1,7	3,5	5,2	7,0	8,7	13,2	17,4	21,8
gem. Polymer- benzin auf 100 g umverte. Reaktionen cm.	6,0	1,4	1,4	1,0	0,83	0,33	0,12	0,0
gelöstes polymerben- zin bezogen auf:								
1. das Reaktions- gemisch	1,5	0,4	0,4	0,7	0,8	1,2	1,4	1,5
2. das Wasser freie, saure- u. esterfreie Alkohol-ben- zingeschicht	47	9,5	6,6	9,0	8,7	8,5	7,4	6,4

Tabelle 1 zeigt, daß sich die Löslichkeit des Polymerbenzins in den wässrigen Gemischen zwischen 1,4 und 0,2 % bewegt (Alkohol + Wasser + Benzinz = 100 %).

Setzt man Alkohol + polymerbenzin der verschiedenen Gemische = 100 %, so erhält man den in der dritten Zeile angegebenen %-Gehalt. Es ist daraus ersichtlich, daß sich bei der kleinsten Alkoholkonzentration die grösste Polymerbenzinnenge löst und man erst über 10% Alkoholgehalt im Gemisch zu einem Benzingschalt unter 3 % im entwässerten Alkohol gelangt. Das Gleiche gilt für Tabelle 2 und 3. Tabelle 4 zeigt eine erheblich grösere Löslichkeit des Benzins. Sie liegt zwischen 1,6 und 3,7 % (Alkohole + Wasser + Schwefel-  
säure + Polymerbenzin ist = 100 %). Die Frage, ob die Messgenauigkeit ausreicht, um damit die Lage eines Minimums an Löslichkeit bei 10 % H<sub>2</sub>SO<sub>4</sub> im Gemisch festzulegen, muss dabei allerdings unbestimmt bleiben.

In Tabelle 5, Zeile 3 ist wieder gegeben, wieviel Polymerbenzin sich aus 100 g Reaktionsgemisch (d= 1,279, 56,7 % H<sub>2</sub>SO<sub>4</sub> aus dem Ansatz ber.) bei einer Verdünnung auf den angegebenen %-Gehalt Schwefelsäure ausscheidet. Zwischen 8 und 12 % Schwefelsäure scheidet sich der grösste Teil des im Reaktionsgemisch gelösten Polymerbenzins ab. Um nun zu ermitteln, wie gross die Gesamtmenge des im ursprünglichen Reaktionsgemisch enthaltenen Polymerbenzins ist, wurde es auf 10 % Schwefelsäure verdünnt, die obere Schicht

1929

abgetrennt und die untere destilliert. Das Destillat wurde mit Wasser auf 13 % Alkohol + Benzin verdünnt. Dabei blieb ungefähr 1/8 des ursprünglich im Reaktionsgemisch enthaltenen Benzins als obere Schicht unlöslich. Ein weiteres Achtel war noch in der wässrigen Schicht enthalten, wie aus Tabelle 23 errechnet wurde.

Es steht also eindeutig fest, dass selbst unter den günstigsten Verdünnungsbedingungen des Reaktionsgemisches noch ein Viertel des ursprünglich im Reaktionsgemisch gelösten Polymerbenzins in Lösung bleibt, was im wasserfreien Alkohol dann einen Gehalt von 7-10 % Polymerbenzin ergibt. In dem ursprünglichen Reaktionsgemisch ( $d_{15}^{15} = 1,277$ , 55,5 % Schwefelsäure nach dem Ansatz ber.). sind also 1,9 - 2,7 Gew.% gelöst.

Früher (Bilanz der Alkoholbildung in den halbtechnischen Versuchen bei der Ruhrchemie 3.8.38) waren aus 10 Aufarbeitungen im Reaktionsgemisch 27,4 % Alkohol + Benzin und aus einer Reihe von Hydroxylzahlen 10 % Benzin im Alkohol-Benzin-Gemisch gefunden worden. Das ergibt 2,7 % Benzin im Reaktionsgemisch, die gleiche Zahl, die auch durch direkte Löslichkeitsmessung gefunden wurde.

1930

III B 4b γ) Die refraktometrische Bestimmung des Benzins in Alkoholgemischen lässt sich nur qualitativ durchführen. Zur quantitativen Bestimmung ist die Einheitlichkeit des Polymerbenzins zu gering. Außerdem wirken schon geringe Mengen Wasser störend. Denn da der Brechungsindex des Polymerbenzins über dem der Alkohole, der des Wassers jedoch weit darunter liegt, ist es möglich, daß bei einem Gemisch von Alkohol mit wenig Polymerbenzin und wenig Wasser der Brechungsindex des reinen Alkohols gemessen wird. Die Alkohole, die refraktometrisch auf Polymerbenzin geprüft werden sollen, müssen also, wie bereits erwähnt, völlig trocken sein. Nachstehende Tabelle gibt die Brechungsindizes, der für die vorliegenden Versuche in Betracht kommenden Flüssigkeiten wieder:

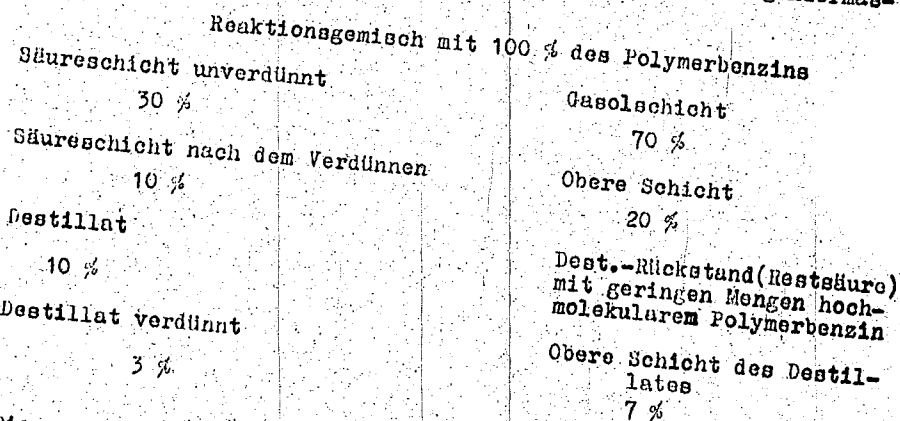
Tab. 26

Substanz	Brechungsindex bestimmt bei °C	$N_D$
iso-Propylalkohol	20	1,37757
"	25	1,37592
sok.-Butylalkohol	19,1	1,39743
"	25,3	1,3949
tert.-Butylalkohol	15	1,399946
Wasser	20	1,38779
Hexen-(1)	20	1,332988
Heptan-(3)	20	1,3870
Ckton-(1)	--	1,4035
Diethyläther	16	1,4157
Bi-isopropyläther	20	1,3538
Kohopolymerbenzin(Ruhrcemic)	23	1,3678
Alkoholfaktion	24	1,4205
n-Dibutyläther	24	1,3871
	15	1,39906

1931

III B 4b 6) Gewinnung und Analyse des Polymerbenzins. Bestimmung und Entfernung des Schwefels.

Das Polymerbenzin, das bei der Umsetzung von Gasol mit Schwefelsäure entsteht, tritt im Verlaufe der Aufarbeitung an verschiedenen Stellen auf, wie bereits gezeigt wurde. Schematisch lässt sich der Weg des Polymerbenzins während der Aufarbeitung folgendermassen darstellen:



Die angegebenen Zahlen sollen nur ungefähr einen Anhaltspunkt bilden und sind gemäß dem Verteilungssatz weitgehend von dem anfänglichen Mengenverhältnis von Gasol und Reaktionsgemisch abhängig. Die Zusammensetzung des Polymerbenzins ist abhängig von der Temperatur, bei der es entsteht, und von der Säurekonzentration. Der Einfluss dieser Faktoren wurde bereits bei der Darstellung ausführlich besprochen.

Das Polymerisat ist ein Gemisch von Monoolefinen, deren Mengenverhältnis durch die Siedeanalyse ermittelt werden kann. Aus den Siedekurven (Seite 7) geht hervor, daß das bei den üblichen Arbeitsbedingungen entstehende Polymerbenzin 50-70 % Okten enthält. Nennenswerte Mengen Hexen enthält das Polymerisat nicht. Auch der Heptenanfall kann nicht groß sein, da sich 1% des umgesetzten Propylens als Alkohol nachweisen lassen. Das Butylen setzt sich nur zu 1% in Alkohol um, der Rest ist Polymerisat. Es konnte auch nachgewiesen werden, daß sich reiner sek.-Butylalkohol in schwefelsaurer Lösung weit schneller in Polymerisat verwandelt als isopropylalkohol. In einem Gemisch aus 55,5%  $H_2SO_4$ , 33,0% sek.-Butylalkohol und 11,5% Wasser, war nach 40 Minuten bei 99° 36% polymerisiert und ein weiterer Prozentsatz als Butylen abgespalten.

1932

In einer Wiederholung des Versuches wurden 32 % Polymerisat und 13,7 % Butylen gefunden (Über Olefinabspaltung vgl. Seite 1). Ein Gemisch aus 55,5 %  $H_2SO_4$ , 33,0 % iso-Propylalkohol und 11,5 % Wasser er gab unter den gleichen Bedingungen nur 12 % Polymerisat und Propylen, das aber nicht gemessen wurde. Längerer Stehen von Reaktionsgemisch erhöht die Polymerisatmenge auch bei Zimmertemperatur. Da das Veresterungs-Gleichgewicht bei dem sek.-Butylalkohol viel weiter auf der Esterseite liegt als bei dem iso-Propylalkohol (vgl. Seite 1), liegt die Annahme nahe, daß die stärkere Polymerisationsbildung aus dem sek.-Butylalkohol von der größeren Esterkonzentration abhängt. Weitere Versuche zur Aufklärung des Reaktionsmechanismus der Polymerisation wurden nicht angestellt, da es darüber zahlreiche Veröffentlichung gibt (siehe z.B. B. 71, 215).

Zur Charakterisierung des Polymerbenzins zieht man außer der Siedeanalyse die Jod- und Oktanzahl, die Dichte, den Brechungsindex  $n_D$  und das Durchschnittsmolekulargewicht heran.

Die Jodzahl bestimmt man besten nach Kauffmann (Über die Bewertung der verschiedenen Methoden zur Jodzahl-Bestimmung siehe Brennstoff-Chemie 1938, 417-427). In einem Gemisch von Olefinen und gesättigten Kohlenwasserstoffen kann man aus der Jodzahl und dem Durchschnittsmolekulargewicht den Prozentgehalt an Olefinen ausrechnen:

$$\frac{\text{Jodzahl} \cdot \text{Durchschnitts-M.G.}}{253,8 \cdot 100} = \% \text{ Olefine im Gemisch}$$

Auch kann man in einem Gemisch, das nur Monoolefine enthält, aus der Jodzahl das Durchschnittsmolekulargewicht ausrechnen:

$$\frac{253,8 \cdot 100}{\text{Jodzahl}} = \text{Durchschnittsmolekulargewicht.}$$

Die Oktanzahl des Polymerbenzins (aus Ruhrchemie-Versuchen) lag bei 104, die Misch-Oktanzahl betrug 135 bei Verwendung von Fischer-Primärbenzin.

Die Dichte betrug bei  $20^\circ$  0,76.

Schwefelbestimmung und Entfernung des Schwefels. Das Polymerbenzin enthält immer geringe Mengen von Schwefel. In welcher Form der Schwefel vorliegt, ist nicht sicher. Beobachtungen, die allgemein bei Untersuchung des Polymerbenzins gemacht wurden, sind folgende:

1. Es tritt bei der Annahme von Reaktionsgemisch aus dem Autoklaven immer  $SO_2$ -Geruch auf.

2. Destilliert man Roh-Polymerbenzin, das man vorher mit Natronlauge gekocht hat, so sputtet sich dabei  $SO_2$  ab.

3. Aus Versuchen mit Äther-Schwefelsäure konnte ein cyclischer Ester

1933

der schwerflügigen Säure, das Oktansulfon, isoliert werden.

Der Nachweis des Schwefels erfolgt durch Verbrennung des Polymerbenzins in einer Lampe. Der Schwefelgehalt des Polymerbenzins schwankt je nach ~~Art~~ ~~Art~~ dessen Herkunft und Vorbehandlung zwischen 0,1 und 3 %. Roh-Polymerbenzin, das aus Versuchen bei der Aufrichterhebung stammte, enthielt 0,1 - 0,15 % Schwefel. Das Polymerbenzin mit hohem Schwefelgehalt (2-3 %) wurde besonders bei Ltherversuchen aber auch bei Versuchen mit wässriger 75 %iger Schwefelsäure erhalten. Langsame Stichen des Polymerbenzins über Schwefelsäure sowie hohe Temperaturen erhöhen den Schwefelgehalt im Polymerisat.

Der Schwefel löst sich aus dem Polymerbenzin mit Wasser oder wässriger Natronlauge auch bei Siedetemperatur nicht entfernen. Erst wenn man unter Druck arbeitet und stärker erhitzt, tritt eine Entschwefelung ein. Rohpolymerbenzin (Kührchemie) vor und nach dem Kochen mit 2n-Natronlauge enthielt 0,15 % S. Nach 15-stündigem Erhitzen auf 162° (17,5 at) enthielt es nur noch 0,007 % S.

Im Unterschied zum alkalischen ~~Zehnwasser~~ Entschwefelung lässt sich die Entschwefelung in saurer Lösung leichter durchführen. So konnte der Schwefelgehalt nach 1-stündigem Kochen mit etwa 1n-Schwefelsäure von 2,5 % auf 0,5 % herabgesetzt werden. Bei weiterem Kochen löst sich der Schwefelgehalt noch mehr verringern. Das gleiche Polymerbenzin war vorher ohne Erfolg mit Natronlauge gekocht worden. X) yf 559.

III B 4c Schwefel. Im Alkohol konnte nach Entfernung des Polymerbenzins kein Schwefel nachgewiesen werden.

III B 5 Restsäure (Destillationsrückstand).

Nach dem Abdestillieren der Alkohole und des restlichen Polymerbenzins aus dem verdünnten Reaktionsgemisch bleibt eine 20-40 %ige Schwefelsäure zurück, auf der meistens noch wenige Tropfen von hochmolekularem Polymerisat schwimmen. Die Säure, die zu Beginn der Verseifung eine weinrote Farbe hat, wird zu Ende des Abdestillierens des Alkohols dunkler. Sie wurde als Restsäure bezeichnet.

5a) Schwefelsäurebilanz. Es lässt sich nachweisen, daß die zu Beginn der Absorption eingesetzte Schwefelsäure sich nahezu quantitativ in der Restsäure wiederfindet. So wurde z.B. in einem Versuch 99,6 % der zu Beginn des Versuches eingesetzten Schwefelsäure wiedergefunden. 0,5 % der Säure waren in  $\text{SO}_2$  umgewandelt und 0,14 % fanden sich in ~~zähflüssigem~~ Polymerisat (0,1 %) und Alkohol ( $\sim 0,04 \%$ ) als Reduktionsprodukt der Schwefelsäure oder einem org. Derivat davon.

1934

Dabei ist hervorzuheben, daß bei diesem Versuch die Ausgangsschwefelsäure noch Dimethyläther enthielt, der die Bildung von Reduktionsprodukten aus Schwefelsäure erleichtert. Es wird zwar auch bei Absorption mit wässriger Schwefelsäure ein Teil der Säure reduziert, er ist aber weit geringer als bei Versuchen mit Äther-Schwefelsäure. - Sulfonsäuren können nur in Spuren vorhanden sein.

<sup>†</sup>) zu S. 58.

Bei einem weiteren Versuch wurde die Entschwefelung durch Wasser dampfdestillation des Polymerisats über 30 %iger Schwefelsäure durchgeführt. Das eingesetzte gelbe Polymerisat mit der Dichte 0,741 enthielt 0,11 % S. Nach 25 Minuten waren rund 94 % farbloses Benzin von der Dichte 0,733 übergegangen. Der Schwefelgehalt betrug jetzt nur noch 0,02 %. Nach weiteren 25 Minuten gingen noch rund 5,5 % eines gelben Öls mit der Dichte 0,795 und mit 0,16 % S über. Auf der Säure schwamm ein dickes gelbes Öl (ca. 0,5 % v. Einsatz) mit rund 1,2 % S. Beim Konzentrieren auf 75 % färbte sich die Säure dunkelbraun. Bei nicht zu weit getriebener Wasser dampfdestillation über 30 %iger Schwefelsäure erreicht man also ein weitgehende Entschwefelung des Polymerisats.

1935

III B 5b Niederverwertung der Restsäure:

Die Restsäure kann wieder zur Absorption eingesetzt werden, wenn sie durch Eindampfen auf 75 %  $H_2SO_4$  gebracht wird. Bei dieser Konzentrierung färbt sich die Säure schwarz, es spielt hierbei keine Rolle, ob die Säure bei Normaldruck oder im Vacuum konzentriert wird. Beim Zinzen unter Normaldruck beobachtet man bei einem Gehalt von 60 %  $H_2SO_4$  zuerst Braunerbung, nach kurzer Zeit tritt Schwarzfärbung auf. Die Säure kann durch heiß- oder kaltfiltration über Aktivkohle oder über Tonsil entfärbt werden. Vor der Filtration auf die Säure auf ungefähr 43 % verdünnt werden. Bei zu hoher Konzentration bildet die Säure mit dem Filtermedium einen dicken Brei. Bei erneuter Konzentrierung färbt sich die filtrierte Säure bei einem Gehalt von 60 %  $H_2SO_4$  wieder schwarz. Selbst durch eine dritte Filtration waren die verhüllenden Substanzen nicht zu entfernen.

Durch Extraktion mit Chloroform gelang es, aus 100 cm<sup>3</sup> einer 26% igen Restsäure 0,15 g einer paraffinartigen weißen Substanz zu isolieren, die in Natronlauge löslich ist. Beim Erhitzen im Kugelzettel schmilzt die Substanz zu kleinen Tröpfchen. Auch nach der Extraktion färbt sich die Säure beim Konzentrieren wieder schwarz.

Bei einem späteren Versuch wurde eine Restsäure aus einer Kaskadenverseifung nach vorherigem Eindampfen auf 83%  $H_2SO_4$  und anschließender Verdunstung mit Chloroform extrahiert. Aus 1500 cm<sup>3</sup> Säure mit der Dichte 1,186 erhielt man etwa 0,2 g eines schwarzen halbfesten Rückstandes, der sich nicht in Natronlauge löste.

Die Schwarzfärbung der Säure hat auf die Wirksamkeit bei der Absorption keinen Einfluss. So konnte eine dreimal regenerierte Säure ohne Nachteil wieder verwendet werden. Die Polymerisation war nicht größer als mit frischer Säure. Die Absorptionsgeschwindigkeit gehörte sogar etwas höher zu sein als bei Verwendung von frischer Säure.

1936

IV Bilanz

A. Verarbeitung eines Gasols, das C<sub>3</sub>H<sub>6</sub>, n-C<sub>4</sub>H<sub>8</sub> und i-C<sub>4</sub>H<sub>8</sub> enthält.

Olefingehalt des eingesetzten Gasols:

Olefin	Sew. %	Vol.-%
C <sub>3</sub> H <sub>6</sub>	5,53	7,04
i-C <sub>4</sub> H <sub>8</sub>	1,11	3,86
n-C <sub>4</sub> H <sub>8</sub>	27,2	24,25

Gasolbilanz

<u>Gasoleinsatz</u>	: 1000 g
Aufnahme i.d. Säure	: 201,1 g
Restgasol + Polymerisiert	: 713,4 g
Autoklavgas des Autoklaven 16 l	: 34,1 g
<u>Urhob. + Umsp. Gas d. Stens 15 l</u>	: 31,9 g
	980,5 g
Varietät 19,5 g = 2 %	

Olefinbilanz

<u>Mol. H<sub>2</sub>SO<sub>4</sub></u>	= 1,17
---	--------

Mol Olefin

<u>Olefineinsatz:</u>	55,8 g C <sub>3</sub> H <sub>6</sub> + 252 g n-C <sub>4</sub> H <sub>8</sub> + 40,1 g i-C <sub>4</sub> H <sub>8</sub> = 347,9 g
Aufnahme i.d. Säure:	201,1 g = 57,8 % v. Olefinsatz
C <sub>3</sub> H <sub>6</sub> in insgesamt 339 l Restgasol:	
	0,14 % = 0,9 g = 1,6 % v. C <sub>3</sub> H <sub>6</sub> -Einsatz
n-C <sub>4</sub> H <sub>8</sub> in insgesamt 339 l Restgasol	
sol:	8,1 % = 66,8 g = 26,5 % v. n-C <sub>4</sub> H <sub>8</sub> -Einsatz
Polymerisiert	
Stabilisiertes Polymerisiert	: 69,6 g = 20,0 % v. Olefineinsatz
bei der Stabilisation entweichen-	
des Olefin	: 4,1 g = 1,2 % v. Olefineinsatz

342,5 g

Varietät 5,4 g = 6,1 %

62

1937

Absorbierte Olefinmengen, aus der Gasanalyse berechnet:

Olefin	Einsatz im Restgasol	absorbiert bzw. wiedergefunden polymerisiert
--------	----------------------	---

C <sub>3</sub> H <sub>6</sub>	55,8 g	0,9 g	94,9 g
n-C <sub>4</sub> H <sub>8</sub>	252 g	56,8 g	185,2 g
i-C <sub>4</sub> H <sub>8</sub>	40,1 g	0 g	40,1 g

insgesamt absorbiertes Olefin 280,2 g = 80,5%ige Absorption

Sie im Rohalkohol (= Alkohol + Benzin + Ather) übergeführten Olefinmengen erhält man, wenn man das Polymerisat aus Gasol und dem Olefinverlust bei der Verseifung von dem absorbierten Olefin subtrahiert. Hierbei wird angenommen, daß Propylen weder polymerisiert noch bei der Verseifung abgespalten wird.

Stabilisiertes poly. aus Gasol : 69,6 g

polymerisiertes Isobutylein : 40,1 g

Polymerisiertes n-Butylen : 29,5 g = 11,7% v. n-C<sub>4</sub>H<sub>8</sub>-Einsatz

Bei einer Stabilisation des poly.

erhaltenes Olerin, als n-C<sub>4</sub>H<sub>8</sub>

gerechnet : 4,1 g

Bei der Verseifung abgespaltenes

Olerin, als n-C<sub>4</sub>H<sub>8</sub> gerechnet : 4,0 g

Absorbiertes, aber nicht in Al-

kohol umgewandeltes n-C<sub>4</sub>H<sub>8</sub> : 37,6 g = 14,9% v. n-C<sub>4</sub>H<sub>8</sub>-Einsatz

Olefin absorbiert bzw. bei d. Absorp. in Alkohol umgew. zu erwartende  
poly. Olefin u. Verseifung Olefin Alkoholmenge  
nicht in alkohol. g % v. Eins.  
umgew. Olefin

C <sub>3</sub> H <sub>6</sub>	54,9 g	-	54,9	98,5	73,4 g
n-C <sub>4</sub> H <sub>8</sub>	185,2 g	37,6 g	147,6	73,5	245 g

63

iv

1938

Aufarbeitung des Rohalkohols nach der Verseifung.

Aufarbeitung des Rohalkohols nach der Versiegelung:  
 Getrocknete obere Schicht nach wiederholtem Auswaschen mit Wasser 4,0 f  
 OH-Zahl: 377, entsprechend 49,8 % = 2,0 g Alkohol (berechnet als sek.-  
 Butylalkohol).

KButylalkohol). Wassergehalt, bestimmt nach Dietrich und Conrad : 1,0 %  
 Restliche Menge der oberen Schicht, berechnet : 2,0 g  
 als Butylenpolymerisat

## Fraktionierung des verdünnten Alkohols.

1939

IV B Verwendung eines Gases, das nur Propylen und Propan enthält.

Propylengehalt des eingesetzten Beurag-Propan: 27,7 %

<u>Einsatz an Beurag-Propan</u>	: 850 g
Aufnahme in der Säure	: 200 g
restiges (polym. nicht verb.)	: 545 g
Unterspannungsgas + Trüben	: 112,5 g

857,5 g

Differenz + 7,5 g = 0,9 %

Propylenbilanz.

Mol H <sub>2</sub> SO <sub>4</sub>	= 1,26
Mol C <sub>3</sub> H <sub>6</sub>	

<u>Propylen-einsatz</u>	: 255 g
aufnahme in der Säure	: 200 g = 79 % v. Einsatz
C <sub>3</sub> H <sub>6</sub> im Insges. 343 g	
restiges : 5,6 g	: 41,7 g = 16,2 % v. Einsatz
	241,7 g

Verlust 10,3 g = 4,1 %

H<sub>2</sub>SO<sub>4</sub>-Bilanz.

Zinsatz : 933 g 75 %ige Säure	= 745 g H <sub>2</sub> SO <sub>4</sub>
Rest-Säure : 2880 g 25,6 %ige	
Säure	= 729 g H <sub>2</sub> SO <sub>4</sub>

Verlust : 16 g = 2,1 %

Absorbierte Alkoholmengen aus der Gasanalyse berechnet:

Einsatz : 255 g C<sub>3</sub>H<sub>6</sub>

in festgepol. wieder-

gefunden : 41,7 g

Insges. absorbt. C<sub>3</sub>H<sub>6</sub> 213,5 g = 85 % vom Einsatz

zu erwartende Alkohol-

mengen : 305 g

nach der Verseifung

und Destillation ge-

fundene Alkoholmenge : 278 g = 194,5 g C<sub>3</sub>H<sub>6</sub> = 77 %

vom Propylen-einsatz

= 91,2 % der ber. Menge

IV C Verwendung eines Gasols, das nur n-Butylen und Isobutylene enthält.

Olefingehalt des eingesetzten Gasols:

Olefin Vol % Gew.%

C <sub>3</sub> H <sub>6</sub>	0,0	-
n-C <sub>4</sub> H <sub>8</sub>	44,5	44,1 btr.Gew. : 2,64
i-C <sub>4</sub> H <sub>8</sub>	2,65	2,52

Gasolbilanz:

Gasoleininsatz	; 750 g
Aufnahme in der Säure	: 249,5 g
Restgasol + kohl.	: 425,5 g
Entspannungsgas des Autokl. + restl.	
Entspannungsgas d. des Esters (24 l)	; 57 g
	732,0 g
Verlust	18 g = 2,4 %

Definitbilanz:

$$\text{Mol H}_2\text{SO}_4 = 1,13$$

Mol Olefin

Olefineinsatz: 331 g n-C<sub>4</sub>H<sub>8</sub> + 14,9 g i-C<sub>4</sub>H<sub>8</sub> = 349,9 g  
 Aufnahme in der Säure : 249,5 g = 71,2 % vom gesamten Olefineinsatz  
 = 75,4 % vom n-C<sub>4</sub>H<sub>8</sub>-Einsatz

n-C<sub>4</sub>H<sub>8</sub> in insges. 177 l  
 Restgasol (9,8%) : 43,4 g = 15,1 % vom n-C<sub>4</sub>H<sub>8</sub>-Einsatz  
 stabilisiertes kohl. : 45,0 g = 12,9 % vom ges. Olefineinsatz

37,9 g

Verlust 12,0 g = 3,4 %

Absorbierter Olefinmenge aus der Gasanalyse berechnet:

1941

Olefin Einsatz im Restgasol absorb. bzw.  
wiedergefunden poly. olefin

$n\text{-C}_4\text{H}_8$	331 g	43,4 g	287,6 g
$i\text{-C}_4\text{H}_8$	18,9 g	0	18,9 g
inges. absorbierten olefin			: 306,5 g =

7,9 %ige absorption

stabilisiertes polym. Isobutanol : 45,0 g

polymerisiertes Isobutylein : 18,9 g

polymerisiertes n-Butylen : 26,1 g = 7,9 % vom

$n\text{-C}_4\text{H}_8$ -Einsatz

bei der Stabilisierung des Polym.

erhaltenes  $n\text{-C}_4\text{H}_8$  : 4 g

bei der Verseifung abgespaltenes

$n\text{-C}_4\text{H}_8$  : 5 g

absorbiertes, aber nicht in

Alkohol umgewandeltes  $n\text{-C}_4\text{H}_8$  : 35,1 g = 10,6 % vom

$n\text{-C}_4\text{H}_8$ -Einsatz

absorb. bzw. bei d. Absorpt. u. in Alkohol zu erwartende  
Polym.  $n\text{-C}_4\text{H}_8$  Verseifig. nicht in umgewandelter  $n\text{-C}_4\text{H}_8$  Alkoholmenge

alkoh. umgew.  $n\text{-C}_4\text{H}_8$  g % v.tins.

287,6 g	35,1 g	252,5 g	76,1	334 g
---------	--------	---------	------	-------

aufarbeitung des Reaktionsels nach der Verseifung:

betrocknete obere Schicht nach wiederholtem Auswaschen mit

Wasser : 15,2 g mit 59,9 % = 9,1 g sek. Butylalkohol

restliche Menge der oberen Schicht, berechnet als

Butylenpolymerat = 6,1 g

1942

Fraktionierung des verdünnten Alkohols.

Frakt. korrig. temp.	ccm Destillat Alkohol- einzl. insges. gehalt	Benzin- gehalt	dem Alkohol. gesamte entsprech. Olefin- Olefinmenge menge
	Σ	g	
1 84,4-86,7	9,0	9,0	5,7 0,7 4,3 5,0
2 87 87,5	388,5	397,5	244 - 184,6 184,6
3 98,9-100	7,0	404,5	1,0 0,14 0,8 0,9

$$\begin{array}{rcl} 250,7 = & 189,7 = & 190,5 \text{ g} = \\ 75,1 \% & 57,2 \% & 57,5 \% \\ \text{der ber. Menge} & \text{v. Einsatz} & = \text{v. Einsatz} \end{array}$$

190,5 g Olefin aus Alkohol und Benzin  
6,1 g Olefin aus der oberen Schicht des Rohalkohols

196,6 g = 78 % der berechneten Menge

1943

A m i n g

1944

Bilanz der Alkoholbildung in den halbtechnischen Versuchen  
bei der Ruhrchemie.

Die durchschnittliche Aufnahme an Olefin je 10 kg 75 %iger Schwefelsäure war in 29 Absorptionen im Rührautoklav 2,86 kg, sodaß aus 10 kg Säure 12,86 kg Estersäure entstanden.

Die Verseifung dieser Estersäuren in 9 ausgewerteten Verseifungsversuchen ergab, daß auf 1.000 g Estersäure im Durchschnitt 274 g Alkohol + Polymerbenzin (wasserfrei) gewonnen wurden, das entspricht einer Ausbeute von 3,55 kg Alkohol + Polymerbenzin je 12,86 kg Estersäure.

Theoretisch sind demgegenüber aus 2,86 kg absorbiertem Olefin bei Annahme einer Zusammensetzung von 35 Gew.%  $C_3H_6$  und 65 Gew.%  $C_4H_8$ :

$$\begin{aligned} & 2,46 \text{ kg Butylalkohol } (=1,86 \text{ kg } C_4H_8) \\ & + \underline{1,43 \text{ kg Propyl- }} \quad (=1,00 \text{ kg } C_3H_6) \\ & \text{S.o. } \underline{\underline{3,89 \text{ kg Alkohol}}} \end{aligned}$$

zu erwarten.

Die Differenz erklärt sich aus folgendem:

Bei Annahme von 10 % Polymerbenzin-Gehalt im wasserfreien Alkohol-Polymerbenzingemisch, der bei den meisten Reaktionsprodukten aufgrund der Hydroxylzahl nachgewiesen wurde, und bei der weiteren Annahme, daß das gebildete Polymerbenzin aus Butylen stammt, enthält das Gemisch von 3,55 kg Verseifungsprodukten

$$\begin{aligned} & 0,35 \text{ kg Polymerbenzin} \\ & 1,77 \text{ kg Butylalkohol} \\ & \underline{1,43 \text{ kg Propylalkohol}} \\ & \underline{\underline{3,55 \text{ kg}}} \end{aligned}$$

Der Olefingehalt von diesem 3,55 kg Verseifungsprodukt ist

$$\begin{aligned} & 0,35 \text{ kg } C_4H_8 \text{ als Polymerbenzin} \\ & + 1,34 \text{ kg } C_4H_8 \text{ als Butylalkohol} \\ & + \underline{1,00 \text{ kg } C_3H_6 \text{ als Propylalkohol}} \\ & \underline{\underline{2,69 \text{ kg Olefin}}} \end{aligned}$$

sodaß von der aufgenommenen Olefinmenge (=2,86 kg) 0,17 kg nicht als Flüssigprodukt wiedergewonnen wurden, sondern als

1945

gasförmig abgespaltenes Butylen anzunehmen sind. Das entspricht einer Olefinbildung von

$$\frac{0,17 \cdot 100}{2,86} = 5,9 \text{ Gew.\%}$$

Dieses Ergebnis wird durch die Messungen annähernd bestätigt, sodaß die Bildung der Absorption und die der Verseifung in Übereinstimmung stehen und mit einer wesentlichen Bildung weiterer Reaktionsprodukte nicht zu rechnen ist.

1946

1. Von 10 kg 75 %iger Schwefelsäure  
absorbiertes Gasol      Art der Schwefelsäure  
(gewichtszunahme gewogen)

2,70	frisch
2,95	"
2,00	einmal regeneriert
2,35	" "
2,70	frisch
2,50	"
2,35	"
2,80	"
2,95	"
3,22	"
2,90	"
2,79	zweimal regeneriert
2,45	" "
2,60	" "
37,26	

2. Aufarbeitung von Proben des Reaktionsgemisches der Ruhrchemie.  
versuche im Laboratorium.

Nr. der Verseifung im Dest.-Kessel der Ruhrchemie	Alkohol- + Benzinausbeute aus 1.000g Reakt.-Gemisch
2	343 g
3	212 g
4	290 g
5	288 g
6	287 g
7	323 g
8	284 g
10	248 g
14	294 g
	2.469 g

Durchschnittsausbeute: 274 g

1947

Bei 5 weiteren Versuchen betrug die durchschnittliche Aufnahme an Olefin 3,24 kg, sodaß aus 10 kg Säure 13,24 Ester-säure entstanden.

Die Verseifung dieser Estersäure in 2 ausgewerteten Versuchen ergab, daß auf 1.000 g Estersäure im Durchschnitt 309 bzw. 334 g Alkohol + Polymerbenzin (wasserfrei) gewonnen wurden, das entspricht einer Ausbeute von 4,09 bzw. 4,42 kg Alkohol + Polymerbenzin je 13,24 kg Estersäure.

Theoretisch sind demgegenüber aus 3,24 kg absorbiertem Olefin bei Annahme einer Zusammensetzung von 35 Gew.% C<sub>3</sub>H<sub>6</sub> und 65 Gew.% C<sub>4</sub>H<sub>8</sub>

$$\begin{aligned} & 2,81 \text{ kg Butylalkohol} (= 2,10 \text{ kg C}_4\text{H}_8) \\ & + \underline{1,62 \text{ kg Propyl-}} \quad (= 1,18 \text{ kg C}_3\text{H}_6) \\ & \underline{\underline{4,43 \text{ kg Alkohol}}} \end{aligned}$$

zu erwarten.

Die Differenz erklärt sich aus folgendem:

Bei Annahme von 10 % Polymerbenzin-Gehalt im wasserfreien Alkohol-Polymerbenzingerüst, der bei den meisten Reaktionsprodukten aufgrund der Hydroxylzahl nachgewiesen wurde, und bei der weiteren Annahme, daß das gebildete Polymerbenzin aus Butylen stammt, enthält das Gemisch von 4,09 bzw. 4,42 kg Verseifungsprodukten:

$$\begin{aligned} & 0,41 \text{ kg bzw. } 0,44 \text{ kg Polymerbenzin} \\ & 2,06 \text{ kg " } 2,36 \text{ kg Butylalkohol} \\ & \underline{1,62 \text{ kg " }} \underline{1,62 \text{ kg Propylalkohol}} \\ & 4,09 \text{ kg bzw. } 4,42 \text{ kg} \end{aligned}$$

Der Olefingehalt von diesem 4,09 bzw. 4,42 kg Verseifungsprodukt ist:

$$\begin{aligned} & 0,41 \text{ kg bzw. } 0,44 \text{ kg C}_4\text{H}_8 \text{ als Polymerbenzin} \\ & 1,54 \text{ kg " } 1,77 \text{ kg C}_4\text{H}_8 \text{ als Butylalkohol} \\ & \underline{1,18 \text{ kg " }} \underline{1,18 \text{ kg C}_3\text{H}_6} \text{ als Propylalkohol} \\ & 3,13 \text{ kg bzw. } 3,39 \text{ kg Olefin} \\ & \text{sodaß in dem Fall von der aufgenommenen Olefinmenge } (=3,24 \text{ kg}) \\ & 0,11 \text{ kg nicht als Flüssigprodukt wiedergewonnen wurden,} \end{aligned}$$

1948

-5-

sondern als gasförmig abgespaltetes Butylen anzunehmen sind.  
Das entspricht einer Olefinbildung von

$$\frac{0,11 \cdot 100}{3,24} = 3,4 \text{ Gew.\%}$$

Beim Versuch selbst wurde eine Olefinbildung von 0,5 % gefunden. Im zweiten Falle ergab der Versuch eine Olefinspaltung von 2,5 % bei einer Alkoholausbeute von 99 %.  
Eine genaue Bilanz lässt sich also hier nicht durchführen.

Nr.	Ausgangsgemisch					Zusammensetzung des destillates			Bemerkung	1949		
	Zusammensetzung		Verdünnt auf dauer		% min	Zusammensetzung der abs. Olefine						
	H <sub>2</sub> SO <sub>4</sub> %	H <sub>2</sub> O %	C <sub>n</sub> H <sub>2n</sub> %	H <sub>2</sub> SO <sub>4</sub> %	ROH %	H <sub>2</sub> O %	entwischen					
1	53	17,6	29,4	18,5				2				
2	53	17,6	29,4	22,0				2				
3	53	17,6	29,4	26,2				1,4				
4	53	17,6	29,4	27,5				3				
5	53	17,6	29,4	29,0				2,7	Mit Rührung			
6	54,5	18,3	27,2	29,0				1,5	Ohne Rührung			
7	54,5	18,3	27,2	31,0				3,5				
8	54,5	18,3	27,2	33,0				6,4				
9	54,5	18,3	27,2	35,0				7,6				
10	54,5	18,3	27,2	37,0				15,2				
11	54,5	18,3	27,2	39,6				31,0				
12	53,0	17,6	29,4	28,0				2,0				
13	53,0	17,6	29,4	28,0				2,8	Mit "Silica"-Steinen			
14	55,5	18,6	25,9	18,4	48	52		0,9	Mit Steinverkleidung des RCH-Kessels			
15	58,5	22,3	19,2	19,5				2,0	Dest.mit Schamm aus Ruhrkessel			
16	58,5	22,3	19,2	19,5				2,0	Dest.mit Eisenkolonne			
17	59,3	19,8	20,9	34,2				13,5				
18	58,3	19,6	22,1	33,7				11,6	Mit Benzolzusatz dest.unter Rührung			
19	58,3	19,6	22,1	33,7				13,0	Ohne Benzolzusatz, ohne Rührung			
20	58,5	22,3	19,2	19,5				2,7	Benzoldampfdest.			
21	58,5	22,3	19,2	18,5	138			4,7	Heizung durch Bleischlange mit überhitztem Dampf(Glaskolb.) Vergleichssuch (ohne Blei) m.Bunsenbrenner Neues Reakt.gem. Flasche II Wie 21			
22	58,5	22,3	19,2	20,0	30	70		1,9				
23	57,8	23,0	19,2	19,2	44	56		2,0				
24	58,5	22,3	19,2	19,0	200	46,7	53,3	5,0				
25	58,5	22,3	19,2	19,5	80			2,6	Wie 21 aber mit gewöhnl.Dampf geheizt			
26	57,8	23,0	19,2	19,3				2,4	" "			
27	57,8	23,0	19,2	19,3				1,9	Hohe Schicht			
28	57,8	23,0	19,2	19				2,8	Bleischlange in Glasgefäß			
								2,4	" "			
								3,4				

Nr.	Ausgangsgemisch				Zusammen- setzung des abs. Destillats				Ole- fine ent- wichen	Bemerkung	1950
	H <sub>2</sub> SO <sub>4</sub>	H <sub>2</sub> O	C <sub>n</sub> H <sub>2n</sub>	H <sub>2</sub> SO <sub>4</sub>	%	%	% min	%			
29	57,8	23,0	19,2	19	142	39	61		1,8	Hohe Schicht Überh. Dampf	
30	57,8	23,0	19,2	19	40	27	73		4,2	Hohes Bleige- fäß geheizt mit kondensierendem Dampf 2,5 atü	
31	57,8	23,0	19,2	19	85	18	82		2,3	" "	
32	57,8	23,0	19,2	19	114	40	60		3,0	Hohes Bleigefäß geheizt mit Bunsenbrenner ohne Aufsatz	
33	57,8	23,0	19,2	19	37	20	80		2,3	" "m. Aufs.	
34	56,2	20,8	23	19	100	16,9	83,1		2	Bleispäne und Platin, Glas- apparatur, Bun- senbrenner	
35	56,2	20,8	23	19	129	16,4	83,6		1,7	Bleispäne allein	
36	56,2	20,8	23	19	73	21	79		1,7	H. Bleigefäß u. Platin kond.	
37	55,5	18,6	25,9	18,5	21	21	79		4,6	Dampf 2-2,5 atü H. Bleigefäß geh. mit kond.	
38	55,5	18,6	25,9	18,5	33	21	79		3,3	Dampf 9 atü " 6 atü	
39	55,5	18,6	25,9	18,5	28	18,5	81,5		4,2	" 8 atü	
40	55,5	18,6	25,9	18,5	--	33	67		4,0	" u. Steine in Dest. Kessel	
41	55,0	19,2	25,8	18,3	360	68	32		2,0	8 atü RCH Aufarbeitg. gr.	
42	55,0	19,2	25,8	18,3	360	57	43		1,3	Mengen Reaktion gem. 5,33 kg im Glaskolben ohne Abtrennung des Polym.-Benzins	
43	55,0	19,2	25,8	18,3	360	44	56		1,0	" ohne Abtrennung des Polym. Benzins	
44	55,5	18,6	25,9	19,8	161	15	85			nach Abtr. des Polym.-Benzins	
45	55,5	18,6	25,9	19,8	--	32	68		3,9	Vak.-Destill.	
46	55,5	21,3	23,1	18,5	--	--	--		5,4)	414 min. und	
47	55,5	19,4	25	18,5	--	--	--		0,31)	Rückfl. gekocht dann abdest.	
									8,5	" C <sub>n</sub> H <sub>2n</sub> = Butylen	

1951

Die Versuche Nr. 1-20, 22, 23, 34, 35 und 41-47 wurden in Jenaer-Glaskolben mit Gasheizung (Bunsentrenner oder bei 41-43 Ringbrenner) durchgeführt. Die Versuchsapparatur von den Versuchen Nr. 21, 24-26 bestand aus einem Rundkolben, in den von oben eine Bleichschlange mit  $435 \text{ cm}^2$  Heizfläche eingeführt war. Bei den Versuchen Nr. 27-29 wurde in ein 100 cm hohes Glasrohr von oben eine Bleichschlange mit  $890 \text{ cm}^2$  Heizfläche eingeführt. Bei Versuch Nr. 29 wurde der Dampf vor seinem Eintritt durch eine Eisenschlange geschickt, die in einem Ölbad von  $120^\circ$  lag; eine starke Überhitzung lag also nicht vor. Bei den Versuchen Nr. 30-33 und 36-40 wurde ein 100 ccm hohes Bleirohr verwandt, das durch ein unten ein- und austretendes Rohr aus Hartblei mit einer Heizfläche von  $90 \text{ cm}^2$  angeheizt werden konnte.

Ermittlung der Wärmetönung bei der Verdünnung von Schwefelsäureester.

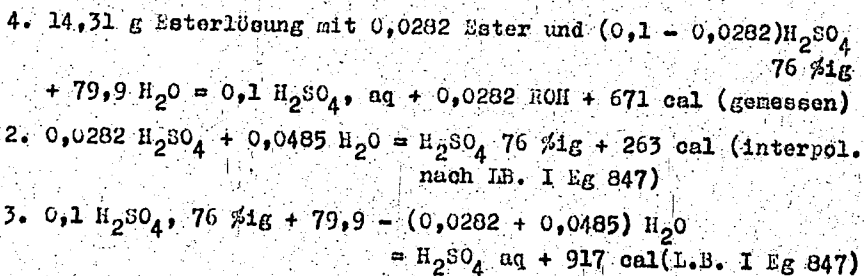
1952

Die im Kalorimeter zur Verdünnung eingesetzte Esterlösung (14,31 g) enthielt 1,41 g = 0,0282 mol Olefin, das von 76 %iger Schwefelsäure bei der Absorption aufgenommen worden war. Die insgesamt vorhandene Schwefelsäuremenge betrug 9,8 g = 0,1 Mol. Hiervon wurden 0,282 Mol als an das Olefin gebunden angenommen. Für das Molekulargewichts des Olefins wurde der Wert 50 eingesetzt. Bei der Verdünnung der Esterlösung mit 79,9 Mol H<sub>2</sub>O spielen sich folgende Teilvorgänge ab:

1. 0,0282 Mol H<sub>2</sub>SO<sub>4</sub> werden durch Hydrolyse frei,
2. 0,0282 Mol H<sub>2</sub>SO<sub>4</sub> werden auf 76 % H<sub>2</sub>SO<sub>4</sub> verdünnt,
3. 0,1 Mol H<sub>2</sub>SO<sub>4</sub> werden in 76 %iger Lösung mit 79,9 Mol H<sub>2</sub>O verdünnt.

Die Wärmetönung der Gesamtreaktion 1+2+3 = 4 wird im Kalorimeter gemessen, die Wärmetönung der Reaktionen 2 und 3 nach Werten in Landolt-Börnstein (I. Eg. 847) berechnet. Durch Differenzbildung ergibt sich dann die Wärmetönung der Reaktion 1.

Man erhält demnach:



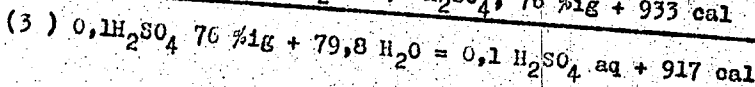
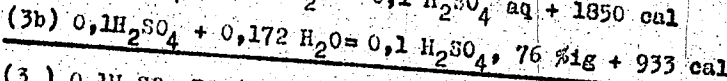
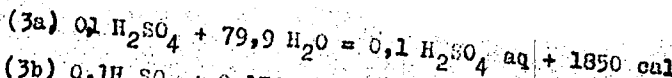
---

$$(1) = (4) - (2) - (3):$$

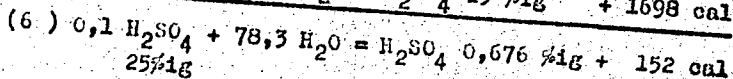
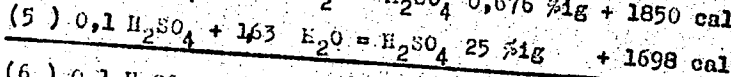
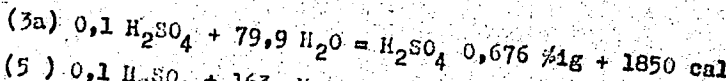
$$0,0282 \text{ Ester} + 0,0282 \text{ H}_2\text{O} = 0,0282 \text{ ROH} + 0,0282 \text{ H}_2\text{SO}_4 - 509 \text{ cal}$$

d.h. -18 Kcal/Mol Ester

Die Wärmetönung für Reaktion (3) wurde ebenfalls nach Angaben im Landolt-Börnstein als Differenz von zwei Wärmetönungen berechnet:



Bei der Messung im Kalorimeter wurde die Schwefelsäure im Ester von 76 %  $\text{H}_2\text{SO}_4$  auf 0,676 %  $\text{H}_2\text{SO}_4$  verdünnt. Im praktischen Betrieb verdünnt man höchstens auf 25 % und erhält eine entsprechend geringere Verdünnungswärme. Von dem unter (4) angegebenen Betrag ist daher die bei der Verdünnung von 25 % auf 0,676 %  $\text{H}_2\text{SO}_4$  auftretende Wärmetönung zu subtrahieren. Sie berechnet sich aus den Gleichungen:



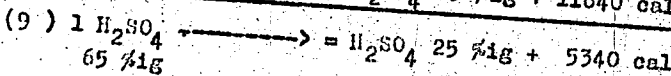
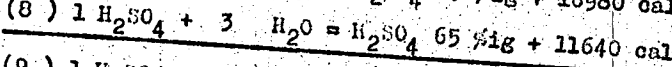
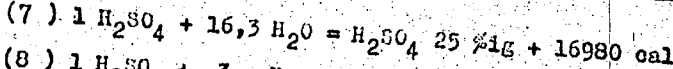
Man erhält also:

$671 - 152 = 519 \text{ cal}/0,0282 \text{ Mol}$  (14,31 g Esterlösung), d.h. 18,4 kcal werden bei der Verdünnung einer Esterlösung frei, die 1 Mol Ester (hergestellt aus 76 %iger  $\text{H}_2\text{SO}_4$ ) und 68,4 %  $\text{H}_2\text{SO}_4$  enthält.

Für Umrechnung auf Betriebsverhältnisse wird die Dichte der Esterlösung zu 1,4 eingesetzt. Die auftretende Wärmemenge bei Verdünnung von 100 l Ester auf 25 %  $\text{H}_2\text{SO}_4$  ist dann:

$$\frac{0,519 \cdot 1,4 \cdot 10^5}{14,31} = 5070 \text{ kcal}/100 \text{ l Esterlösung}$$

Zum Vergleich mit dieser Zahl sei noch die Wärmetönung für die Verdünnung von 65 % iger esterfreier Schwefelsäure auf 25 % angeführt.



1953

1954

Setzt man wieder für die Dichte 1,4 ein, so erhält man:

$$\frac{5,340 \cdot 65 \cdot 1,4 \cdot 10^5}{100 \cdot 98} = 4960 \text{ kcal/100 l Esterlösung}$$

L i t e r a t u r .

1955

Br. I. Zusammenfassende Literatur- und Patentberichte  
in Handbüchern:

Seite

- 1a A) C. Ellis, Chemistry of Petroleum Derivatives,  
Band I New York(1934) S. 300, 346 ff.  
1b Band II New York (1937) S. 282, 356 ff.  
2 B) A.E. Duncan, The Science of Petroleum,  
London (1932) Band IV S. 2805.

II. Zusammenfassende Veröffentlichungen in Zeitschriften:

- 3 B.T. Brooks, Die Herstellung von Alkoholen und ähnlichen  
Produkten aus Erdöl; Literatur- und Patentbericht,  
Refiner natur. Gasoline Manufacturer 12, 353-60 (1933)  
C. 1933 II 3074.  
4 W.W. Clough und Carl G. Johns, Higher Alcohols from  
Petroleum Olefines, Ind. Engin. Chem. 15, 1030 (1923)  
5 S.D. Kirkpatrick, Commercial Production of Isopropyl  
Alcohol, Chemical & Metallurgical Engineering  
33, 402 (1926) C. 1926 II 1710.

III. Experimentaluntersuchungen zur Absorption in Schwefelsäure

- 6 W.S. Figulewski, Gewinnung von Alkoholen und Athern  
aus den Produkten der Gasphasenrektifikation von Erdöl.  
(unvollständige Arbeit). C. 1936 II 2061.  
7c W.S. Gutyrja und W.L. Buinitzkaja, Hydratation von  
Olefinen. I Die Wirkung von wässrigen Schwefelsäure-  
lösungen auf Propylen unter den Bedingungen des hoch-  
intensiven Kontaktes. C. 1937 II 2292.  
7b W.S. Gutyrja, Die Einwirkung wässriger Lösungen von  
Schwefelsäure auf Propylen in Gegenwart hochinten-  
siver Katalysatoren, Refiner natur. Gasoline, Manufac-  
turer 18, 83-86 (1939)  
8 S. Milat, W. Pietrowski und J. Winkler, Höhere Al-  
kohole aus Erdölkohlenwasserstoffen. II C. 1929  
II 2849  
9 S. Molzmann und S. Milat, Höhere Alkohole aus Erdöl-  
kohlenwasserstoffen. III C. 1929 II 2850

L i t e r a t u r (F o r t s e t z u n g)

1956

Seite

13

Hr.

14

F. Holzmann, Alkohole aus Crackgasen und Cracksbenzinen, allgem. Öl- und Fettzeitung 28 245 (1931) C. 1931 II 2463.

15

R. B. Markowitz u. . . G. Ricor, Geschwindigkeit der Reaktion zwischen Schwefelsäure und ungesättigten Säuerlingen Kohlenwasserstoffen C. 1931 I 2455.

12

Frank A. Davis und Weuben, Schlier, Die relative Absorptionsgeschwindigkeiten der koniförmigen Ölefine in Schwefelsäure bei 25° C. 1930 I 2371.

13

Maryan J. Matuzak, Bestimmung von Olefinen in Gassen durch Absorption in Schwefelsäure, Ind. Eng. Chem. 22, 594 (1930) analyt. Id.

14

R. B. Davis und Dorothy Langley, Irrtümer bei der Bestimmung ungesättigter Kohlenwasserstoffe in Gassen. II. Einige Begrenzungen in ihrer Trennung durch Schwefelsäure, Ind. Eng. Chem. 22, 39-41 (1930) analyt. Id. C. 1930 II 3732.

15

R. B. Markowitz und J. R. Ligocki, Bestimmung ungesättigter Gassanteile. C. 1930 II 503-504

16

J. Dobrovansky, Analyse der Gemische ungesättigter Gase. Reaktionsgeschwindigkeit von Olefinen mit Schwefelsäure. C. 1929 I 2220.

Atherschwefelsäure.

16a

Kautzen-Coyl, III 456 Leipzig (1930).

16b

L. Szablinka, Viskositäts-erosungen. C. 1933 II 35-7.

16c

W. Scheelinzow und N. Koslow, Darstellung für die Reaktion  $\text{B}_2\text{O}_4 + (\text{C}_2\text{H}_5)_2\text{O}$ . S. 1915 I 2 828.

16d

R. F. Roots, Standard Alcohol Company, Absorption in Atherschwefelsäure. n.F. 2006 157 (1933-35)

16e

C. Schum, über Additionskatalysen mittels Diethyl-kreuzplumbazin. C. 1919 I 935.

L i t e r a t u r (F o r t s e t z u n g)

1957

Seite

Nr.

V. In Deutschland erteilte Patente über Alkohol-  
Coversion aus Olefinen.

- 17 E.V. De Beijersche Petroleum Maatschappij; 599 151 (1930); Kupferhaltige Komplexverbindungen als Katalysatoren.
- 18 598 538 (1930); Komplexverbindungen aus Fe, Co, Ni als Katalysatoren.
- 19 E.B. Hunt, 417 411 (1926) Kohlenwasserstoffe als Ausgangsmittel für die gasförmigen Olefine.
- 20 Imperial Chemical Industries Ltd. 567 117 (1930) Absorptions in Schwefelsäure-Zeigertsäure-Gemischen.

VI. Veröffentlichten und latente über direkte  
Hydrierung.

- 21 E.V. Frost Thermodynamik der Kohlenwasserstoff-  
reaktionen. II. Die Hydratationsreaktion der Ole-  
fine C. 1934 II 557.
- 22 E.V. Frost, über die Möglichkeit der Alkohol-  
synthese durch unmittelbare Hydratation von  
Olefinen C. 1931 I 2034.
- 23 J.S. Lewis, Katalytische Hydratation der Chlorine.  
II. Hydratation des Acrylens über flüssigen  
Katalysatoren unter atmosphärischen Druck  
C. 1937 I 3224
- 24 L. J. Marek und E.K. Liege, Katalytische Hydratation  
von 2-Oleinen in der Dampfphase bei hohen Drucken  
C. 1933 I 3067. Ind. Eng. Chem. 24 1428-31 (1932)
- 25 J.G.-Parbenindustrie A.-G., Hydratisierung von Ole-  
finen. A.P. 324897 (1928/30) C. 1930 I 3830

L i t e r a t u r (Fortsætzung).

1958

Seite

Kr.

VII. Literatur über Alkoholverrichtungen.

26. E. Neeser, Ueber technische Betriebsapparaturen  
1. Alkoholverrichtung, Chem. Fabr. 12 25 (1919)

VIII. Polymerisation.

27. W.H. McAllister, Benzingerinnung durch Poly-  
merisation von Butylenen mit Schwefelsäure  
National Petrol. News. Nov. (1937) p. 332

Verzeichnis der Tabellen.

1959

Nr.	Seite	Überschrift
1	4	Gasolanalysen
2	6	Versuche mit dem MAN-Schraubenrührer
3	7-7a	Siedeanalysen von Polymerbenzinen
4	7-8	Feststellung der günstigsten Absorptionsbedingungen
4a	8-9	Einfluß der Vorabsorption von Isobutylein auf den Polymerisatanfall
5	19	Einfluß von Zusätzen zur Schwefelsäure auf die Verteilungsquotient der Alkohole im Benzin-Wasser-gemisch
6	25	Absorptionsgeschwindigkeit
vgl. Anh.	26	Olefinabspaltung bei der Verseifung unter verschiedener Beheizung
7	27	Verseifung mit direktem Wasserdampf und Olefinab-
8	28	spaltung
9	28	Kaskadenverseifung, Beispiel.
10	31	Kaskadenverseifung unter verschiedenen Bedingungen
11	32	Trübung-(Entmischungs-)punkte von Wasser-sec.-Butylalkohol-
12	33	Wasser-Benzin-Isopropylalkohol-Gemischen bei ver-
13	34	schiedenen Temperaturen (5-6 % Polymerbenzin)
14	36	Trübung-(Entmischungs-)punkte von sek.-Butylalkohol-
15	37	Wasser-Benzin-Isopropylalkohol-Gemischen bei ver-
16	38	schiedenen Temperaturen (9-12 % Polymerbenzin)
17	39	Trübung-(Entmischungs-)punkte von sek.-Butylalkohol-
18	40	Wasser-Benzin-Isopropylalkohol-Gemischen bei ver-
19	41	schiedenen Temperaturen (16-20 % Polymerbenzin)
20	43	Verdünnung von Rohalkohol zur Abtrennung der oberen Schicht
		Fraktionierung der bei der Verdünnung des Rohalko-
		als erhaltenen oberen Schicht
		Eigenschaften höherer Äther
		Destillation von Rohalkohol
		Analyse einzelner Alkoholfraktionen
		Olefine
		Eigenschaften der binären- und ternären Gemische aus Isopropylalkohol, sek. Butylalkohol, Wasser u. Benzol

1960

Nr.	Seite	Überschrift
21	52	Löslichkeit von Polymerbenzin in Isopropylalkohol-Wasser-Gemischen
22	52	Löslichkeit von Polymerbenzin in sek. Butylalkohol-Wassergemischen
23	52	Löslichkeit von Polymerbenzin in Isopropylalkohol-sek. Butylalkohol-Wasser-Gemischen; beide Alkohole im Verhältnis 1:1
24	52	Löslichkeit von Polymerbenzin in Gemischen von Isopropylalkohol, sek. Butylalkohol, Schwefelsäure und Wasser; beide Alkohole im Verhältnis 1:1
25	53	Löslichkeit von Polymerbenzin in Gemischen von Isopropylalkohol-sek. Butylalkohol-Schwefelsäure-Ester-Schwefelsäure-Wasser; beide Alkohole ungefähr im Verhältnis 1:1
26	55	Brechungsindizes der bei der Alkoholsynthese interessierenden Substanzen.

Verzeichnis der Abbildungen.

1961

M.r.	Seite	Überschrift
1a	3-4	Dampfdruckkurven von Gasol
1b	4-5	Absorptionsverlauf in 75 %iger Schwefelsäure bei Verwendung eines Scheibenrührers, 35 l-Autoklav
c		600 U/min.
2	4-5	H.A.R.-Schraubenrührer, Zeichnung (im Anhang)
4	6-7	Absorption in Schwefelsäuren verschiedener Konzentrationen
5	7a	Siedeanalysen von Polymerbenzin
6a	9	Absorptionsverlauf im 35 l- und in 3 l-Autoklav
b		
6c	9-10	Alkoholausbeuten mit und ohne Vorabsorption des Isobutylen
7	11	Einfluß des Verhältnisses von Olefin zu Schwefelsäure auf die Absorptionsgeschwindigkeit
7a	11	Einfluß des Verhältnisses von Olefin zu Schwefelsäure auf die Absorptionsgeschwindigkeit und die Ausbeute
8	12	Stufenweise Absorption nach dem Gegenstromprinzip
8a	13-14	Schema einer halbtechnischen Versuchsanlage zur Absorption von Olefinen in Schwefelsäure
8b	16-17	Beziehung zwischen Dichte des Esters und Olefingehalts
9	19-20	Einfluß des Ätherzusatzes auf die Reaktionsgeschwindigkeit
10	20-21	Einfluß der Schwefelsäurekonzentration auf die Reaktionsgeschwindigkeit
11	21	Beziehung zwischen Alkoholausbeuten und Konzentration der Schwefelsäure in Mol.-%
12	23	Einfluß der Schwefelsäurekonzentration auf die Olefinabspaltung bei der Verseifung
13/14	24	Geschwindigkeit der Olefinabspaltung bei verschiedenen Schwefelsäurekonzentrationen
15	25-26	Alkoholgehalt des bei der Verseifung übergehenden Destillats in Beziehung zur Destillatmenge
16	27	Kaskadenapparatur zur Verseifung des Esters
17	31	Trübungspunkte von Gemischen aus Isopropylalkohol-nasser-Sek.-Butylalkohol
18	32	Trübungspunkte von Gemischen aus Isopropylalkohol-nasser-Sek.-Butylalkohol und 5 % Benzin

1962

Nr. Seite

Überschrift

- |       |    |  |
|-------|----|--|
| 19    | 33 | Trübungspunkte von Gemischen aus Isopropylalkohol-Wasser-sek.-Butylalkohol und 10 % Benzin |
| 20    | 34 | Trübungspunkte von Gemischen aus Isopropylalkohol-Wasser-sek.-Butylalkohol und 20 % Benzin |
| 21    | 37 | Fraktionierung der bei der Alkoholverdünnung erhaltenen oberen Schicht                     |
| 22    | 38 | Fraktionierung eines bekannten Gemisches aus Isopropylalkohol-sek.-Butylalkohol und Wasser |
| 23/26 | 38 | Alkoholdestillationen  |
| 27    | 40 | Vorlaufdestillation  |
| 28    | 40 | Alkoholausstutzen bezogen auf das eingesetzte Olefin                                       |
| 29    | 42 | Absorptionskurven für verschiedene Olefine   |
| 30    | 44 | Apparatur zur Azeotropen Entwässerung von Alkohol mit Benzol                               |
| 31    | 45 | Dichte und Temperatur von reinem Isopropylalkohol  |
| 32    | 45 | Dichte und Temperatur von reinem sek.-Butylalkohol   |
| 33    | 52 | Löslichkeit von Polymerbenzin in Gemischen mit Alkohol-und er-Schwefelsäure-Ester.         |

*J. H. Müller*  
*Grinna*

